

**MINISTERUL EDUCAȚIEI SI INVATAMINTULUI
INSTITUTUL POLITEHNIC "TRAIAN VULĂ"
TIMIȘOARA
FACULTATEA DE TEHNOLOGIE CHIMICĂ**

Ing. MARCU NICOLAE

TEZA DE DOCTORAT

CONTRIBUȚII LA CHIMIA POLIURETANILOR

BIBLIOTECA CENTRALĂ
UNIVERSITATEA "POLITEHNICA"
TIMIȘOARA

CONDUCATOR STIINȚIFIC

Conf.dr.ing. RADU VALCEANU

INSTITUTUL POLITEHNIC TIMIȘOARA

1984

486069
351 H
1984

CUPRINS

1. INTRODUCERE		
1.2. STRUCTURA SI REACTIVITATE	1	1
1.3. Reacția izocianatilor cu apa și alcoolii	3	3
1.3.1. Reacția monoizocianatilor cu alcoolii	3	3
1.3.1.1. Cinetică și mecanism	4	4
1.3.1.2. Reacția diizocianatilor cu alcoolii	8	8
1.3.1.2.1. Cinetică și mecanism	9	9
1.3.1.2.2. Reacția izocianatilor cu apa	20	20
1.4. Factorii care determină reacția izocianatilor cu apa și alcoolii	27	27
1.4.1. Structura compusului hidroxilic	27	27
1.4.2. Structura izocianatului	31	31
1.4.3. Influența solventului și a formării legăturilor de hidrogen	33	33
1.4.4. Catalize prin amine terțiare	42	42
1.4.5. Catalize prin catalizatori organometalici	51	51
1.4.6. Autocataliza	60	60
2. CONTRIBUTII ORIGINALE LA STUDIUL REACTIILOR DE ADITIE NUCLEOFILA A ALCOOLILOR LA ARILIZOCIANATI	64	64
2.1. Reacția necatalizată a izocianatilor cu alcoolii	64	64
2.1.1. Tehnica experimentală. Modelul cinetic	64	64
2.1.2. Influența naturii alcoolului	65	65
2.1.3. Influența temperaturii asupra vitezei de reacție	67	67
2.1.4. Efectul izotopic cinetic	68	68
2.1.5. Efectele substituentilor din nucleul aromatic	68	68
2.1.6. Influența polarității solventului	70	70
2.1.7. Discuții. Mecanismul de reacție	71	71
2.2. Studiul reacției catalizate de amine terțiare	72	72
2.2.1. Tehnica experimentală. Modelul cinetic	73	73
2.2.2. Studiul influenței raportului dintre reactanți asupra reacției catalizate de piridină	73	73

2.2.3. Influența naturii alcoolului	78
2.2.4. Influența bazicităii aminelor terțiare asupra efectului lor catalitic	79
2.2.5. Influența substituenților în nucleul fenilizocianatului	84
2.2.6. Efectul izotopic de deuteriu la reacția fenilizocianatului cu metanol catalizată de piridină	86
2.2.7. Influența temperaturii	86
2.2.8. Influența solventului	87
2.2.9. Concluzii	88
2.3. Studiul reacțiilor catalizate de compusii organici și staniului	89
2.3.1. Tehnica experimentală. Modelul cinetic	89
2.3.2. Influența structurii catalizatorului	90
2.3.3. Influența substituenților din nucleul fenilizocianatului	92
2.3.4. Influența naturii alcoolului asupra vitezei de reacție	93
2.3.5. Influența temperaturii asupra vitezei de reacție	96
2.3.6. Efectul izotopic kinetic de deuteriu la reacție fenilizocianatului cu metanol catalizată de dioctoat stanos	96
2.3.7. Influența polarității solventului	97
2.3.8. Concluzii. Mecanismul de reacție	98
2.4. Studiul efectului sinergetic al amestec- cului de catalizatori; piridină-dioctoat stanos	100
2.5. Influența apei asupra reacției izocia- natilor cu alcooli	102
3. Sinteza unor 1,2,-aminoesteri liniari și ciclici - catalizatori pentru fabricarea spumelor poliuretanice	104
3.1. Sinteza și analiza catalizatorilor de tipul 1,2-aminoesterilor ciclici sau liniali	105
3.2. Testarea la spumări pentru spume flexibile a catalizatorilor obținuți	111
3.3. Concluzii	113
4. Partea experimentală	113
4.1. Purificarea și obținerea substanțelor	

folosite la studiul cinetic	113
4.2. Prepararea aminoesterilor ciclici și liniari	115
4.3. Aparatura și metoda de studiu cinetic	116
4.4. Aparatura și metodica de lucru în obținerea catalizatorilor aminici liniari și ciclici	122
5. CONCLUZII	124
6. Bibliografie	130

INTRODUCERE

Poliuretanii - compusi macromoleculari cu reprezentanti in teste domeniile de utilizare ale materialelor plastice reprezinta una din cele mai interesante serii de investigatie atat sub aspect stiintific privind corelatiile structura-proprietati, sub aspectul varietatii de tehnologii aplicabile si practic sub aspectul fiziomochierii desecbite a proprietatilor exceptiunale dublate de preturi relativ reduse comparativ cu alți compusi macromoleculari.

Realizati prima data in 1937 de catre prof. Otto Bayer - considerat intemeietorul acestei clase de compusi macromoleculari, au fost introdusi rapid in fabricatie intii in Germania, ulterior in SUA. Obtinerea primelor spume poliuretanice pe baza de poliesteri, a constituit un nou impuls, datorită reducerilor substantiale a preturilor de fabricatie si a imbunatatirii unor performante, spumele poliuretanice imbecuind treptat latexurile de cauciuc in domeniul tapiteriilor.

Largirea bazei de materii prime dublate de efectuarea de studii sistematice au determinat ca poliuretanii - ca si clasă de compusi macromoleculari să devină în scurt timp polimeri cu una din cele mai ridicate dimensiuni, astazi reușindu-se cu testă criza de energie să se asigure creșteri importante a producției.

O privire comparativă a datelor de producție a principalelor țări producătoare de poliuretanii indică:

	1979	1982	1988
R.P.D.	290,000	305,000	370,000 tone
Italia	180,000	185,000	230,000
Franta	150,000	155,000	190,000
Anglia	110,000	90,000	110,000
Total Europa Vest	1,160,000	1,170,000	1,450,000
U.S.A.	1,150,000	985,000	1,290,000
Japonia	260,000	300,000	370,000
Total țări vest	3,150,000	3,150,000	4,100,000

Din totalul producției cu 60% e reprezentă spumele PU flexibile (spumare liniară, turmări în forme, spume semirigide etc.), 30% spumele PgU₂ rigide, restul e reprezentă elastomerii poliuretanici, lacuri și adezivi, fixe, etc.

Tara noastră a importat spume poliuretanice utilizate în industria mobilieră, lacuri poliuretanice și elastomeri specialiști.

Inceputul realizării în țară a poliuretanilor se poate considera anul 1967 - anul intrării în funcțiune a secției de "Moltepren", la întreprinderea "Guben - Victexia" Timișoara care în anul 1971 s-a transferat în întreprinderea de Spume Poliuretanice Timișoara.

Iată cum s-a dezvoltat continuu, introducând pentru prima dată în țară noi tehnologii în domeniul poliuretanilor ca de exemplu:

- Tehnologia de realizare a spumelor turnate în forme la rece (spume poliuretanice de înaltă reziliență)
- Tehnologia de obținere a spumelor cu peliculă integrală
- Tehnologia de obținere a elastomerilor microcelulari
- Tehnologia de prelucrare a blocurilor continuu etc.,

În paralel, poliuretanii au pătruns și în alte centre din țară, actualmente realizându-se o gamă foarte largă de poliuretani:

- I.Chimică Orăștie (spume integrale, convenționale)
- I.d.e Frigidere Găiești - (spume rigide)
- I.d.e Panouri Buzău (spume rigide - tehnologie continuu)
- I.d.e Automecanică Mediaș (spume rigide)
- I.d.e Hidro și mese plastice București (pică sintetică)
- C.P.L. Arad (spume de înaltă reziliență)
- Întreprindere de piese și accesorii Pitești (spume integrale, semirigide convenționale și altele,

Dacă primii poliuretani au fost achiziționați pe bază de licență, în ultimii ani s-au obținut rezultate deosebite în realizarea pe bază de tehnologii originale a principalelor materii prime,

Dezvoltind puternic cercetarea și devățind-o față de celelalte activități la Intreprindererea de Spume Poliuretanice Timișoara s-au obținut rezultate deosebite în domeniul cercetării aplicative fundamentale în colaborare cu instituții de prestigiu din țară cum sunt ICECHIM București, Facultatea de Tehnologie Chimică Timișoara, Centrul de Chimie Timișoara și altele,

S-au cercetat materiile prime de bază ca polioli eter, polioleii ester, aminele terțiare, octeauțul stanei, silicemii și este în fază de finalizare cercetarea sintezei izocianatilor.

ACESTE EFORTURI DIN CERCETARE AU FEST RĂSPLETTITE PRIN OBȚINEREA A NUMEROASE BREVETE CĂT ȘI DE PUBLICAȚII ATIT ÎN ȚARĂ CĂT ȘI ÎN STRĂINĂTATE. TOTODATĂ ESTE ÎN CURS DE REALIZARE ÎNCĂ ÎN ANUL ACESTĂ A UNEI STĂRII PILOTE CU PROFIL DE CERCETARE ȘI MICREPRODUCȚIE CARE VA DEZVOLTĂ PE UN PLAN SUPERIOR ACTIVITATEA DE CERCETARE DIN CADRUL ÎNTreprinderii.

CU TEAȚE STUDIILE SISTEMATICE EFECTUATE DE CĂTRE INSTITUȚII SPECIALIZATE, DE MARILE FIRME PRODUCĂTOARE DE MATERII PRIME ȘI UTILAJE, CĂNT ÎNCĂ MULTE PROBLEME NEELUCIDATE COMPLET ATIT ÎN DEMENIUL CHIMIC CĂT ȘI TEHNOLΟGICI POLIMERILOR DETERATE ÎN SPECIAL COMPLEXITĂȚII DEOSEBITE GENERATE DE IMENSA BAZĂ DE MATERII PRIME, DE MULTITUDINEA DE TEHNOLΟGII DE APPLICARE ȘI DE ASPECTELE DE CHIMIST CARE INTERVIN,

O PROBLEMĂ MULT CONTROVERSATĂ ȘI CARE A GENERAT IDEEA REALIZĂRII ACESTEI LUCRĂRI E REPREZINTĂ CINETICA ȘI MECANISMUL REACȚIEI IZOCIANATILOR CU ALCOOLI ATIT ÎN CONDIȚII NECATALIZATE CĂT ȘI ÎN PREZENȚA CATALIZATORILOR,

IMPORȚANȚA DEOSEBITĂ A ELUCIDĂRII ACESTEI PROBLEME NU MAI TREBUIE SUBLINIATĂ DECĂ AMINTIM FAPTUL CĂ ACESTE REACȚII DE BAZĂ ÎN GENERAREA LEGĂTURILOR DE TIP "URETAN" ȘI CĂ ESTE REGăSITĂ ÎN TEAȚE TIPURILE DE POLIURETANI COMERCIALI ȘI DE INTERES ȘTIINȚIFIC. COMPLEXITATEA PROBLEMEI, MEDUL DE ABORDARE ȘI REZULTATELE CONTRADICTORII OBȚINUTE DE DIVERSI CERCETĂTORI ȘAU GRUPURI DE CERCETARE SU IMPUS EFECTUAREA ACESTUI STUDIU CARE ÎNCEARCĂ PE BAZE ȘTIINȚIFICE UTILIZIND ARSENALUL AFLAT ÎN DISPOZIȚIA CHIMISTULUI MODERN SĂ ELUCIDEZE ASPECTELE CINETICE ȘI MECANISMULUI REACȚIEI IZOCIANATILOR CU ALCOOLI.

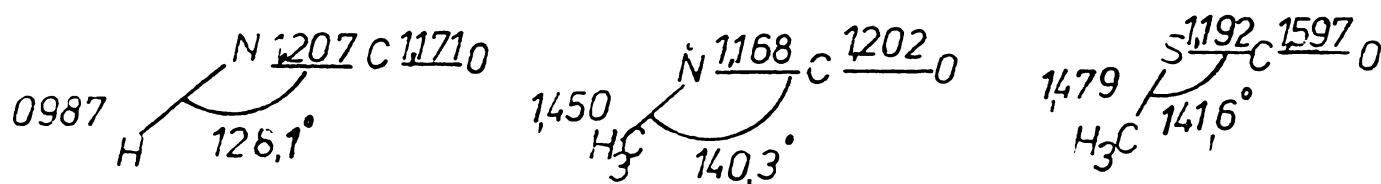
În paralel cu studiile cinetice efectuate s-a pus la punct tehnologia de obținere a catalizatorilor 1,2 aminecteri ciclici și aciclici care se vor realiza în stația pilot a întreprinderii eliminându-se astfel produsul similar din import.

Lecția 2. Structură și reactivitate

Izocianatii sunt derivați organici conținând în molecula lor gruparea izocianică $\text{-N}=\text{C}=\text{O}$ și rezultă prin înlocuirea unui atom de hidrogen din acidul izocianic ($\text{H}-\text{H}=\text{C}=\text{O}$) cu radicali organici. Izocianatii sunt astfel derivați funcționali ai bixidului de carbon cu aminele.

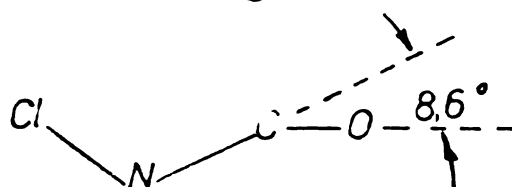


Hibridizarea sp a atomului central din moleculele de tipul CO_2 , CS_2 , NO_2^+ , N_3^- , izocianatii și izotiocianatii impune o configurație liniară a moleculei. Distânțele interatenice și unghиurile de valență pentru unele izocianatii și izotiocianatii sunt prezentate mai jos /1/:



Valorile su fost obținute prin măsurări de difracție de electroni și spectroscopie de microonde.

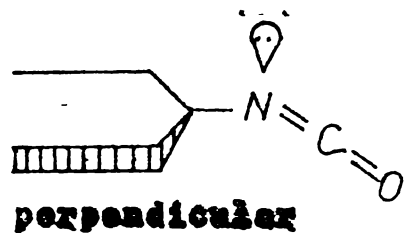
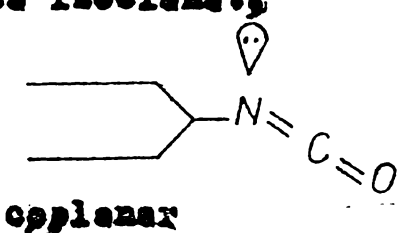
Studiul de detaliu privind linearitatea grupei izocianat a demonstrat apariția uneor abatorie. Astfel în cazul Cl-NCO s-a obținut de exemplu următoarea geometrică /1/:



Aceste date experimentale su fost confirmate și de către calculele efectuate de Rode și colaboratorii /1/, utilizând metoda de calcul semiempirică a orbitalilor moleculari și calculele de ab initio.

Conformitatea moleculelor X-N=C=O în fază gazeasă s-a găsit a fi în mod obisnuit plană. La moleculele în care X reprezintă un singur atom, coplanaritatea este o consecință a linearității grupei NCO /1/. În baza spectrelor de microonde efectuate asupra fenilizocianatului s-a stabilit că inelul benzenic și lanțul izocianat sunt coplanari.

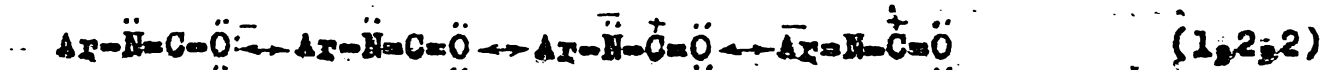
Au fost propuse /2/ alături de conformatiile plane încă și conformatii avind în plan perpendicular nucleul aromatic și gruparea izocianată.



Diferența între cele două conformatii constă în aceea că în conformatie coplanară perechea de electroni neparticipanți ai atomului de carbon este interacționată numai cu sistemul de orbitali π și legăturii C=O, iar în conformatie cu planuri perpendiculare sistemul de orbitali π și carbonylui electronii neparticipanți de la acest și la nucleului aromatic sunt conjugați. Din cauze posibilității unei delocalizări mai puternice în conformatie perpendiculară este de așteptat că această conformatie să aibă o stabilitate mai mare. Calculurile de orbitali moleculari confirmă aceasta în cazul izocianatilor și tioizocianatilor /2/.

Potențialul vertical de ionizare a electrenilor determinat cu tehnica ESCA este după cum se vede proporțional cu sarcina efectivă a atomilor respectivi /1/, Pe această cale s-a determinat sarcinile efective din moleculele izocianatilor și s-a găsit că atozul de carbon are o importantă sarcină pozitivă iar cel de azot una corespunzătoare negativă /1/, Momentele dipol relativ mari ale grupelor izocianat pledează de asemenea pentru o puternică polarizare. Aceasta explică comportarea astăzi moleculei ca și electrofile a grupului $-N=C=O$. Cele mai caracteristice și cunoscute pentru izocianatii sunt reacțiile de adiție nucleofilă. Ele decurg prin atacul unor nucleofili la carbonylul carbenilic. Agentii electrofili pot realiza un atac la nivelul exigenului sau atozului izocianat.

Cataliza prim scizi Lewis și baze este posibilă tot printre-
stac la oxigen sau azot /3/, Structurile limite care reflectă re-
partiția electronilor în arilizocianati sunt deci /4/:



Reactivitatea izocianatilor este cu atit mai mare cu cit radiculul organic legat de gruparea izocianat este mai atragător de electroni determinind o încărcare pozitivă mai pronunțată a atomului de carbon izocianic. Pentru acest motiv izocianatii are-

matici și în special cei cu substituenți atrăgători de electroni la nucleu sunt mai reactivi decât cei alifatici și decât aril-alchilizocianatii /5/.

1.3. Reacție izocianatilor cu apa și alcoolii

1.3.1. Reacția monoizocianatilor cu alcoolii

Prin reacție unui alcool cu izocianat se formează un uretan numit de amoniu și carbamat:



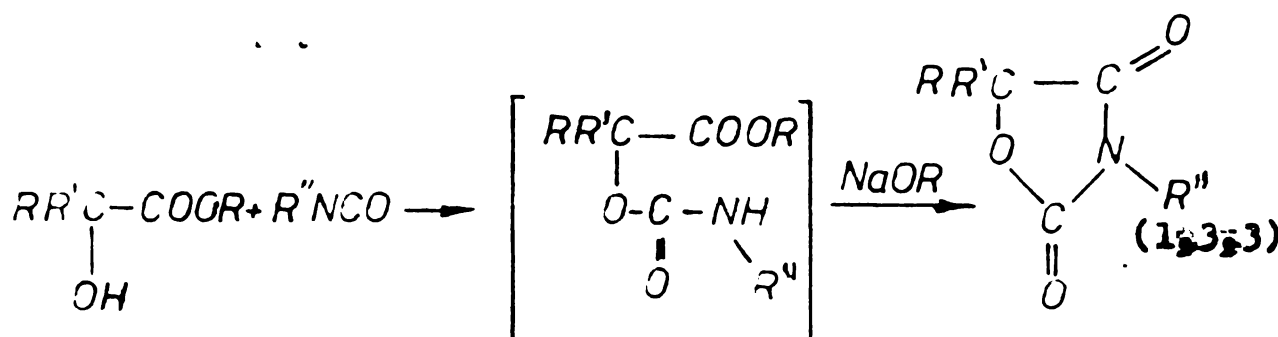
Reacția este catalizată de baze moderate și tari, de o serie de metale și slab de acizi.

In cazul alcoolarilor efectul împiedecării sterice este prezent, astfel alcoolarii primari reacționează ușer la $25 - 50^{\circ}C$, alcoolarii secundari reacționează cu aproximativ o,3 din viteză alcoolarilor primari iar alcoolarii terțiali reacționează mult mai incet, aproximativ cu o,005 din viteză celor primari. Un alcool terțiar cum este trifenilcarbinoul are o împiedicare sterică atât de însemnată încât s-a constatat că este complet nereactiv.

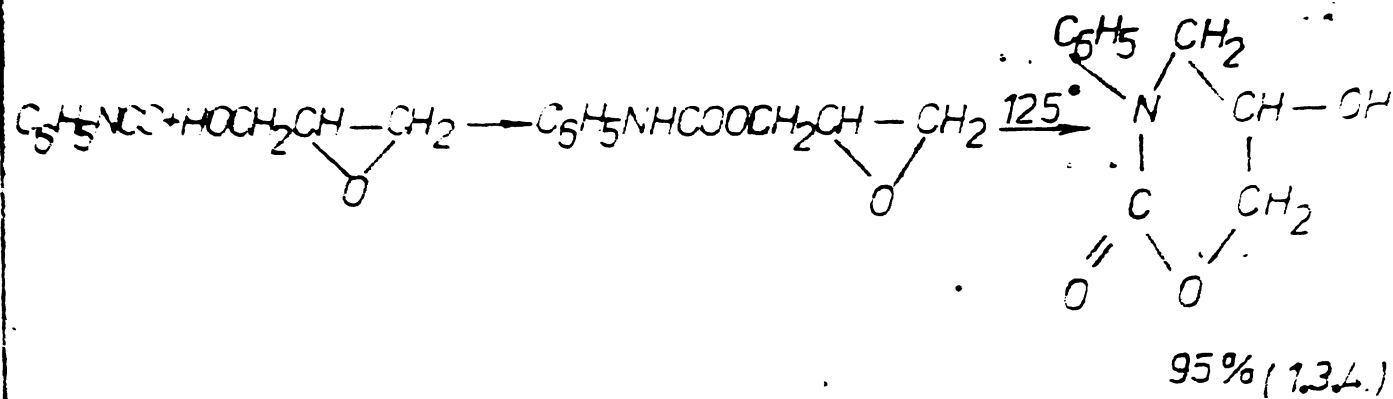
Reacție izocianatilor cu alcoolarii simpli, primari și secundari dă ușor spreapte cantitativ uretanul corespondent care este stabil. In contrast cu acestea reacția cu alcoolarii terțiali este acompaniată uneori de formare de olefine /3/:



Alte reacții secundare pot avea loc cu alcooli cu structură complexă. Cu α -hidroxiesteri pot avea loc închideri de cicluri între ester și uretan dacă se lucrează în cataliza alcooxidului de sodiu /3/:



Tot astfel se inchid cicluri cu grupări epoxidice /3/:

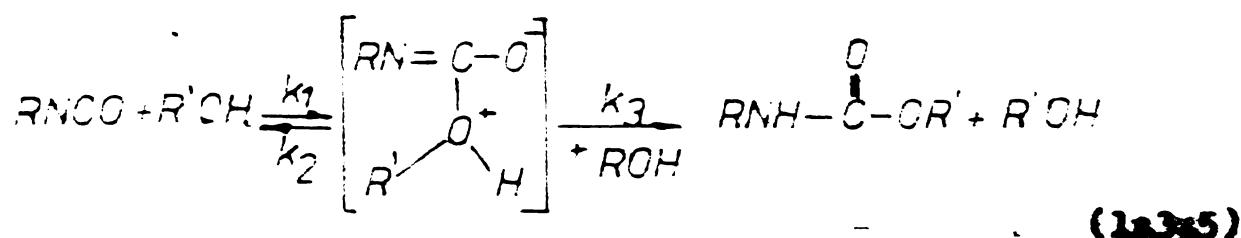


In cazul reacției cu alcoolii conținând mai mult de un tip de grupă funcțională, gruparea cea mai nucleofică va reacționa prima cu izocianatul. Astfel este de așteptat ca gruparea amine din etanolamine să fie mai reactivă, să reacționeze prima cu izocianatul, urmând apoi reacția hidroxilului alcoolului.

Reacția Cinetică și mecanism

Prima reacție a izocianatilor studiată cinetică este cea cu alcoolii.

Baker și colaboratorii sunt primii care au postulat un mecanism pentru reacția spontană și în cataliză bazică și au formulat o ecuație cinetică. El presupune formarea între alcool și izocianat în primul stadiu, a unui complex ionic care se transformă bimolecular în uretan prin reacție cu o a doua molecule de alcool /3,6,7,8/:



Conform metodei stării staționare, ecuație cinetică care exprimă viteza de formare a uretanului este:

$$-\frac{d[\text{RNCO}]}{dt} = \frac{k_1 k_3 [\text{RNCO}][\text{R}'\text{OH}]}{k_2 + k_3 [\text{R}'\text{OH}]} \quad (1.3.6)$$

Considerind reacția de ordinul doi și notând cu k_{II} constantea de viteză a reacției globale determinată experimental, ecuația (1.3.6) devine:

$$-\frac{d[\text{RNCO}]}{dt} = k_{II} [\text{RNCO}][\text{R}'\text{OH}] \quad (1.3.7)$$

iar k_{II} este expresia

$$k_{II} = \frac{k_1 k_2 [\text{R}'\text{OH}]}{k_2 + k_3 [\text{R}'\text{OH}]} \quad (1.3.8)$$

Prin reînajderea ecuației (1,3,3) se obține:

$$\frac{[R'_OH]}{k_{II}} = \frac{k_2}{k_1 k_3} + \frac{[R'_OH]}{k_1} \quad (1,3,4)$$

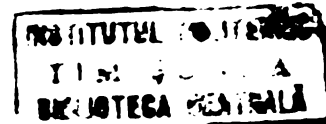
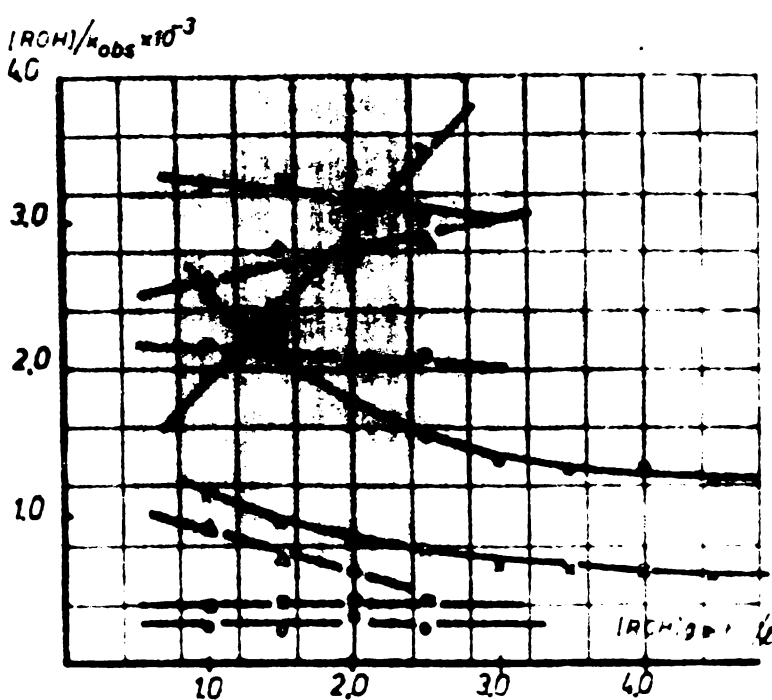
Reprezentind ecuația (1,3,4) în coordinate R'_OH / k_{II} - R'_OH , Baker obține o dreaptă având pantă pozitivă $1/k_1$ și intersecție pe ordinată $k_2 / k_1 k_3$.

Reacția conform mecanismului propus este de ordinul unu față de izocianat, iar k_{II} crește cu creșterea concentrației alcoolului ceea ce face ca ordinul de reacție față de alcool să fie mai mare decât unu.

Prin analogie cu mecanismul și cinetica reacțiilor catalizate de amine terțiare, unde viteza este proporțională cu concentrația aminei, Baker consideră că moleculele de alcool au și un rol de catalizator în afară de cel de reactant. Creșterea constantei de viteză cu concentrația alcoolului este singurul argument experimental adus de autorii pentru susținerea mecanismului propus.

Lucrări efectuate ulterior au adus date care nu corespund mecanismului propus de Baker. Astfel studiindu-se cinetica reacției fenilisocianatului cu diversi alcooli și gliceli în diexen s-a arătat că în majoritatea cazurilor datele nu satisfac ecuație (1,3,4) adică $R'_OH / k_{II} - R'_OH$ nu este o reprezentare liniară /6/ (fig.1).

Fig.1. Reacția fenilisocianatului cu alcooli și gliceli /6/



x etanol; + etoxietanol; o trimetilenglicel; n tetrametilen-glicel;
 A hexametilenglicel; o etilenglicel; □ dietilenglicel;
 Δ trietilenglicel; ∇ tetraetilenglicel

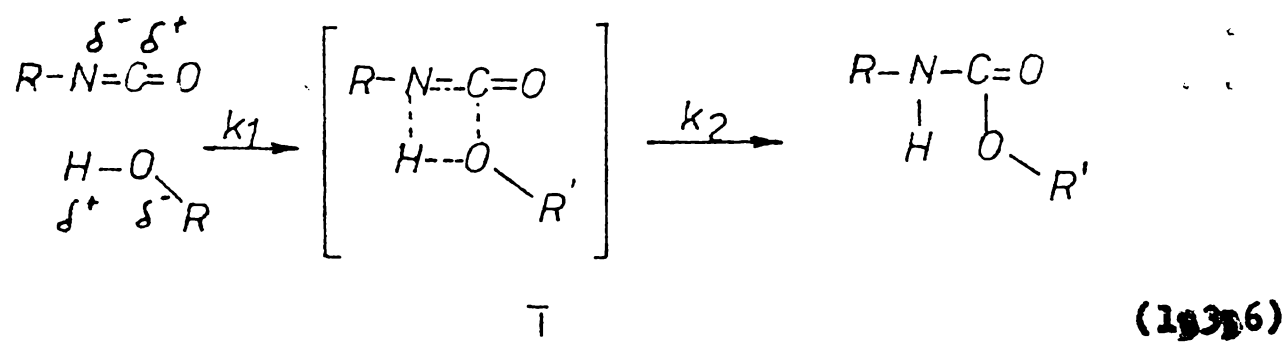
Este de remarcat că neliniaritatea și panta negativă a reprezentărilor sunt mai preunțate atunci cind este favorizată formarea legăturilor de hidrogen în solventi polari, conducind fie la autoasociatii ale moleculelor de alcool, între-sau intermolecular, fie la asociatia alcoolului cu solventul.

Aceleși rol însemnat al mediului de reacție asupra mecanismului și vitezei a fost observat și de o serie de alți autori /7,8,9/:

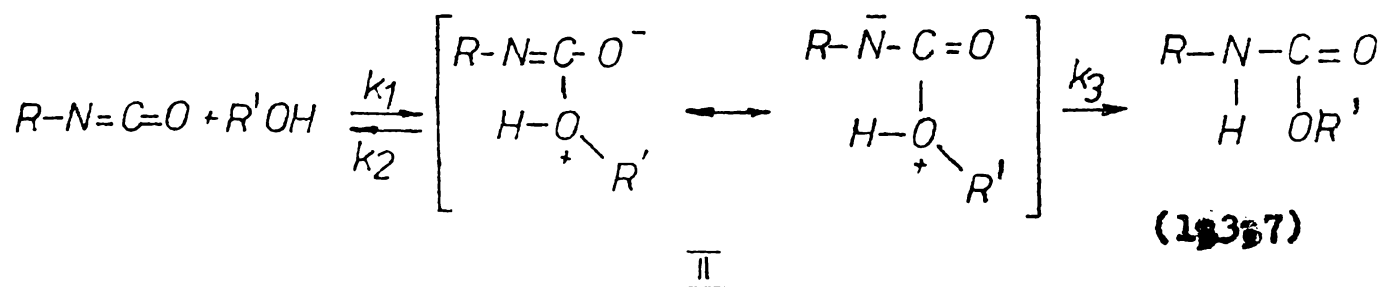
Rolul, importanța și mecanismul de formare a legăturilor de hidrogen din sistemul reactant va fi descris detaliat într-un capitol separat (1⁹4⁹3, pag. 33).

Pe baza rezultatelor lor experimentale, Entelis, Nestorov și Tiger /7/ dau o nouă imagine asupra mecanismului de reacție a izocianatilor cu compusii cu hidrogen mobilă. Mediul de reacție, sau mai exact capacitatea de donare sau acceptare de electroni a solventului este factorul care determină mecanismul de reacție. El propune două mecanisme de reacție pentru reacția necatalizată:

1) O reacție într-un singur stadiu în formarea unui complex de tranziție ciclic I:



2) Formarea din izocianat și alcool printr-o reacție rapidă de echilibru a complexului intermediar II cu structură ionică, care se transformă monomolecular în următoare:



Exprisia cinetică formală a celor două scheme este indicată, corespunzînd unei reacții de ordinul II:

$$-\frac{d[RNCO]}{dt} = k_{II}/RNCO/[R^{\circ}OH] \quad (1_33_5)$$

Notăriile corespund celor anterioare,

Pentru schema 1), k_{II} (determinată experimental) = k_2

Pentru schema 2) sunt două posibilități:

a) k_3 , k_2 și $k_{II} = k_1$, deci formarea complexului este determinată de viteza întregului proces.

b) k_1 , k_2 , adică apare un echilibru, atunci $k_{II} = K k_2$, unde K este constanta de echilibru. Datorită independenței constantei de viteza k_{II} de concentrația alcoolului și valoarelor mari negative ale $\Delta S^{\circ} < 0$ a șterii inclină să considerăm mai probabilă schema I, reacția fiind de ordinul 2, iar k_{II} constanta reală de viteza.

Masae Sato /1/, ținând cont de unele devieri de la cinetica de ordinul doi propusă de Baker și acceptată de o serie largă de autori, propune o cinetică de ordinul trei în baza următoarei ecuații cinetice:

$$\frac{dx}{dt} = k_1(a-x)(b-x)^2 + k_2x(a-x)(b-x) + k_3(cat)(a-x)(b-x) \quad (1_33_6)$$

Forma integrală a ecuației fiind:

$$k_2t = \frac{2.393}{ab} \log x + \frac{2.393}{a(a-b)} \log(a-x) - \frac{2.393}{b(b-a)} \log(b-x) + K \quad (1_33_7)$$

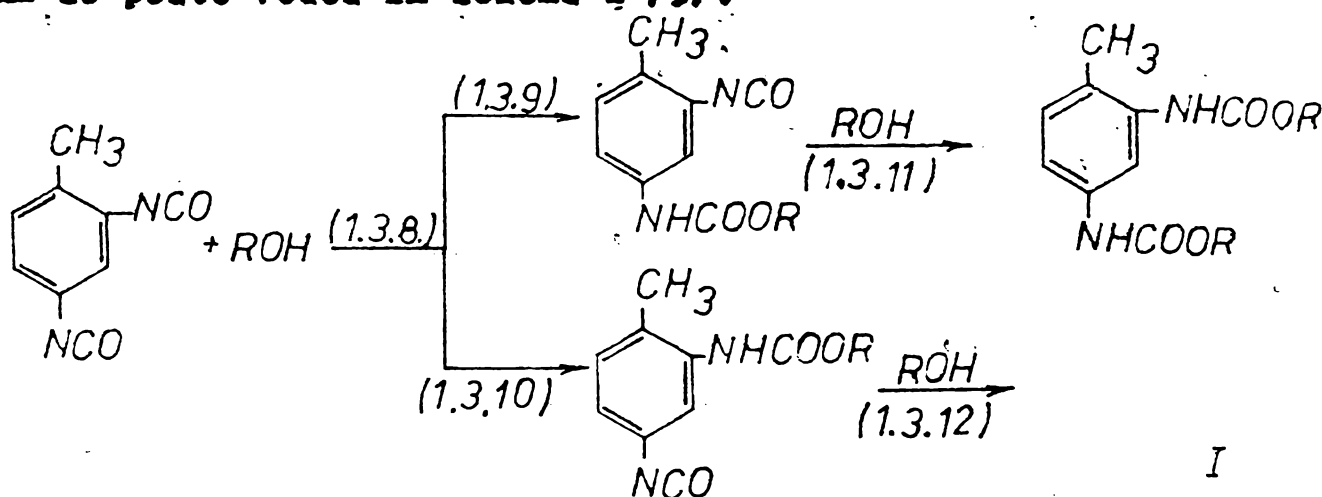
Prin acest mecanism este explicată satisfăcător reacția izocianatelor cu alcoolii, dar nu s-a determinat dacă valoile k_1 și k_2 din ecuația (1_33_6) variază cu concentrația reactanților. Pe baza determinărilor experimentale efectuate de M. Sato și colaboratorii săi au trăs următoarele concluzii:

Este probabil că reacția izocianatului cu alcoolul trece prin complexe intermediare formate din izocianat și alcool, izocianat și uretan și izocianat și catalizator, astfel ecuația (1_33_6) trebuie să fie aplicabilă. Oricum în sistem există associeri în mediul de reacție. Din această cauză valoile k_1 , k_2 și k_3 nu sunt în întregime constante dar reacția urmărește aparent ecuația (1_33_6).

Valoile k_1 și k_3 descreșc puțin cu creșterea concentrației alcoolului, iar valoarea lui k_2 se modifică considerabil cu schimbarea concentrației reacționilor. Cu teate acestea, autorii conchid că aplicarea acestui mecanism este avantajoasă, deoarece explică teate fenomenele de interacțiune a izocianatilor cu alcooli.

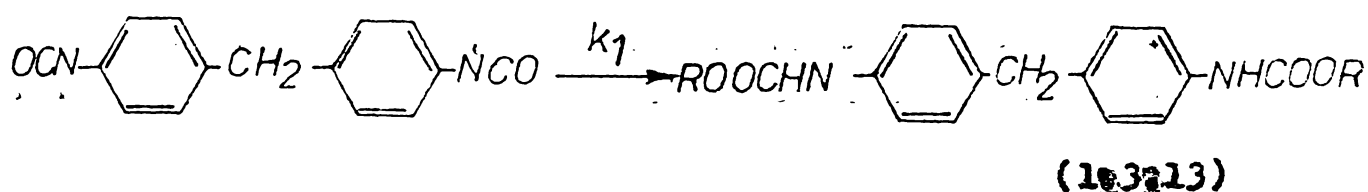
1.3.2. Reacția diizocianatilor cu alcooli

Reacția diizocianatilor prezintă un sistem complicat de reacții; 2,4-toluilendiizocianatul de exemplu reacționează după cum se poate vedea în schema I /3/:



Reacția aparentă (1.3.8) este de fapt o combinare a reacțiilor (1.3.9) și (1.3.10). Deoarece reacția (1.3.8) are loc cu o viteză destul de mare față de reacție (1.3.9), cum se întâmplă de obicei, reactivitatea inițială a diizocianatului nu este o măsură precisă a reactivității grupei din poziția 4. Deoarece ultimele 3-4% ale reacției implică numai reacția monoizocianatelor substituți cu uretan, această porțiune implică reacția a doi izomeri diferenți (1.3.11) și (1.3.12). Din această cauză o analiză exactă a reactivității 2,4-toluilendiizocianatului cere sintetizarea monoizocianatelor substituți cu uretan, puri, și studiul lor cinetică.

În cazul mai simplu al diizocianatelor simetrii, cum ar fi 4,4'-difenilmetandiizocianatul, viteza experimentală inițială observată se poate împărți la doi pentru determinarea constantei pentru una din grupele funcționale.



Legea Cinetică și mecanism

Cinetica reacțiilor diizocianatilor prezintă un interes deosebit datorită importanței teoretice cît și mai ales practice. Reactivitatea diferită a celor două grupe izocianat influențează cinetica formării poliuretanilor, greutățile moleculare medii și caracterul distribuției acestora.

Reactivitatea inițială a unui diizocianat este similară cu a unui monozocianat substituit cu o grupă activateare, care este totuși și deosebită din punct de vedere al reactivitatii unui monozocianat substituit cu o grupă uretanică. De îndată ce una dintre grupele izocianice a reacționat cu alcoolul, a doua grupă va avea reactivitatea unui monozocianat substituit cu o grupă uretanică. După cum se vede din Tab. I, o grupă uretanică în poziția meta sau para are deosebit un efect activator foarte slab, mult mai slab decât o grupă izocianică din aceste poziții.

Tabal Efectul relativ al substituentilor asupra activității fenilizocianatilor substituiți cu alcoolul /3/

Substituent	Reactivitate relativă
m-NCO	5
p-NCO	4
m-NHCOOR	1,5
p-NHCOOR	1,5
nesubstituit	1
orto-CH ₃	0,88
p-NHCOOR	

Reacția studiată a fost cea a fenilizocianatului substituții cu 2-etylhexanol în benzen la 28°C,

Din acest motiv una dintre grupele izocianat reacționează cu o viteză mai mare iar a doua are o reactivitate mai scăzută astfel încât curbele cinetice prezintă o schimbare de pentru la 40 - 50% conversie. Scăderea reactivității poate fi și mai însemnată, dacă în poziția orto este prezent un alt substituent față de grupele izocianat, după cum se vede în Tab. I.

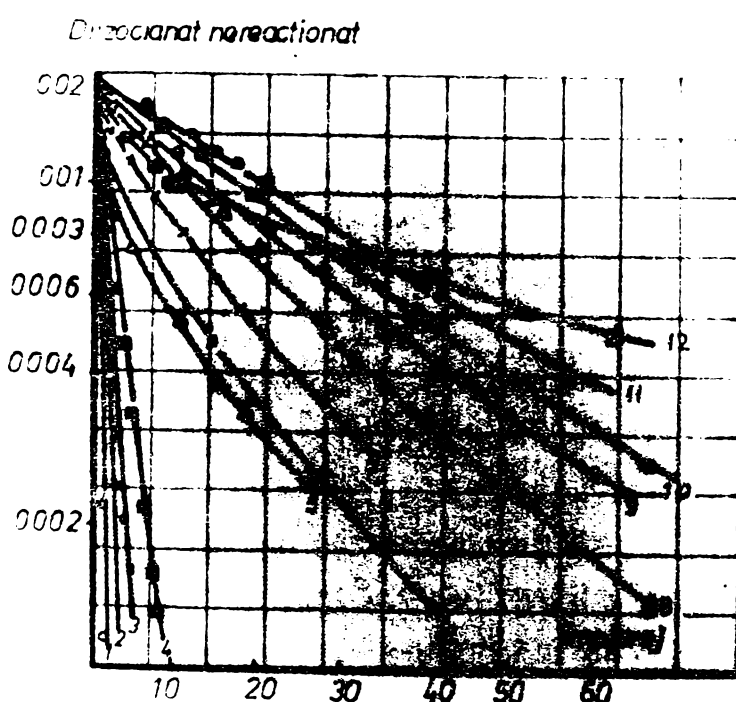
Un exemplu ce ilustrează acest efect este 2,4-toluilandizocianatul. Gruparea cea mai reactivă trebuie să fie gruparea izocianat din poziția 4 care este activată de grupul izocianat din poziția 2. Gruparea din poziția 2 este de asemenea activată de grupa izocianat din poziția 4, dar este dezactivată de gruparea

metil din poziția 1. După ce gruparea izocianat din poziția 4 a reacționat cu alcooolul, izocianatul din poziția 2 va fi și mai puțin reactiv decât inițial, deoarece influența puternic dezactivată a grupării metil vecine din poziția 1 va compensa slaba activitatea datorată grupării uretan din poziția 4.

In diizocianatii în care grupele izocianat sunt grefate la cicluri aromatici diferite sau sunt separate de lanțuri alifatici, efectul unei grupe izocianat sau uretan asupra celei de a doua grupe izocianat este mai prenunțat /11/.

Reacția cîtorva diizocianatî cu 2-ethylhexanolul și cu un pelicester a fost studiată de Bailey /3,12/. Din fig.2 se poate urmări influența structurii izocianatului asupra reactivității sale.

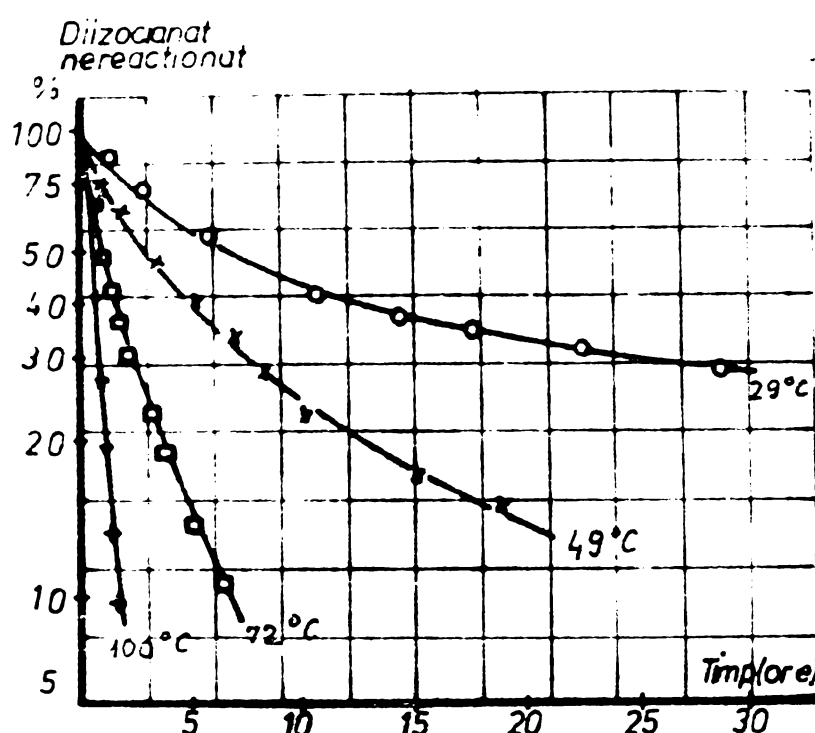
Fig.2. Reacție unor diizocianatî aromatici cu 2-ethylhexanol (1-11) și cu pelidietilenglicoladipat (12) în benzen /12/.



- 1 1-clor-2,4-fenildiizocianat; 2 m-fenilendiizocianat;
- 3 p-fenilendiizocianat; 4 4,4'-difenilmetandiizocianat;
- 5 2,4-toluilendiizocianat; 6 60/40 2,4/2,6-toluilendiizocianat;
- 7 2,6-toluilendiizocianat; 8 3,3'-dimetil-4,4'-difenildiizocianat; 9 3,3'-dimetil-4,4'-difenilmetandiizocianat; 10 3,3'-dimetoxi-4,4'-difenildiizocianat; 11 2,2',5,5'-tetrametil-4,4'-difenildiizocianat; 12 80/20 2,4/2,6-toluilendiizocianat.

Crescerea temperaturii de reacție favorizează reacția lată, a celei de a doua grupe izocianat, astfel încât diferențele de reactivitate dintre cele două grupe izocianat disipați treptat cu creșterea temperaturii (fig.3).

Fig.3. Reacția 2,4-toluilendiizocianatului cu polidietilen-gliceladipatul în clorbenzen la diverse temperaturi /3/



Crescind raportul alcool/diizocianat, creste constanta de viteză aparentă ca și în cazul monoizocianatilor, iar reprezentarea $\text{ROH} / k_{\text{exp}}$ funcție de ROH este liniară ca și la izocianati /3/ (Tab.2),

Studiindu-se efectul concentrației reactanților (la raport constant $\text{NCO}/\text{OH} = 1:1$) asupra constantei de viteză în xilen, a fost găsit că este independent de concentrație în domeniul $0,1 - 0,5 \text{ N}$ al reactanților, dar crește la concentrații mai mari de $1,0 \text{ N}$ (Tab.2),

Tab.2. Reacția n-butanolului cu diizocianate în xilen
(concentrație inițială NCO = c,5%)/3/

Diizocianat	Repart OH/NCO	Temperatură C	$k \times 10^4$ l/mol sec	E
			Prima 50% /A doua 50%	kcal/echiv.
Toluilen	4:1	25	8,15	0,92
	2:1	25	5,10	0,52
	1:1	25	2,62	0,25
	1:1	35	4,22	0,44
	1:1	15	1,53	0,14
Difenilmetan	4:1	25	5,30	-
	2:1	25	3,18	-
	1:1	25	1,89	-
	1:1	35	2,95	-
	1:1	15	1,00	-
Glebal TDI	1:1	25	2,81	-
MDI	1:1	25	3,18	9,6

În o serie de lucrări în care se studiau reactivitățile diizocianatilor se utilizează o metodă aproximativă de calcul prin care se obțin constantele de viteză a diferitelor grupe izocianat din panta celor două părți liniare a curbelor cinetice. După cum a arătat Cunningham și Mastin /13/, valerile obținute pentru cele două constante de viteză astfel sunt de același ordin de mărime. Valerile cele mai bune pentru constanta k_1 s-au găsit utilizând primele puncte ale curbei cinetice respectiv ultimele câteva puncte pentru determinarea lui k_2 .

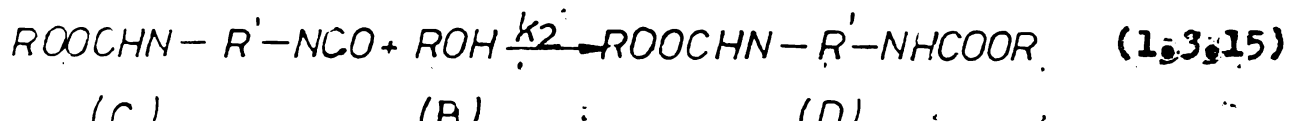
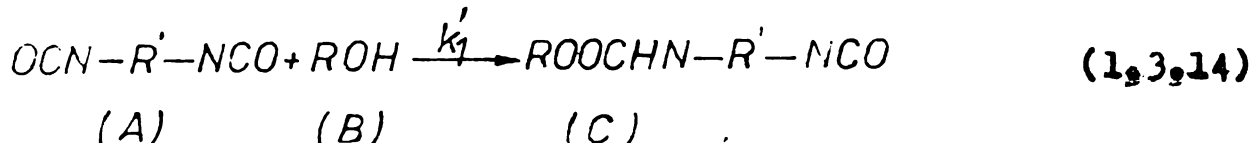
Pentru teste reacțiile de acest gen cele două constante de viteză astfel obținute conțin un anumit grad de aproximare, datorită unor suprapunerii și interferenții a diferitelor reacții din sistem, motiv pentru care calculele s-au efectuat cu valerile extreme ale curbelor cinetice. Cu teste acestea se consideră că această metodă grafică aproximativă prezintă suficientă acuratățe pentru scopul unei aprecieri calitative, privind activitatea grupelor izocianat din diizocianat.

L. J. Serinina și colaboratorii /14/ și-au propus să studieze spectrefetometrică cinetica reacțiilor unei diizocianate cu exces de alcool metilic în heptan.

Din analiza ecuațiilor cinetice sunt obținute valerile constanțelor ambelor grupe izocianat. Simultan s-a măsurat cinetica reacției cu alcoolul metilic a unei diizocianate special sintetizate, care reprezintă produsele intermediare presupuse ale reacției initiale a diizocianatelor.

Compararea constantelor obținute prin diferite metode a arătat corespondența lor satisfăcătoare (Tab.3),

Reacțiile diizocianatilor simetriici cu alcoolii reprezintă un caz tipic pentru reacțiile succesiv - paralele,



Pentru cazul în care reacția se efectuează în exces de alcohol concentrația izocianatului este mult mai mică decât cea a alcoolului, $c_B > c_A$, și se poate scrie:

$$-\frac{dc_A}{dt} = k_1 c_A \quad (1,3,8); \quad \frac{dc_C}{dt} = k_1 c_A - k_2 c_C \quad (1,3,9); \quad \frac{dc_D}{dt} = k_2 c_C \quad (1,3,10)$$

unde $k_1 = k_1^0 c_B$; $k_2 = k_2^0 c_B$,

Rezolvarea comună a sistemelor de ecuații date permite obținerea valorilor concentrațiilor respective a produselor intermediere și finale,

$$c_A = c_A^0 e^{-k_1 t}$$

$$c_C = c_A^0 \frac{k_1}{k_2 - k_1} (e^{-k_1 t} - e^{-k_2 t}) \quad (1,3,11)$$

$$c_D = c_A^0 \frac{1}{k_2 - k_1} k_2 (1 - e^{-k_1 t}) - k_1 (1 - e^{-k_2 t})$$

În studiul reacției diizocianatilor cu alcoolele în majoritatea cazurilor cinematicile se calculează pe baza modificării concentrației totale a grupelor izocianat din amestecul de reacție.

$$c_{NCO} = 2c_A + c_C = 2c_A^0 e^{-k_1 t} + c_A^0 \frac{k_1}{k_2 - k_1} (e^{-k_1 t} - e^{-k_2 t}) \quad (1,3,12)$$

Valorile k_1 și k_2 sunt găsite din inclinația celor două segmente liniare a curbelor cinematice reprezentate în coordonatele $(\lg c_{NCO}, t)$. Mărimea k_1 poate fi calculată utilizându-se cîteva aproximări,

Pentru stadiul de început al reacției, cînd $k_1 t \ll 1$,

factorii exponentiali din ecuația (1,3,11) pot fi reprezentăți cu deosebită precizie de primii doi termeni de descompunere în sir. Ca urmare ecuația (1,3,12) se va transforma în:

$$\frac{c_{HCO}}{2 c_A^0} = 1 - \frac{k_1}{2} t \quad (1,3,12')$$

La studierea cineticii reacției diizocianatelor cu alcooli prin metoda spectrefotometrică, admitind că coeficientul de absorbție al alcoolului este egal cu zero, densitățile optice ale amestecului de reacție sunt: cea inițială, D_0 ; cea la timpul t , D ; iar cea finală, D_∞ . Se poate scrie:

$$D_0 = \epsilon_A c_A^0$$

$$D = \epsilon_A c_A^0 + \epsilon_C c_C + \epsilon_D c_D \quad (1,3,13)$$

$$D_\infty = \epsilon_D c_D = \epsilon_D c_A$$

unde ϵ_A , ϵ_C , ϵ_D sunt coeficienții molari de absorbție a diizocianatului, uretanizocianatului și a diuretanului corespunzător,

Pentru reacție cu un singur stadiu, de exemplu cea a monooxigenanatului sau uretanizocianatului (reacția 13,15) cu alcoolul în condițiile de respectare a legii Lambert - Beer constantea de viteză de ordin pseudomonomolecular se poate determina folosind expresia:

$$k = -\frac{2,303}{t} \lg \frac{D'_\infty - D'_0}{D'_\infty - D'_t} \quad (1,3,14)$$

unde D'_0 , D'_t , D'_∞ sunt densitatea optică inițială, curentă respectiv finală,

La reacție cu două stadii expresia pentru densitatea optică curentă devine corespunzător cu ecuațiile (1,3,11) și (1,3,13) în felul următor:

$$D = \epsilon_A^0 c_A^0 e^{-k_1 t} + \epsilon_C^0 c_A^0 \frac{k_1}{k_2 - k_1} (e^{-k_1 t} - e^{-k_2 t}) + \epsilon_D^0 c_A^0 \frac{1}{k_2 - k_1} \cdot \frac{-k_1 t}{k_2 (1 - e^{-k_1 t}) - k_1 (1 - e^{-k_2 t})} \quad (1,3,13')$$

Dacă coeficientul de absorbție a produsului intermediar uretanizocianat este considerat egal cu $\tilde{\epsilon}_C = \frac{\epsilon_A + \epsilon_D}{2}$, constantele de viteză k_1 și k_2 se pot calcula cu precizie din unghiurile de inclinare a segmentelor liniare a curbelor cinetice în

coordonatele $(\lg(D_\infty - D), t)$,

Intr-un caz mai general, în care $\tilde{\epsilon}_c \neq \frac{\epsilon_A + \epsilon_D}{2}$, constantele de viteză pot fi determinate din ecuația (1,3,13 ϵ) pentru $k_1 t \ll c_A$ condițiile initiale, $c_C \gg c_A$ pentru cele finale.

În $k_1 t \ll c_A$

$$D - D_0 = c_A^0 (\epsilon_C - \epsilon_A) k_1 t \quad (1,3,13_{tt})$$

$$\lg \frac{D_\infty - D}{D_{\infty}^0 - D_0} = - \frac{k_1}{2,3} t \quad (1,3,15)$$

unde $D_0 = \epsilon_A c_A^0$ și $D_\infty^0 = \epsilon_C c_A^0$

În $c_C \gg c_A$ ecuația (1,3,13) va lua forma

$$\lg \frac{D_\infty - D}{D_\infty - D_0} = \lg \frac{k_1}{k_1 - k_2} - \frac{k_2}{2,3} t \quad (1,3,16)$$

unde $\tilde{D}_0 = \epsilon_C c_A^0$; $D_\infty = \epsilon_D c_A^0$

Parametrul care trebuie să fie cunoscut pentru calculul constanțelor după ambele metode este coeficientul de absorptie a intermediarului ($\tilde{\epsilon}_C$). Această mărimă poate fi determinată numai din măsurăările spectrale directe a absorptiei probelor autentică. Valurile comparate ale constanțelor de viteză pentru reacția izocianatilor cu metanol obținute prin cele două metode de calcul prezентate anterior sunt prezентate în Tab.3.

Tabel 3 Constantele de viteza ale reacțiilor dissocienilor și uretanizacionilor cu metanol în heptan

Compusul	Constanta de viteza a reacției dissocienei	Metoda de determinare	20°	30°	40°	50°	70°	k _D ¹ /k _D ²	E kcal/mol
OCH-(CH ₂) ₆ -NCO	k _D ¹ 13 ₉ 13 ₁₄ lg(D _∞ -D), t 13 ₉ 15 13 ₉ 16	13 ₉ 13 ₁₄ lg(D _∞ -D), t 13 ₉ 15 13 ₉ 16	- - - -	13 ₉ 4 16 ₉ 9 17 ₉ 0 18 ₉	20 ₉ 0 - - -	29 ₉ 5 - - -	50 ₉ 0 - - -	4 ₉ 3 - - -	7 ₉ 80
OCON-(CH ₂) ₆ -NHCOOCH ₃	k _D ¹ 13 ₉ 13 ₁₄ lg(D _∞ -D), t k _D ¹	13 ₉ 13 ₁₄ lg(D _∞ -D), t 13 ₉ 15 13 ₉ 16	- - 51 ₉ 5 - 71 ₉ 5	32 ₉ 1 81 ₉ 3 105 ₉ 0 - -	4 ₉ 2 6 ₉ 7 - -	6 ₉ 7 - -	- -	- - - -	15 ₉ 7 6 ₉ 40
OCH-NCO	k _D ¹ 13 ₉ 15 k _D ¹ 13 ₉ 16	13 ₉ 15 13 ₉ 16	- -	86 ₉ 0 85 ₉ 8	- -	- -	- -	- -	7 ₉ 8
NCO-NHCOOCH ₃	k _D ¹ k _D ¹	13 ₉ 13 ₁₄ 13 ₉ 15	lg(D _∞ -D), t - - -	5 ₉ 2 6 ₉ 2 6 ₉ 5	- - 9 ₉ 5	- - 13 ₉ 4	- - -	1 ₉ 5 - -	7 ₉ 9
OCON-CH ₂ -NCO	k _D ¹ k _D ¹	13 ₉ 13 ₁₄ 13 ₉ 15 13 ₉ 16	lg(D _∞ -D), t - -	8 ₉ 2 9 ₉ 2 5 ₉ 9	- - -	- - -	- - -	- - -	8 ₉ 6
OCON-C ₆ H ₅ -NHC ₆ H ₅	k _D ¹	lg(D _∞ -D), t	-	-	-	-	-	-	-

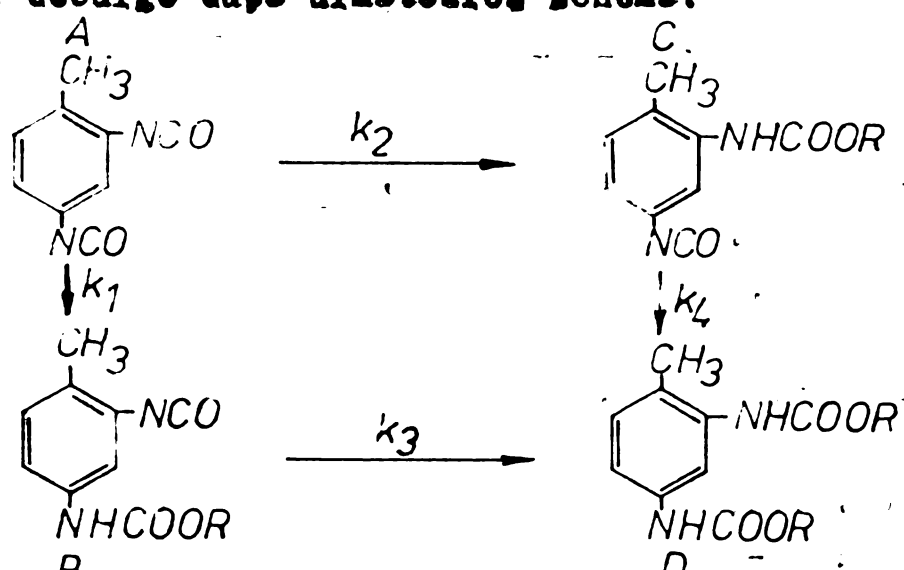
gr - metoda de determinare grafică

Autorii lucrării trag concluzia că metoda determinării constantelor de viteză din curbile cinetice pe baza metodei grafice (ecuația $\lg(D \sim -D), t$) prezintă o suficientă precizie numai în cazul cînd coeficientii reali de absorptie ale uretanizocianatului (ϵ_c) sunt apropiati de cele aditive (ϵ_c'),

Compararea constantelor k_2 obținute din cinetica bistadială și prin metoda directă a cineticii reacției uretanizocianatului special sintetizat cu alcoolul arată că aceste valori sunt suficiente să fie apropiate între ele. Natura deosebirii maximilor constantelor de viteză a reacției celor două grupe izocianat în hexametilendiizocianat la efectuarea reacției cu metanol în heptan se datorează unor efecte speciale ce necesită o tratare specială.

Pentru cazul diizocianatilor asymmetric substituiți, metoda determinării constantelor de viteză a celor două grupe izocianat din panta perțiunilor liniare a curbilor cinetice pare să nu mai fie aplicabilă, fiind necesară o tratare matematică corespunzătoare /15/.

Autorul studiază reacția 2,4-toluilendiizocianatului cu alcoolul care decurge după următoarea schema:



Se lucrează în condiții pseudomonomoleculare, deci:

$$k_1 = k_1' [\text{ROH}] \quad i=1,9,4$$

unde k_1 este constanta pseudomonomoleculară iar k_1' constanta reală,

Pentru reacțiile ce au loc se pot scrie următoarele ecuații:

$$\frac{dA}{dt} = -(k_1 + k_2)A \quad (1,3,17)$$

$$\frac{dB}{dt} = k_1 A - k_3 B \quad 486.0^{69} \quad (1,3,18)$$

$$\frac{dC}{dt} = k_2 A - k_4 C \quad 371 \quad (1,3,19)$$

ACESTE ECUAȚII SINT INTEGRATE SI SE EXPRESĂ DIRECT CONCENTRAȚIILE SPECIILOR EXISTENTE LA TIMPUL t:

$$A = A_0 e^{-(k_1+k_2)t} \quad (1,3,20)$$

$$B = \frac{k_1 A_0}{k_3 - k_1 - k_2} \left[e^{-(k_1+k_2)t} - e^{-k_3 t} \right] \quad (1,3,21)$$

$$C = \frac{k_2 A_0}{k_4 - k_1 - k_2} \left[e^{-(k_1+k_2)t} - e^{-k_4 t} \right] \quad (1,3,22)$$

unde A_0 este concentrația inițială a lui A.

Concentrația izocianatului măsurată la un timp oricare este dată de relație:

$$NCO = 2A + B + C \quad (1,3,23)$$

Care conform relațiilor de mai sus devine:

$$NCO = A_0 \left\{ 2e^{-(k_1+k_2)t} + \frac{k_1}{k_3 - k_1 - k_2} \left[e^{-(k_1+k_2)t} - e^{-k_3 t} \right] + \frac{k_2}{k_4 - k_1 - k_2} \left[e^{-(k_1+k_2)t} - e^{-k_4 t} \right] \right\} \quad (1,3,24)$$

Pentru a exprima dependența concentrației acestor izocianati în funcție de timp și constantele k_1 , k_3 și k_4 sunt necesare o serie de aproximări. Astfel se utilizează următoarea relație demonstrată valabilă, pentru reacția izocianatelor cu alcooli:

$$\lg \frac{k}{k_0} = \beta \sum \sigma + n \lg 0,34 \quad (1,3,25)$$

Relația (1,3,25) leagă valoarele constantelor de structura izocianatelor unde: k - constanta de viteză a reacției unui izocianat k_0 - constanta de viteză a reacției unui izocianat de referință, fenilizocianatul de exemplu; β - constanta seriei de reacție; n - are valoarea 1 dacă în poziția extre este o grupă metil față de grupă izocianat ce reacționează și este zero dacă grupa orto-metil lipsește.

Expresiile constantelor de viteză devin astfel în cazul 2,4 - toluiilendiizocianatului:

$$\lg \frac{k_1}{k_0} = \rho \left[\sigma_{m-NCO} + \sigma_{p-CH_3} \right] \quad (1,3,26)$$

$$\lg \frac{k_2}{k_0} = \rho \left[\sigma_{m-NCO} + \sigma_{o-CH_3} \right] + \lg 0,34 \quad (1,3,27)$$

$$\lg \frac{k_3}{k_0} = \rho \left[\sigma_{m-NHCOOR} + \sigma_{o-CH_3} \right] + \lg 0,34 \quad (1,3,28)$$

$$\lg \frac{k_4}{k_0} = \rho \left[\sigma_{m-NHCOOR} + \sigma_{p-CH_3} \right] \quad (1,3,29)$$

Intrucit σ_{o-CH_3} poate fi considerat egal cu σ_{p-CH_3} există relația:

$$\frac{k_2}{k_3} = \frac{k_1}{k_4} \quad (1,3,30)$$

Ecuatiile 13,26 - 13,29 pot fi în acest caz scrise:

$$\lg \frac{k_2}{k_1} = \lg 0,34 \quad (1,3,31)$$

$$\lg \frac{k_3}{k_1} = \rho \left[\sigma_{m-NHCOOR} - \sigma_{m-NCO} \right] + \lg 0,34 \quad (1,3,32)$$

$$\lg \frac{k_4}{k_1} = \rho \left[\sigma_{m-NHCOOR} - \sigma_{m-NCO} \right] \quad (1,3,33)$$

sau preluind din literatură valerile

$$\rho = 1,69 \quad \sigma_{m-NHCOOR} = 0,04 \quad \sigma_{m-NCO} = 0,43 \quad \text{rezultă}$$

$$k_2 = 0,34 k_1 \quad (1,3,34)$$

$$k_3 = 0,0745 k_1 \quad (1,3,35)$$

$$k_4 = 0,219 k_1 \quad (1,3,36)$$

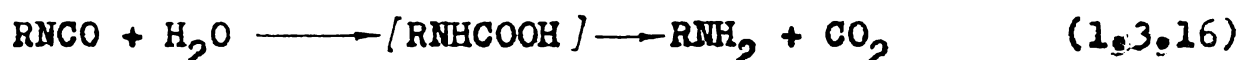
Astfel dependența de timp a concentrației izocianatului devine:

$$[NCO] = A_0 \left[2e^{-1,34 k_1 t} + e^{0,790} \left(e^{-0,0745 k_1 t} - e^{-1,34 k_1 t} \right) + e^{0,303} \left(e^{-0,219 k_1 t} - e^{-1,34 k_1 t} \right) \right] \quad (1,3,37)$$

de unde $k_2 = 3,4 \cdot 10^{-2}$, $k_3 = 7,45 \cdot 10^{-5}$ iar $k_4 = 2,19 \cdot 10^{-3}$ l/mol.sec. Aceste valori diferă sensibil față de cele calculate din simplă apreciere a pantei inițiale și finale care corespund unor valori $k_1 = 5,28 \cdot 10^{-3}$, $k_3 = 1 \cdot 10^{-3}$ l/mol.sec.

1.3.3. Reacția izocianatilor cu apa

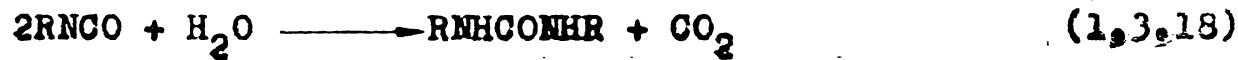
Reacția izocianatilor cu apa este mai complexă decât cea cu alcoolii de formare a uretanilor. Primul produs de adiție în general este instabil pierzind bioxid de carbon:



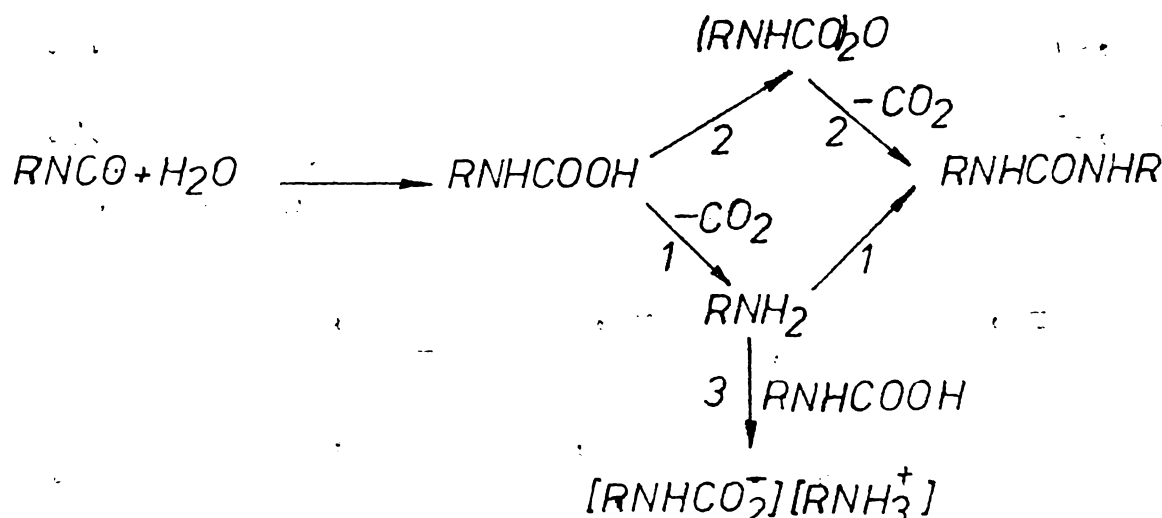
Amina astfel formată reacționează cu izocianatul chiar mai rapid decât apa, obținîndu-se cu rândunele bune uree disubstituite:



În reacția globală doi echivalenți de izocianat sunt consumați de către un mol de apă cu degajarea unui mol de bioxid de carbon.



Față de această schemă simplificată, schema reală pare mai complicată. Astfel o serie de autoxi sănătă de acord cu următoarea schemă de reacție /3,4,16/:

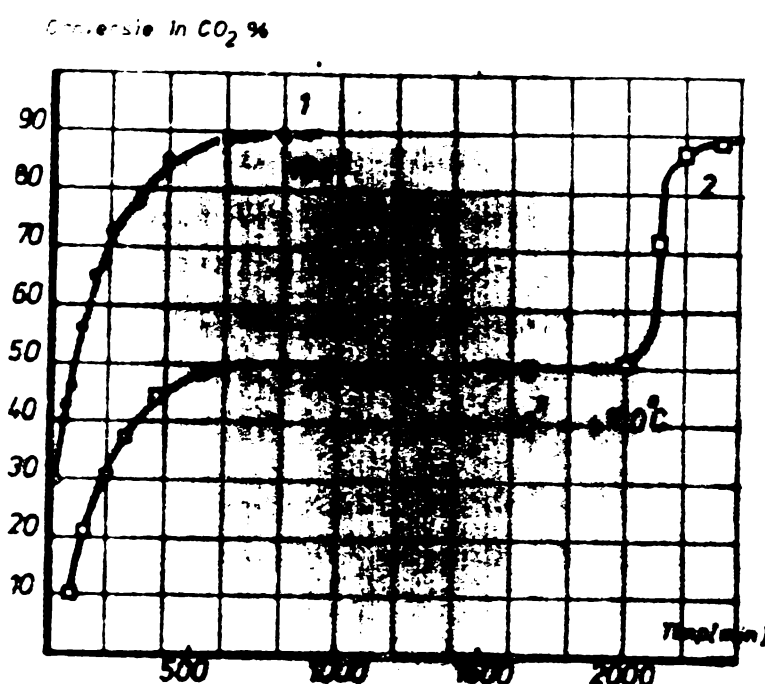


Sevența 1 va fi favorizată în unele cazuri dacă acidul carbamic este foarte instabil, descompunîndu-se rapid în amine.

Dacă acidul carbamic este suficient de stabil, sevența 2 de reacție crește în importanță. Sevența 3 devine semnificativă dacă amine și izocianatul reacționează foarte încet unul cu celălalt, de exemplu în cazul împiedicării sterice importante.

Alți autori /17/ se îndeiesc de validitatea schemei de mai sus. În soluții de diexan de exemplu la 80°C s-a observat degajarea directă a bioxidului de carbon corespunzînd aproximativ la 50% din izocianatul consumat. Descompunerea anhidridei carbamice a fost înceată la 80°C dar a devenit rapidă la 100°C . Rezultatele sugerează că la temperaturi de reacție apropiate de 100°C anhidrida poate nu se formează de lec (Fig. 4).

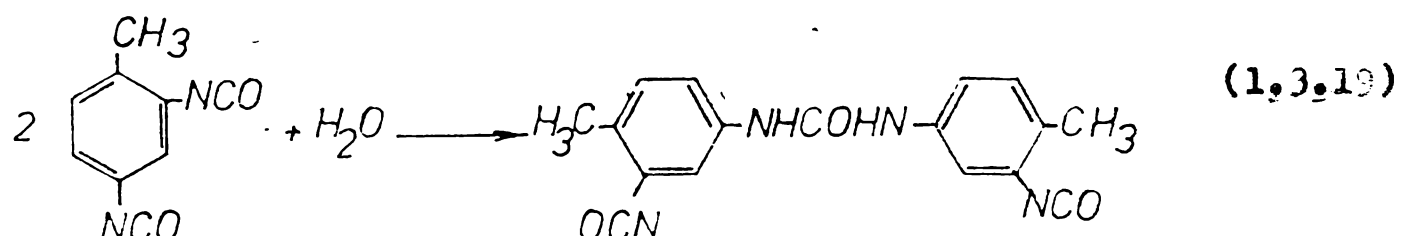
Fig. 4 Conversia în CO_2 la 100°C și 80°C la reacția ortotolilizocianetului cu apa /17/.



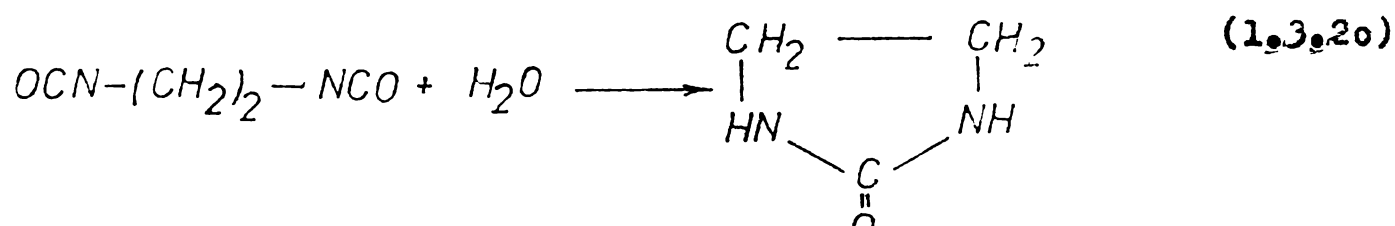
Majoritatea izocianatilor reacționează cu apa cum a fost arătat mai înainte, totuși acei cîțiva izocianati care derivă de la amine slab bazice se comportă diferit. Substituirea cu grupări nitro la nucleul aromatic al fenilizocianatului reduce tendința formării de uree, mărinind rendementul în amine. Un număr suficient de grupări nitro mor reduce bazicitatea aminei în apa măsură încât amine devin mal puțin activă față de izocianat decât apa.

Substituenții în orto față de grupația amino vor reduce de asemenea reactivitatea din cauza efectelor sterice. Cu toate acestea mononitrofenil- și 3,5-dinitrofenilizocianatul reacționează cu apă pentru a da un amestec al aminei și ureei corespunzătoare; 2,4-Dinitrofenil- și 2,4,6-trinitrofenilizocianatul dă cu răndamente bune aminele corespunzătoare cu formarea de puțină uree sau de lec.

Reacția cu apă este de asemenea selectivă cu diizocianatii conținând o grupă metil în orto. Ca urmare s-a obținut cu răndamente bune ureile corespunzătoare punând să reacționeze 2 moli de toluilendiizocianat cu un mol de apă:



Reacția diizocianatilor alifatici cu apă a fost utilizată pentru a prepara poliucrei în cazul în care grupările izocianat au fost separate de mai mult de patru grupări metilenice. Pe de altă parte, etilendiizocianatul reacționând cu apă dă o uree ciclică cu o conversie cantitativă, trimetilendiizocianatul dă un amestec 75:25 de uree ciclică și polimer. S-a reușit prepararea unei urei ciclice conținând de la 4 la 16 grupări metilenice, din diizocianatii corespunzători și apă, utilizând tehnica soluțiilor foarte diluate /3/.



Reacția izocianatilor cu apă este sensibilă la polaritatea solventului în care are loc. Creșterea polarității mediului favorizează procesul, dacă solvatarea specifică a reactantilor cu solventul duce la formarea complexelor donor-acceptor și legăturilor de hidrogen. După cum se vede din Tabă 4, vîteza hidrolizei crește de la dioxan ($D=2,2$) la tetrahidrofură ($D=7,4$). Creșterea vitezei de hidroliză la adăugarea de heptan în dioxan este rezultatul scăderii solvatării specifice a reactantilor.

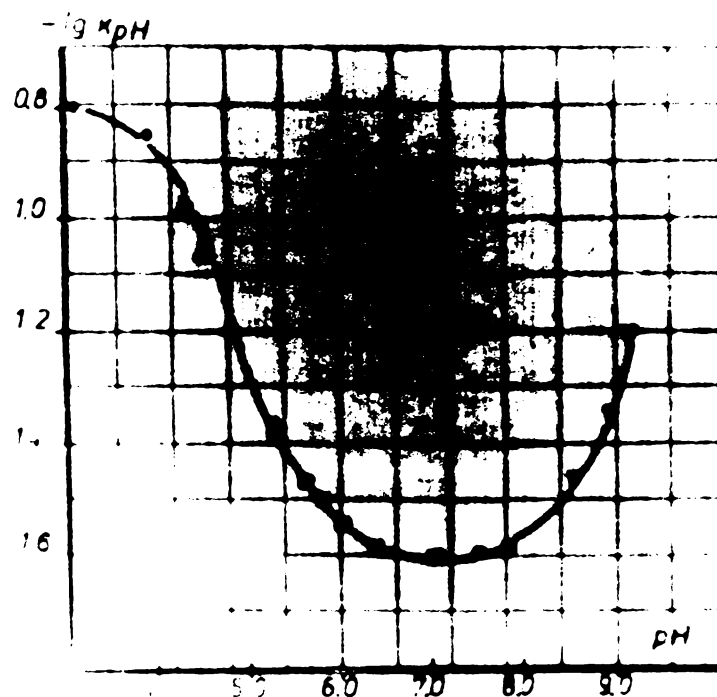
Tabel 4 Viteza hidrolizei fenilizocianatului în amestecul dioxanului cu diferiți solvenți /16/

Solvent	Fracția molară a celui de al doilea component al solventului	Concen- trăția H_2O mol/l	k_{H_2O} sec ⁻¹
Dioxan + dicloroeten	- 0,315	1,35 1,35	0,95 1,13
Dioxan + heptan	- 0,200	1,60 1,58	1,44 2,10
Dioxan + tetrahidrofuran	- 1,00	1,43 1,43	1,15 3,50

Pentru a obține informații suplimentare privind hidroliza izocianatilor s-a studiat efectul izotopic cinetic k_H/k_D asupra reacției fenilizocianatului respectiv metilizocianatului cu D_2O respectiv H_2O în soluție de dioxan /16/. Efectele izotopice cincnice în ambele reacții sunt identice și rămân constante între 0,5 și 1,6 în gama largă de concentrații de H_2O (D_2O). Această situație demonstrează că efectul izotopic este un efect izotopic primar.

S-a studiat de asemenea dependența hidrolizei izocianatilor de pH. S-a obținut curba din Fig.5 din care se poate vedea că atât pH-ul acid cât și cel bazic favorizează reacția /18/.

Fig.5 Hidroliza p-dimetilaminofenilizocianatului la $25^\circ C$ și tările ionice $0,1M$; \circ HCl; Δ tampon acetat; \square tampon fosfat; \diamond tampon borat /18/.



4 -

Modelul teoretic care poate explica acest profil al curbei constă din trei reacții parallele, fiecare dintre ele fiind de ordinul unu față de izocianatul neprotonat. Primul este independent de pH, al doilea este de ordinul unu față de H_3O^+ , iar al treilea de ordinul unu față de OH^- . Modelul are următoarea formă /18/:

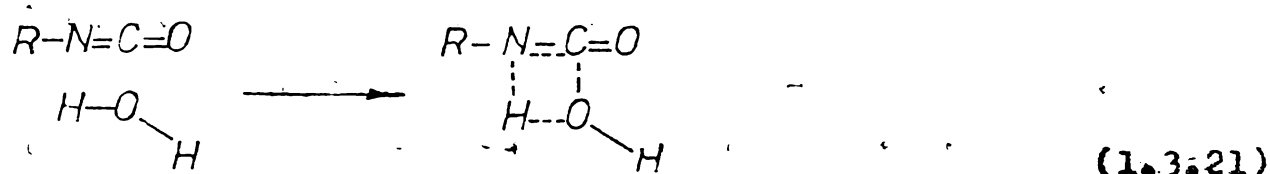
$$k_{pH} = (k_1 + k_2 10^{-pH} + k_3 K_w 10^{pH}) (1 + K_1^{-1} 10^{-pH})^{-1} \quad (1,3,38)$$

unde k_1 , k_2 , k_3 sunt constantele de viteză ale celor trei reacții; K_1 - constanta de disociere acidă pentru izocianatul protonat; K_w - produsul ionic al apei.

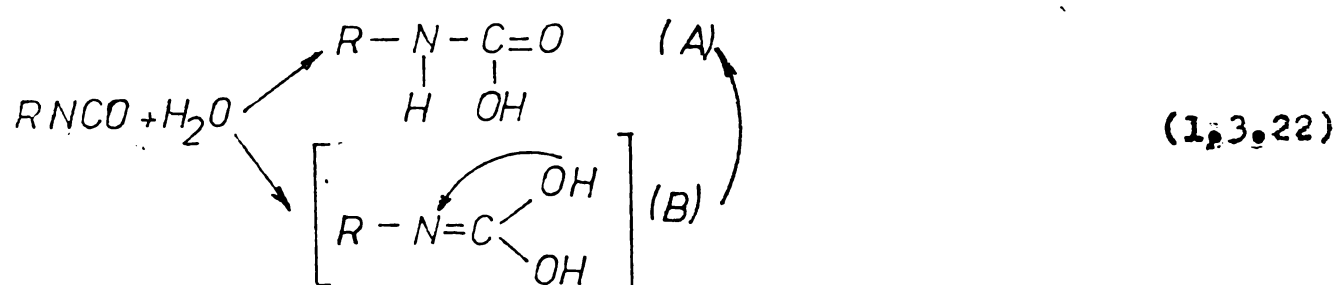
Valorile calculate și găsite experimental pentru k_{pH} se coreleză bine, ceea ce dovedește validitatea mecanismului propus.

Tiger și colaboratorii /16,19/ au studiat de asemenea hidroliza izocianatilor în funcție de pH, ajungînd la următoarele concluzii: Hidroliza izocianatilor este catalizată de acizi tari. Experiențele au arătat că accelerarea hidrolizei în prezență acidului nu este rezultatul creșterii tărziei ienice a soluției, ceea ce a fost dovedit prin studii cinetice cu $LiClO_4$.

În baza rezultatelor lor, /16,19/ autorii propun un mecanism de adiție, etapa lentă avînd loc printre-un intermediu de patru centri:



În urma reacției de adiție pot rezulta două produse, A și B, cel de-al doilea tautomerizîndu-se rapid în primul:



Acest mecanism este confirmat și de efectele izotopice $k_H/k_D = 1,5-1,6$ obținute la hidroliza neutră a izocianatilor.

În cataliză acidă constanta de viteză a hidrolizei metilizocianatului este proporțională cu capacitatea de protonare a mediului exprimată prin funcția H_o (Fig.6) /16/, ceea ce demonstrează protonarea izocianatului într-un preechilibru rapid.

După cum rezultă din diagramele de repartitie a sarcinilor la metilizocianat și fenilizocianat calculate prin metoda orbite- lilor moleculare, protonarea poate avea loc la atomul de oxigen sau azot.

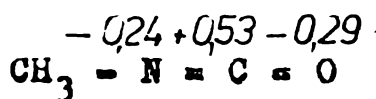
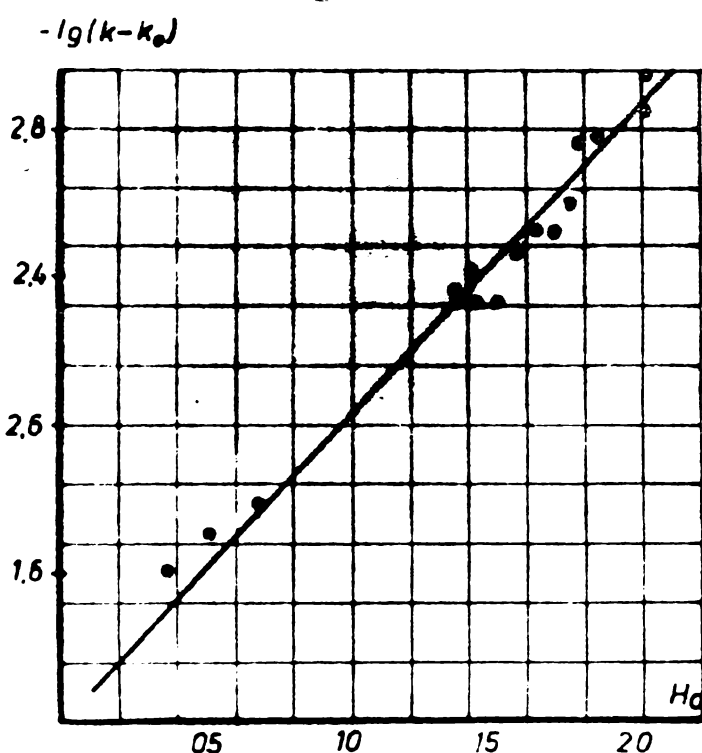
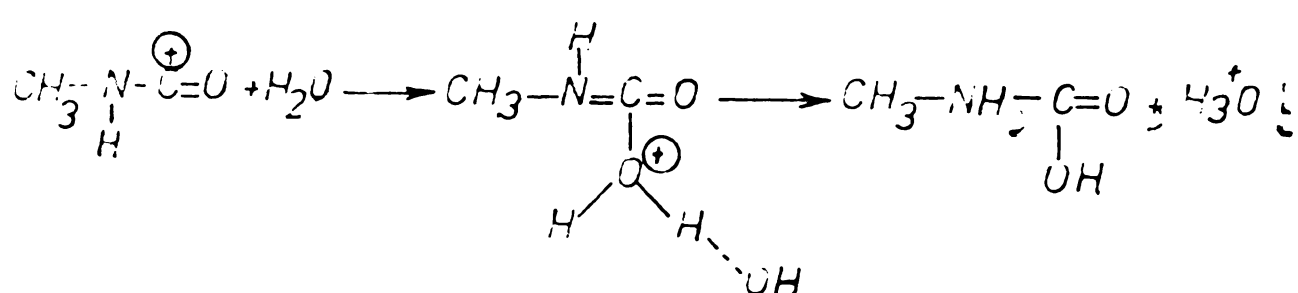
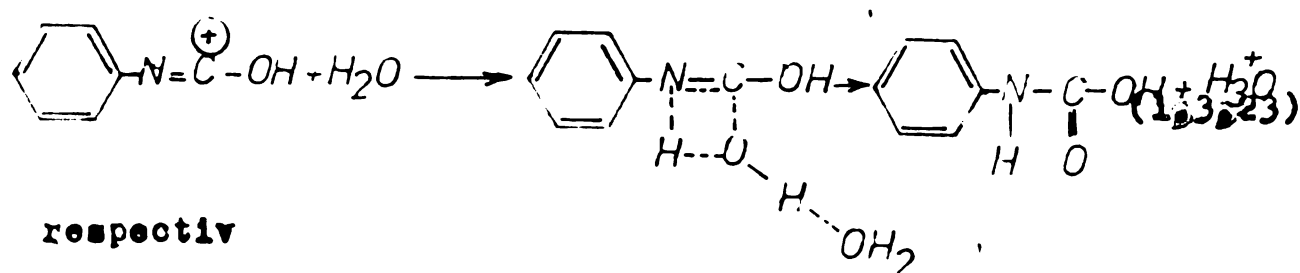


Fig. 6 Dependența constantei de viteză catalitică a hidrolizei metilizocianatului în prezență de HClO_4 , de aciditatea mediului/16/



In cazul metilizocianatului protonarea pare mai probabilă la szot pe cind la fenilizocianat la oxigen, date fiind valorile relative ale densităților de sarcină. Cele două forme astfel protonate reacționează în continuare după părerea autorilor după două mecanisme distincte:

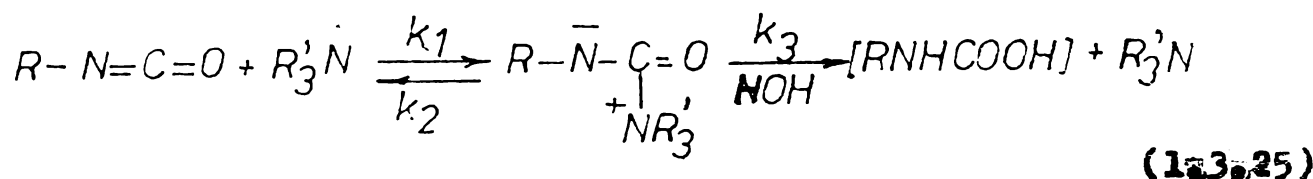


In cazul hidrolizei fenilizocianatului protonarea avind loc la atomul de oxigen, etapa lenta presupune o stare de tranziție de patru centri cu transfer de protoni în etapa lenta. In acest caz este de așteptat un efect izotopic primar similar cu cel pentru hidroliza în absență acizilor, confirmat de datele experimentale: în cataliză acidă $k_H/k_D = 1,36$ față de procesul necatalizat $k_H/k_D = 1,5-1,6$. In cazul hidrolizei acide a metilizocianatului lipsește efectul izotopic primar, apărând un efect izotopic secundar subunitar de $k_H/k_D = 0,61$.

Reacția izocianatilor cu apa este catalizată de o serie de compuși cu caracter nucleofil, în special de aminele terțiare și în mod deosebit de diazabiciclooctan /2e/, precum și de compuși organometalici. Deoarece reacția izocianatilor cu apa este de o deosebită însemnatate în industria poliuretanilor, s-a făcut o serie de studii privind mecanismul și cinetica diizocianatelor.

Pe baza datelor experimentale s-a ajuns la concluzia că reacția teluirlendiizocianatului cu apa este de ordinul unu față de izocianat și de ordinul doi față de apă, iar reacția catalizată de diazabiciclooctan este de ordinul unu față de aceasta /21/.

Schema reacției se poate scrie prin analogie cu reacția cu alcoolii astfel:



Pernind de la premiza stării staționare și considerind intermediul X instabil, se ajunge la relația:

$$\nu_3 = \frac{k_3 k_1 [RNCO] [R_3'N]}{k_2 + k_3 H_2O} \rightarrow H_2O \quad (183_{239})$$

Mărimea constantei de viteză de ordinul doi este:

$$k_{II} = \frac{k_1 k_3 [R_3'N]}{k_2 + k_3 H_2O} \quad (183_{240})$$

sau sub altă formă:

$$\frac{[R_3'N]}{k_{II}} = \frac{k_2}{k_3 k_1} + \frac{[H_2O]}{k_1} \quad (183_{241})$$

Relația de mai sus se verifică experimental în cazul hidrolyzei teluilendiizocianatului în soluție apă - dioxan în prezența diacetabiciclooctanului și octastului stanoz.

În sisteme în care apa și izocianatul nu sunt solubile reciproc, reacția poate fi lentă din cauza solibilității mici a apai în izocianat.

1.4. Factorii care determină reacția izocianatilor cu apa și alcoolii.

1.4.1. Structura compusului hidroxilic

Structura alcooolului influențează viteza reacției cu izocianatii. Constantele de viteză pentru reacția necatalizată și catalizată de trietilamină a unor alcooli diferiți sunt prezentate în Tab. 5 /3/.

Tab. 5 Reacția fenilizocianatului cu alcooli în dibutileter /3/

Alcool	$k_o \cdot 10^4 \text{ l/mol} \cdot \text{sec}$		E_a kcal/mol	$k_{\text{exp}} \cdot 10^4 \text{ l/mol} \cdot \text{sec}$		E_a kcal/mol
	20°C	30°C		20°C	30°C	
Metilic	0,28	0,48	10,0	34	46,5	5
Etilic	0,48	0,85	11,0	12,7	20	7,85
Izopropilic	0,23	0,40	10,0	0,95	1,87	13
tert-Butilic	0,008	0,013	-	0,015	0,207	13

k_o - constantă de viteză a reacției necatalizate; k_{exp} - constantă de viteză a reacției catalizate de trietilamină

Se observă scăderea constantei de viteză atât catalizat cât și necatalizat cu creșterea împiedecării sterice. Energiile de activare mari de 13 kcal/mol pentru reacția catalizată a izopropanolului și tert-butanolului sunt valori discutabile deoarece pare puțin probabil ca energiile de activare de la reacția catalizată să le depășească pe cele ale reacției necatalizate.

Desăvârșirea în industria poliuretanilor se felesesc poliooli cu grupări OH de diferite nături este important studiul reactivității speciilor grupărilor hidroxilice primare și secundare, pentru a obține o imagine clară a reactivității poliester-respectiv poli-eterpoliooli.

Prin studiul unor poliester-poliooli cu mase cuprinse între 2000 - 5000 /22/ (Tab.6), s-au desprins următoarele concluzii:

a) viteză de reacție a grupelor hidroxil din glicolii poli-(oxietilenici), HO-(CH₂CH₂-O)_n-H cu fenilizocianatul în dioxan este independentă de lungimea lanțului oligomerului;

b) s-a dovedit că reactivitatea grupei hidroxil secundare este constantă atât la reacția de esterificare cu acidul acetic cât și de adiție la fenilizocianat.

Tab.6 prezintă rezultatele obținute pentru valerile extrepolate ale constantelor de viteză pentru hidroxilii secundari și unor poliester-poliooli.

Tab.6 Constantele de viteză ale reacției grupărilor hidroxilice secundare k x 10² [l/mol·min] /22/ Re?

Alcool	Greutatea moleculară moleculară poliol	PhNCO reacționează la 25°C catalizat de Sn(Oc) ₂	DBTDL	DABCO
2-Propanol	5,07	2,33	0,918	
2-Butanol	5,64	2,15	0,870	
Poliool NIAK PPG-2025	2010	6,41	2,85	0,528
Poliool NIAK LG-56	2890	6,60	2,28	0,529
Voranol CP 3000	2940	6,76		0,521
Actol 31-56	3040	6,43		0,534
Poly-G 4031 PG	3820	6,27		0,539
Poliool NIAK LC-45	3950	6,85	2,63	0,537
Pluracol TPE 4542	4700	6,37		0,530
Poliester-poliool	2000 - 5000	6,53 ± 0,22	2,59 ± 0,29	0,531 ± 0,007

Sn(Oc)₂ - diclorat stanos

DBTDL - dibutildilaurat de staniu

DABCO - diazabiciclooctan

În Tab.7 sunt prezentate comparativ reactivitățile grupelor hidroxilice primare și secundare. Cercetând aceste valori se poate observa o deosebire însemnată între reactivitățile grupelor hidroxilice primare și secundare. Din datele prezentate reiese că valorile constantelor de viteză pentru grupele hidroxilice primare sunt similare în compusii studiați, concluzie valabilă și pentru grupele hidroxilice secundare.

Tab.7 Constantele de viteză a grupelor hidroxilice primare și secundare cu fenilizocianatul la 25°C /22/

F. Willeboord 1970.

Nr, crt,	Alcool	$k \times 10^2$ 1/mol ² min
1,	$\text{HOCH}_2\text{CH}_2\text{OCH}_3$	2-metoxietanol
2,	$\text{HOCH}_2\text{CH}(\text{CH}_3)\text{OCH}_3$	2-metoxipropanol
5,	$\text{HOCH}(\text{CH}_3)\text{CH}_2\text{OCH}_3$	metoxi-2-propanol
3,	$\text{HOCH}_2\text{CH}_2\text{OCH}_2\text{CH}_2\text{OH}$	distilenglicol
6,	$\text{HOCH}(\text{CH}_3)\text{CH}_2\text{OCH}_2\text{CH}(\text{CH}_3)\text{OH}$	dipropilenglicol
4,	$\text{HOCH}_2\text{CH}(\text{CH}_3)\text{OCH}_2\text{CH}(\text{CH}_3)\text{OCH}_3$	dipropilenglicol
7,	$\text{HOCH}(\text{CH}_3)\text{CH}_2\text{OCH}_2\text{CH}(\text{CH}_3)\text{OCH}_3$	monometileter

1,2,3,4 - alcooli primari; 5,6,7 - alcooli secundari

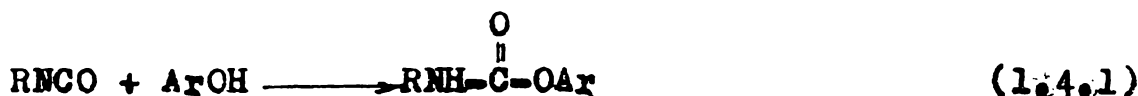
Sau determinat de asemenea constantele de viteză ale grupelor hidroxilice primare și secundare la o serie de pelieli comerciali, rezultatele fiind prezentate în Tab.8.

Tablă 8 Valurile constantelor de viteză extrapolate a grupelor hidroxilice primare și secundare din cîțiva poliester și poliesterpoliooli pentru reacția cu fenilizocianatul catalizat de $\text{e},2\text{co meli/l diisobabicloocten}$ /22/

Produs de reacție	Gruparea hidroxil primară	Gruparea hidroxil secundară	$\text{kxlo}^2 \text{l/mol}$	
			hidroxil primar	hidroxil secundar
propilenglicol + etilenoxid + propilenoxid	hidroxietil	2-hidroxi-propil	2,46	0,531
glicerină+etilen-oxid+propilen-oxid	hidroxietil	2-hidroxi-propil	2,46	0,531
dietilentriamină+ etilenoxid + propilenoxid	-	2-hidroxi-propil	-	0,588
sorbitol + etilen-oxid + propilenoxid	-	2-hidroxi-propil	-	0,517
sucroză+etilen-oxid + propilenoxid	hidroxietil	2-hidroxi-propil	2,2	0,50
dipropilenglicol + -caprolactonă	6-hidroxi-hexanoil	2-hidroxi-propil	1,9	0,53
glicerină + -caprolactonă	6-hidroxi-hexanoil	2-hidroxi-propil	2,0	0,53
glicerină + -caprolactonă și -metil- caprolactonă	6-hidroxi-hexanoil	6-hidroxi-6-metil-hexanoil	2,0	0,32

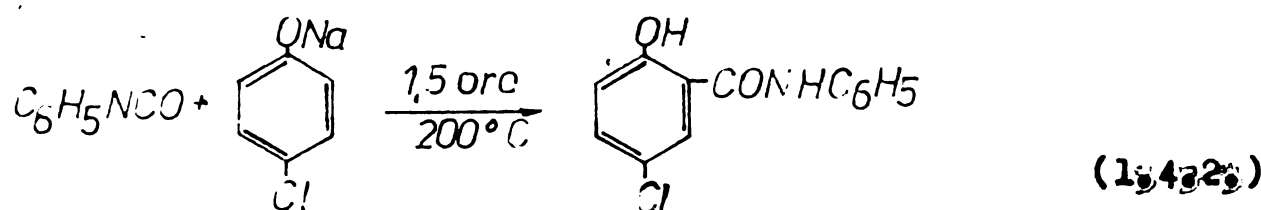
In baza cercetărilor efectuate, autorii /22/ conchid că lungimea catenei poliolului sau poliesterului nu afectează sensibil viteza de reacție. Aceasta din urmă depinde numai de efectele sterice din imediata proximitate a grupării hidroxilice. Se pare totuși că poliesterii au o reactivitate ceva mai redusă decit poliesterii.

Un caz aparte al reacției izocianatilor cu alcoolii îl reprezintă reacția cu fenoli. Fenoli fiind mai acizi decît alcoolii alifatici reacționează mult mai încet cu izocianatii decît alcoolii. Reacția majorității izocianatilor cu fenoli este atât de înceată la $50 - 70^\circ\text{C}$ încât se utilizează curent catalizatori ca aminele terțiare sau clorura de aluminiu.



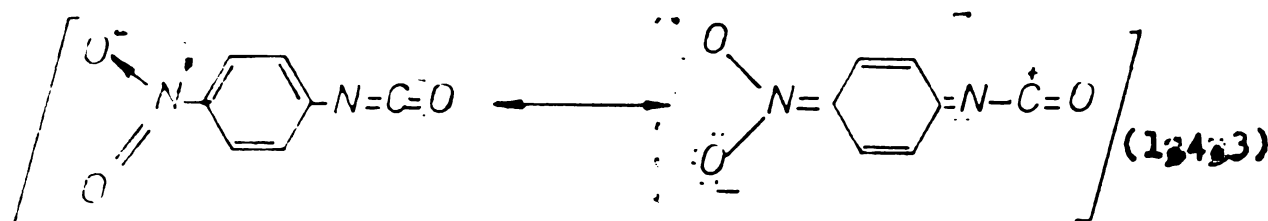
Grupările atrăgătoare de electroni în nucleul fenolic întăresc reacția cu izocianatii, deoarece aceste grupări reduc corespunzător basicitatea hidroxilului. Acidul picric, 2,4,6-trinitrofenolul, prezintă un caz extrem al combinării efectelor sterice a celor două grupări din orto și a efectului celor trei grupări nitro atrăgătoare de electroni. Acest compus nu reacționează cu fenilizocianatul nici la încălzire îndelungată sub presiune.

In condiții extreme de temperatură fenilizocianatul reacționează cu sărurile de sodiu a fenolilor pentru a da o-hidroximide /3/



1.4.3. Structura izocianatului

Efectele electronice ale substituenților asupra reactivității fenilizocianatilor substituiți sunt deosebit de însemnată. Etape determinante de viteză implicând atacul unui donor de electroni asupra carbonului izocianatului demonstrează că substituenții atrăgători de electroni vor facilita reacția. Astfel p-nitrofenilizocianatul prin efectul inductiv și mezomer atrăgător de electroni al grupei nitro este mult mai reactiv decât fenilizocianatul /3/.



Substituenții donori de electroni reduc caracterul pozitiv al atomului de carbon izocianic și astfel micșorează viteză de reacție. În Tab. 9 sunt prezentate câțiva substituenți și efectul lor asupra constantei de viteză a reacției fenilizocianatului substituit.

Tab.9 Efectul substituentilor asupra reactivității monozecianatilor aromatici cu metanol /3/ ($p-R-C_6H_4-NCO$, dibutileter, $20^{\circ}C$, $0,03\text{ M}$ trietilamină, concentrația zincianatului și alcooolului $0,24\text{ M}$)

Constantă	Ciclohexil	CH_3O-	CH_3-	H-	NO_2-
$k_{exp} \cdot 10^{-4}$	0,035	16,5	25	37,7	5000
l/mol·sec					

In Tab.9 se prezintă o serie de date comparative obținute de diferiți autori /23,24,25/ privind reactivitatea relativă față de fenilzecianat a fenilzecianatilor substituiți.

Reacțiile fenilzecianatilor substituiți cu alcooile sunt bine corelate de ecuația lui Hammet. Constanta de reacție ρ este dependentă de natura reactantilor și de condițiile de reacție. Din Tab.11 rezultă însă că valoarea ρ depinde și de natura alcooolului și solventului în care se realizează reacția.

Tab.10 Efectul relativ al substituentelor asupra reactivității fenilzecianatilor substituiți în reacția cu alcooile /3/

Substituent	Reactivitatea relativă în sistemul indicat 2-ethylhexanol, benzen, 28 Bailey /12/ Kaplan /23/	Metanol dibutileter $(C_2H_5)_3N, 20^{\circ}C$ /25/	n-Butanol teluen $(C_2H_5)_3N$ /24/
$p-SO_2$	50	-	-
$p-HO_2$	35	41	130
$m-NO_2$	-	33	-
$m-CF_3$	-	10	-
$m-Cl$	7	7,5	-
$m-Br$	-	7,5	-
$m-NCO$	6	5	-
$p-NCO$	6	4	-
$p-Cl$	-	3,5	-
$p-NHCOOR$	2	1,5	-
$p-C_6H_5$	-	1,5	-
$m-NHCOOR$	2	1,5	-
$m-CH_3O$	-	1,3	-
nesubstituit	1,0	1,0	1,0
$p-n-C_6H_9$	-	0,7	-
$m-CH_3$	0,5	0,6	-
$p-OH$	0,5	0,6	0,5
$p-CH_3O$	-	0,5	0,4
$o-OH$	0,08	-	-
$o-CH_3O$	0,04	-	0,17-0,25

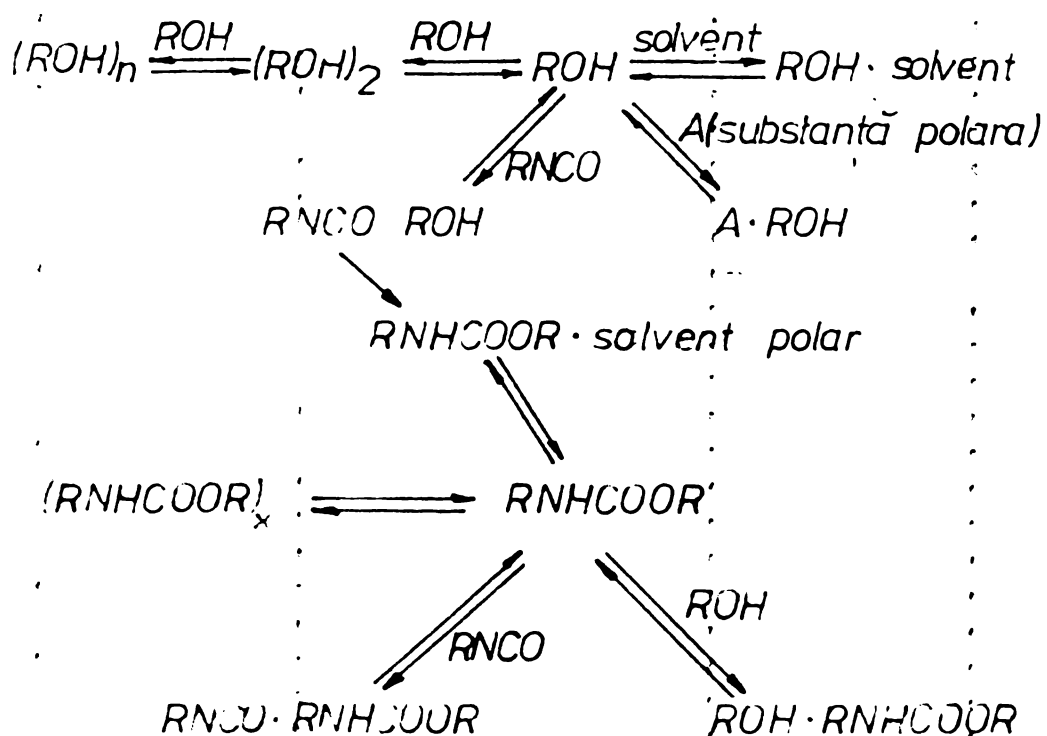
Valorile pozitive ale lui ρ sunt caracteristice reacțiilor favorizate de substituenți atrăgători de electroni.

Tabl. II Varietatea parametrului ρ funcție de natura alcoolului și solventului

Reactant	Condiții	ρ	Literatură
metanol	heptan 25°C	3,3	/7/
	dioxan 25°C	2,6	
i-propanol	heptan 25°C	1,84	/9/
	ciclohexan 25°C	1,86	
CCl_4	25°C	1,77	
	C_6H_6 25°C	1,73	
$\text{C}_6\text{H}_5\text{CH}_3$	25°C	1,73	
	$\text{C}_6\text{H}_5\text{Cl}$ 25°C	1,74	
$1,2 \text{ Cl}_2\text{C}_6\text{H}_4$		25°C: 1,76	

1.4.3. Influenta solventului și a formării legăturilor de hidrogen

Sistemele de reacție ce studiază reacțiile izocianatilor cu alcoolii sunt deosebit de complexe. Din cauza multitudinii de posibilități de interacționare a tuturor moleculelor din sistem este deosebit de importantă stabilirea influenței fiecăruiia asupra mersului reacției. Interacțiunile ce pot avea loc în aceste sisteme se pot ilustra prin următoarea schemă /10, 44/



Reacția izocianatilor cu alcoolii se desfășoară după modelul kinetic de ordinul 2. Mulți cercetători consideră că deviațiile observate respectiv schimbarea ordinului de reacție față de alcohol se explică prin formarea complexelor cu diferite specii de molecule din sistem inclusiv moleculele de alcohol. Studiindu-se influența autoasociatiei alcoolului asupra reacției sale cu izocianatul s-au obținut datele din Tablă 12. S-a studiat reacția fenilizocianatului cu alcoholul etilic în heptan la 50°C /26/. Datele arată că în intervalul de concentrații studiat nu are loc variația constantei dielectrice a mediului spre deosebire de conținutul de monomer (α) și autoasociat ($1-\alpha$).

Dacă se presupune că posibilitatea de reacționare a tuturor grupelor OH în autoasociat este asemănătoare și nu depinde de gradul de asociere a alcoolului se poate scrie următoarea expresie pentru constanta de viteză studiată:

$$k_{\text{exp}} = k_M [\text{ROH}]_M + k_{\text{as}} [\text{ROH}]_{\text{as}} \quad (1.4.1)$$

Tabel 12 Date cinetice ale reacției PhNCO cu EtOH în heptan la 50°C /26/.

ROH %	$10^3 k \text{ sec}^{-1}$	$10^3 k_{\text{eff}} \text{ l/mol sec}$	α	$1-\alpha$
0,072	0,031	0,43	0,89	0,11
0,13	0,06	0,46	0,80	0,20
0,15	0,10	0,67	0,74	0,26
0,15	0,09	0,60	0,74	0,26
0,18	0,15	0,82	0,70	0,30
0,19	0,17	0,93	0,68	0,32
0,22	0,16	0,73	0,66	0,34
0,23	0,21	0,91	0,64	0,36
0,25	0,30	1,18	0,61	0,39
0,26	0,31	1,21	0,60	0,40
0,26	0,30	1,15	0,60	0,40
0,30	0,34	1,13	0,57	0,43
0,31	0,38	1,23	0,56	0,44
0,36	0,41	1,13	0,51	0,49
0,37	0,44	1,19	0,50	0,50
0,43	0,59	1,36	0,46	0,54
0,44	0,63	1,43	0,46	0,54
0,50	0,75	1,50	0,44	0,56
0,51	0,66	1,30	0,43	0,57
0,52	0,72	1,38	0,43	0,57
0,59	0,87	1,47	0,41	0,59
0,61	0,84	1,37	0,40	0,60
0,64	0,86	1,35	0,39	0,61
0,76	1,13	1,49	0,36	0,64
0,90	1,36	1,51	0,33	0,67
1,02	1,59	1,56	0,31	0,69
1,05	1,50	1,43	0,31	0,69
1,05	1,54	1,46	0,31	0,64

$[ROH]_M$, $[ROH]_{as}$ - alcool monomer și autoassociat; α = grad mediu de asociere care caracterizează numărul centrilor de reacție ai asociatului

Din ecuația bilanțului alcoolului:

$$[ROH]_o = [ROH]_M + \alpha [ROH]_{as} \quad (1.4.2)$$

Fracția moleculelor asociate din sistem:

$$\frac{[ROH]_{as}}{[ROH]_M} = \frac{1-\alpha}{\alpha} \quad (1.4.3)$$

unde $\alpha = \frac{[ROH]_M}{[ROH]_o}$ (1.4.4)

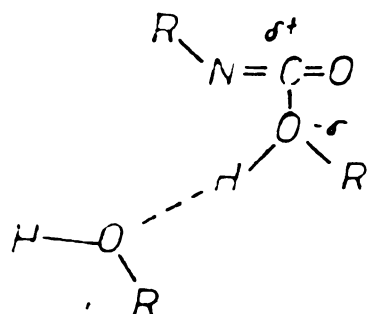
Deci constanta de viteză efectivă de ordinul doi se poate scrie sub forma:

$$k_{of} = \frac{k_{exp}}{[ROH]_o} = k_M^\alpha + k_{as} (1-\alpha) \quad (1.4.5)$$

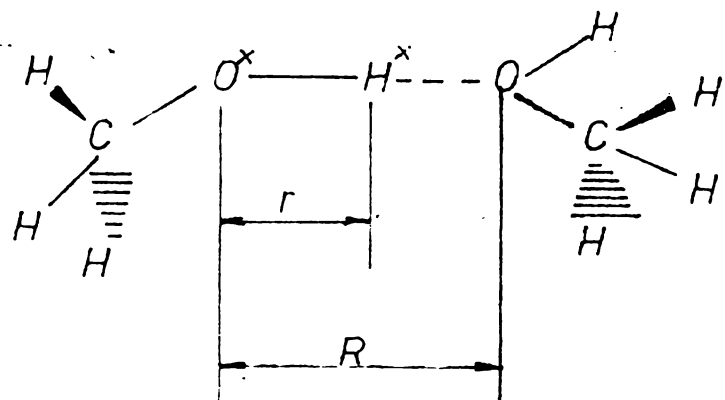
$$k_{of} = k_M + (k_{as} - k_M)(1-\alpha) \quad (1.4.6)$$

Datele experimentale corespund bine cu aceste ecuații. Întrucit în etapa lentoare locul nucleofil al unei molecule de alcool la izocianat, moleculele de alcool asociate prin legături de proton își păstrează capacitatea de reacție. Moleculele implicate în legături de hidrogen în calitate de donori de prototni au o densitate mare de electroni la atomul de oxigen deci o reactivitate mare de desemnează față de izocianat.

Metoda "Extended Hückel" aplicată la alcoolul metilic asociat a dus la următoarele rezultate:



In calculul s-a utilizat modelul linear al asociatului metanolului în care atomii O^x , H^x și O sunt situați pe aceeași dreaptă /26/.



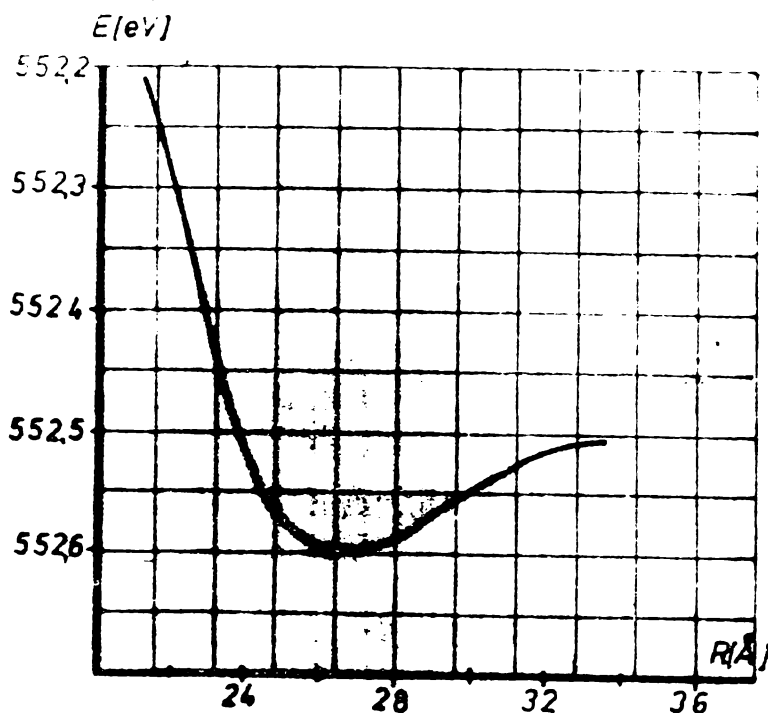
P arametrii structurale ai moleculei de metanol s-au ales conform datelor din literatură /27/3. Distanța O^X-O (R) în complex s-a variat de la 3,2 la 1,8 Å, lungimea legăturii O^X-H^X(r) de la 0,956 la 1,05 Å. Elementele diagonale ale matricei hamiltonianului s-au luat egale cu potențialele verticale de ionizare a atomilor în stările de valență corespunzătoare: H(1s) = 13,6 eV; C(2s) = 21,4 eV; C(2p) = 11,4 eV; O(2s) = 32,2 eV; O(2p) = 16,5 eV; Exponenții orbitalilor atomici a atomilor H, C și O s-au luat egali cu 1,2; 1,625 și 2,275. Elementele nediagonale ale matricei hamiltonianului (H_{ij}) s-au calculat cu aproximarea Völfsberg - Helmholtz /28/.

$$H_{ij} = \frac{1}{2} K S_{ij} (H_{ij} - H_{jj}) \quad (1945.7)$$

S_{ij} - integralele de acoperire a orbitalilor atomici, iar K s-a luat egal cu 1,75.

In fig.7 este ilustrată dependența energiei totale a sistemului constituit din 2 moli de alcool ca funcție de distanța O^X - O în complexul de asociere la o lungime de legătură O^X-H^X egală cu 1,05 Å (10% prelungită față de lungimea legăturii respective din monomer). Minimul de energie corespunzător configurației celei mai stabile a complexului se observă la R = 2,6 Å, ceea ce corespunde cu datele existente și cu reprezentările referitoare la construcția complexelor cu legătură de hidrogen.

Fig. 7 Dependența energiei totale a electronilor dimerului liniar de metanol de distanța R dintre atomii de oxigen la $r = 1,05 \text{ \AA}$ /26/



Energia legăturii de hidrogen în modelul de dimer dat ($R = 2,6 \text{ \AA}$, $r = 1,05 \text{ \AA}$) este aproximativ 2,3 kcal/mol. În intervalul distanțelor R , r studiat nu se observă minimul de energie după coordonata r ceea ce este caracteristic pentru calculele sistemelor asemănătoare. Prin creșterea stabilității complexului în urma formării legăturii de hidrogen ce are loc ca urmare a apropierea a două molecule de alcool, se observă o creștere esențială a densității electronice la atomul de oxigen O^X . Aceasta are loc ca urmare a "trecerii" sarcinii din atomul de oxigen la celci de a două molecule de alcool. Densitatea de electroni de la atomul de hidrogen variază de asemenea. Pe măsură ce se apropie două molecule de alcool, sarcina pozitivă la atomul H^X crește. În intervalul $R = 3,2 - 2,2 \text{ \AA}$ se observă creșterea sarcinii pozitive la atomul de H^X la prelungirea legăturii O^X-H^X .

În reacțiile studiate mărirea fracției de sarcină negativă la atomul de oxigen alcoolic care atacă reactantul electrofil trebuie să favorizeze desfășurarea reacției. Creșterea sarcinii pozitive la atomul de hidrogen al grupei OH este de asemenea un factor pozitiv. La formarea urecanului din izocianat și alcool acesta duce la scindarea mai ușoară a legăturii oxigen - hidrogen.

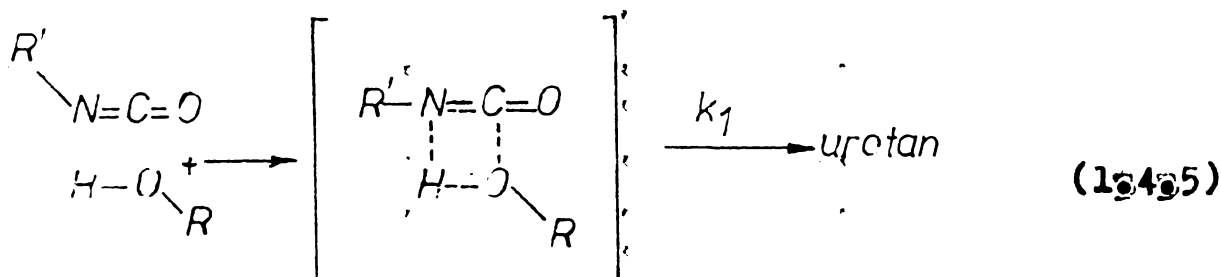
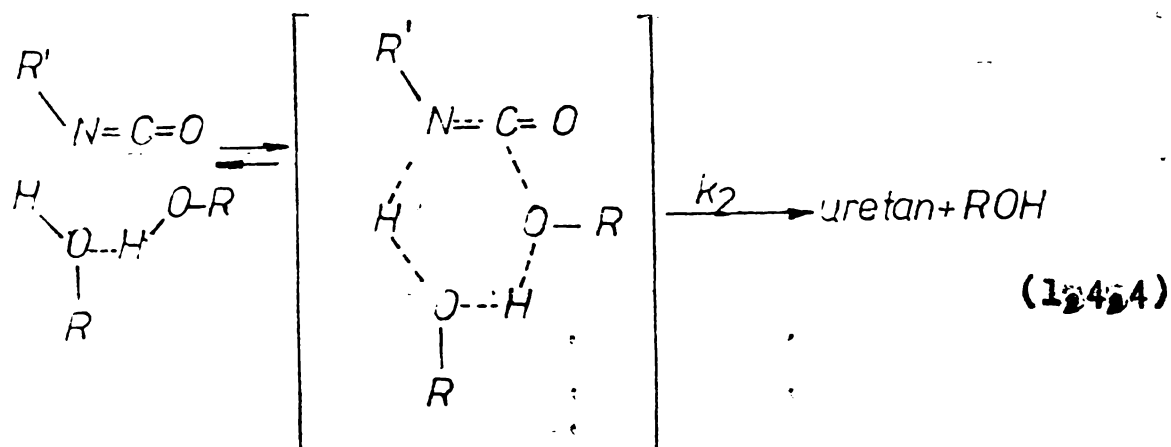
Kolodyazhnyi /29/ obține o serie de date care sprijină cele prezentate anterior. Pe baza rezultatelor obținute s-a ajuns la concluzia că reacția fosforizocianatilor cu butanolul prezintă o cinetică de ordinul unu față de izocianat, iar ordinul reacției față de alcool tinde către unu cu creșterea temperaturii. Dependența observată poate fi explicată dacă este luată în considerare asocierile alcoolilor, care scade de asemenea cu creșterea temperaturii. Se poate astfel calcula constanta de asociere a alcoolului k iar din dependența sa de temperatură se poate determina energia legăturilor de hidrogen dintre moleculele de $n\text{-C}_4\text{H}_9\text{OH}$ în dimer egală cu 6 kcal/mol. Această valoare corespunde energiei legăturii de hidrogen a $n\text{-C}_4\text{H}_9\text{OH}$ obținută prin metoda spectroscopică IR în CCl_4 /30/.

Parametrii aparenti de activare a acestor reacții sunt cuprinși în Tab. 13.

Tab. 13 Parametrii aparenti de activare a reacției fosforizocianatilor cu butanolul /30/

	Butanol asociat dimer	ΔH^\ddagger kcal/mol	ΔS^\ddagger cal/mol°K	butanol liber	ΔH^\ddagger kcal/mol	ΔS^\ddagger cal/mol°K
$\text{CH}_3\text{O} \begin{array}{c} \diagdown \\ \diagup \\ \text{S} \\ \parallel \\ \text{P-NCO} \end{array} \text{C}_6\text{H}_5\text{O}$	5	-48,2		12,2	-31,2	
$\text{C}_6\text{H}_5\text{O} \begin{array}{c} \diagdown \\ \diagup \\ \text{S} \\ \parallel \\ \text{P-NCO} \end{array} \text{C}_6\text{H}_5\text{O}$	4	-49,4		11,8	-32,2	

Scăderea energiei de activare la interacțiunea izocianatului cu moleculele asociate este considerată de autori ca legată de avantajele energetice de desfășurare a reacției prin starea de tranziție ciclică de găse centric. O energie de activare mai scăzută determină o creștere corespunzătoare a vitezei de reacție.



Bineînțeles că starea de tranziție de șase centri necesită o entropie de activare corespunzător mai scăzută, ceea ce favorizează reacția.

In afară de asocierea prin legături de pretoni mediul de reacție prin polaritatea sa poate afecta în mod considerabil viteza de reacție a izocianatilor cu alcoolii. Spre exemplificare se prezintă datele privind reacția fenilizocianatului cu butanol (Tab. 14).

Cresterea polarității mediului scăde în general viteza de reacție ceea ce corespunde unei stări de tranziție mai puțin polare decât starea inițială.

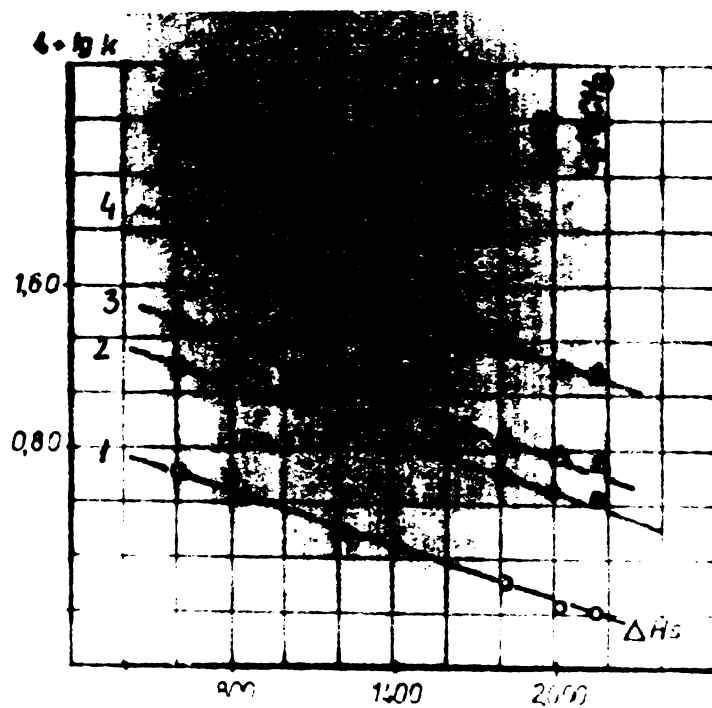
Tabel 14 Constantele aparente de viteza de ordinul doi pentru reacția butanol - fenilizocianat în diferiți solventi la 25°C/31/

Solvent	Constanta dielectrică	BuOH M	PhNCO M	$k_2 \times 10^{-3} M^{-1} min^{-1}$ initial	la o conv. min. de 50%
Ciclohexan	2,02	0,15		39	
n-Heptan	1,93	0,15		39	
		0,35		40	33
		0,80		44	28
Tetrachlorură de carbon	2,24	0,15		18	
		0,80		39	28
m-Xilen	2,37	0,15		11	
		0,80		26	19
Toluen	2,38	0,15		9,2	
		0,80		25	22
Clorbenzen	5,71	0,15		8,0	
Benzen	2,28	0,15		5,8	
		0,80		22	18
Cloroform	4,81	0,15		2,9	
		0,80		18	16
1,2-Dioloretan	10,65	0,15		2,7	
		0,80		17,4	11
Dibutileter	3,08	0,15		2,1	
		0,25		3,7	3,2
		0,50		6,5	4,7
		0,80		9,5	5,8
		1,00		11,5	6,5
		1,20		13,5	7,0
Nitrobenzen	36,1	0,15		1,8	
Metil-etyl cetonă	18,4	0,15		0,33	
		0,80		1,85	1,1
Butilacetat	5,01	0,15		0,26	
		0,80		2,5	2,0
Etilacetat	6,4	0,15		0,18	
		0,80		2,4	1,6
Tetrahidrofuran	8,20	0,15		0,17	
Acetonitril	38,8	0,15		0,15	
		0,80		1,3	1,25
Dioxan	2,21	0,15		0,08	
		0,80		1,0	0,95
Dietilenglicoldimetil-eter		0,80		0,79	0,70

După cum se poate vedea, trecerea de la un solvent inert ne-polar cum este heptanul la dioxan capabil să asocieră prin legături de proton în calitatea să de donor de electroni duce la o scădere esențială a vitezei de reacție. Deoarece constanta dielectrică în acest caz este neschimbată scăderea vitezei de reacție nu poate fi înțeleasă decât dacă admitem că are loc solvatarea specifică a reacționatorilor mai importantă decât cea a stării de tranziție,

La o concluzie identică ajung și Zolotarevskaya și colaboratorii /9/ cercetând corelația constantei de viteză a reacției arilizocianatilor cu alcoolul izopropilic cu entalpia de amestecare a alcoolului /9/.

Fig. 8 Corelația constantei de viteză a reacției arilizocianatilor cu alcoolul izopropilic, cu entalpia de amestecare a alcoolului /9/



1. - PhNCO; 2. - 4-ClPhNCO; 3. - 3-ClPhNCO; 4. - 3,4-Cl₂PhNCO

Formarea legăturilor de hidrogen cu alcoolul ar trebui să ușureze situația nucleofilă al alcoolului la izocianat, deoarece la o astfel de asociere crește bazicitatea atomului de oxigen hidroxilic. Pe de altă parte încetinirea vitezei de reacție (cel studiat în dioxan /7/) trebuie înțeleasă presupunind că atomul

de hidrogen alcoolic, ca urmare a unei astfel de solvatări, se blochează prin solvent. Solvatarea izocianatului de către dioxan are loc prin interacția dintre electronii neparticipanți ai dioxenului și centrul electrofil de la carbonul izocianic.

Din Tabl. 15 reiese că cu cît este mai puternic acceptor de electroni izocianatul cu atit scade mai mult viteza lui de reacție cu alcoolul datorită solvatării sale mai importante. Reportul constantelor de viteză heptan - dioxan crește cu creșterea efectului atrăgător de electroni din nucleul benzenic al izocianatului.

Tabl. 15 Viteza de reacție a fenilizocianatilor substituiți cu metanolul în heptan, dioxan în prezență de dibutildisulfat de staniu la 25°C /7/

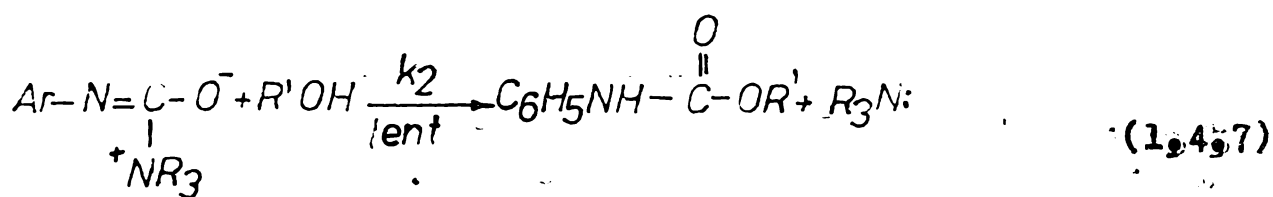
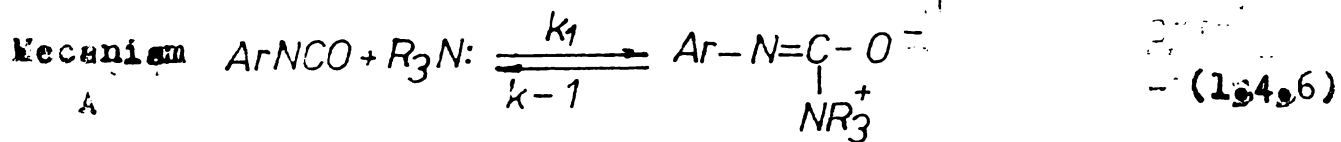
R	necat. R-PhNCO în heptan în dioxan	k_2 heptan dioxan	cata. k_2 dioxan	k_{exp} 1/mol.sec pt/heptan	$\frac{k_2}{k_2^{\text{heptan}}}$ lo^{-4}
-0,07 m-CH ₃	$2,9 \cdot \text{lo}^{-4}$	$1,3 \cdot \text{lo}^{-5}$	22,3	$6,6 \cdot \text{lo}^{-2}$	228,0
0,0 H	$5,4 \cdot \text{lo}^{-4}$	$2,2 \cdot \text{lo}^{-5}$	24,6	$7,4 \cdot \text{lo}^{-2}$	137,0
0,23 p-Cl	$3,6 \cdot \text{lo}^{-3}$	$9,2 \cdot \text{lo}^{-5}$	39,2	$1,2 \cdot \text{lo}^{-3}$	33,3
0,37 m-Cl	$7,6 \cdot \text{lo}^{-3}$	$1,9 \cdot \text{lo}^{-4}$	40,0	$1,5 \cdot \text{lo}^{-3}$	19,8
0,71 m-NO ₂	$9,2 \cdot \text{lo}^{-2}$	$1,9 \cdot \text{lo}^{-3}$	48,3	$2,1 \cdot \text{lo}^{-3}$	2,3
	3,3	2,6	-	0,9	-

Pe de altă parte solvatarea izocianatilor prin solventul S duce la deplasarea densității de electroni în legătura N - C la atomul de azot ceea ce în rândul său poate favoriza interacția electrofilă a acestuia cu protonul alcoolic. În dioxan, solventul asociazindu-se cu protonul alcoolic, și reduce disponibilitatea pentru fixare la azotul izocianic, micșorând de asemenea viteza de reacție.

Reacții catalizate prin amine terțiare

Cea mai însemnată parte a aplicațiilor industriale a izocianatilor utilizează reacțiile catalitice în special la prepararea spumelor poliuretanice. Există o multitudine de compuși care catalizează reacția, însă sunt două clase care se disting prin larga lor utilizare de celelalte compuși. Aceste două clase de compuși sunt aminele terțiare și compusii organici ai staniului.

Mecanismul curent acceptat pentru reacția izocianatilor cu alcoolii catalizat de amine terțiare implică formarea complexului amină - izocianat urmată de reacția complexului cu alcoolul în care se formează uretamul și este regenerat catalizatorul/2,32,33/

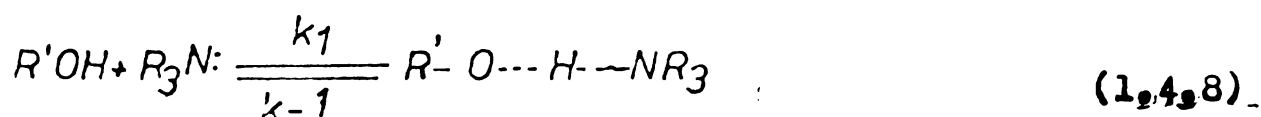


Pe baza acestui mecanism, aplicînd metoda intermediarului instabil referitor la complexul aminei cu izocianatul se poate deduce următoarea ecuație a vitezei de reacție:

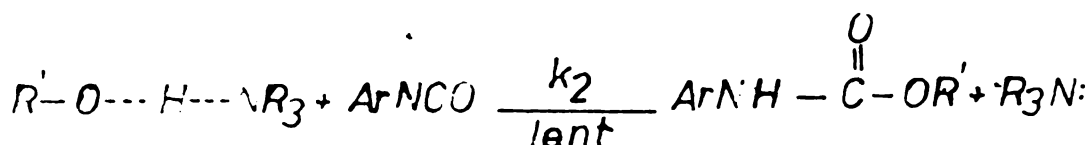
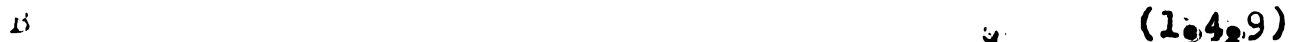
$$v = \frac{k_1 k_2 [ArNCO][R_3N][R'OH]}{k_{-1} + k_2[R'OH]} \quad (1,4,8)$$

Dăsi acceptat de majoritatea autorilor, acest mecanism prezintă și unele deficiențe. Una din deficiențele cele mai serioase este că constanta de viteză k₁ variază cu natura alcoolului cu toate că acest mecanism presupune că viteză de formare a complexului amină - izocianat este independentă de natura alcoolului.

Că alternativă la acest mecanism pentru a explica tocmai influența alcoolului a fost propus mecanismul B. În acest mecanism amina interacționează în prima etapă cu alcoolul:



Mecanism



Prin metoda intermedierului instabil, acceptînd în acest caz drept intermedier asociatul aminei cu alcoolul, se obține o expresie cinetică de același tip cu cea prezentată:

$$v = \frac{k_1 k_2 [ArNCO] [R_2^+ OH] [R_3 N]}{k_{-1} + k_2 [ArNCO]} \quad (1,4,9)$$

Conform lui Burkus /34,35/, mecanismul B nu poate explica reacția izocianatilor cu alcoolii în prezența aminelor terțiare, dar este operativ în reacția izocianatilor cu reactanți mai acizi ca fenoli, tiofenoli sau mercaptanii cu care aminele formează complecși avînd un caracter ienic însennat. Smith și Friedrich /36/ referindu-se la efectul ionizant al aminelor asupra tiolilor explică formarea ticurestanilor la reacția catalizată de amine terțiare între 2-mercaptoetanol și fenilizocianat prin acest mecanism. Similar Iwakura și Okada /37/ postulează un complex amină - tiol ca fiind implicat în mecanismul reacției catalizate de amine terțiare a izocianatilor cu tiolii.

La reacția izocianatilor cu alcooli mecanismul A este preferat de majoritatea autorilor, avînd în vedere efectele sterice la nivelul moleculelor catalizatorilor aminici. Impiedecarea sterice la nivelul aminelor terțiare micșorează considerabil activitatea catalitică a acestora. În fapt efectul steric ar putea fi operativ numai în cazul mecanismului A deoarece mecanismul B implică un simplu transfer de proton care este puțin influențat de factori sterici. Se mai poate adăuga și faptul cunoscut că aminele terțiare favorizează reacția posibilă de trimerizare a izocianatilor care implică fără îndoială un complex amină - izocianat.

Dovezi importante în sprijinul unuia sau altuia dintre mecanisme pot fi aduse de punerea în evidență a complecșilor presupuși prin diferite metode fizice cum ar fi: analize spectroscopice, determinări de masă moleculară.

Pestemer și Lauerer /38/ au considerat că demonstrează existența complecșilor între izocianat și aminele terțiare prin urmărirea procesului prin spectroscopie IR. Dispariția benzii NCO și apariția unor noi benzi au fost puse pe seama formării acestor complecși. Aceste determinări au fost însă verificate de o serie de cercetători /33,39,40/, fără să fie reprodate. Pe baza datelor obținute s-a presupus că Pestemer și Lauerer au obținut modificările respective datorită reacției cu apa existentă în reactanți. Au fost cu ușurință puse în evidență însă combinațiile

rezultate prin asociere prin legături de protoni dintre aminele terțiare și alcooli sau fenoli,

Tab.16 Moduri de vibrație afectate de legătura de hidrogen /41/

Modul de vibrație	Reprezentare	Domeniu cm^{-1}	Atribuire
	$\vec{A} - \vec{H}_{\perp\perp\perp} \vec{B}$	3500-2500	întindere A-H
	$\vec{A} - \vec{H}_{\perp\perp\parallel} \vec{B}$	1700-1000	deformare în plan A-H
	$\vec{A} - \vec{H}_{\perp\parallel\perp} \vec{B}$	900-300	deformare în afara planului
	$\vec{A} - \vec{H}_{\parallel\perp\perp} \vec{B}$	250-100	$H_{\perp\perp\perp} B$ întindere
	$\vec{A} - \vec{H}_{\parallel\perp\parallel} \vec{B}$	sub 200	deformare $H_{\perp\perp\parallel} B$ în plan
	-	sub 200	deformare $H_{\perp\parallel\perp} B$ în afara planului

Pe baza informațiilor aduse de metodele spectroscopice IR și Raman a devenit posibilă calcularea energiilor legăturilor de hidrogen, datele fiind prezentate în Tab.17.

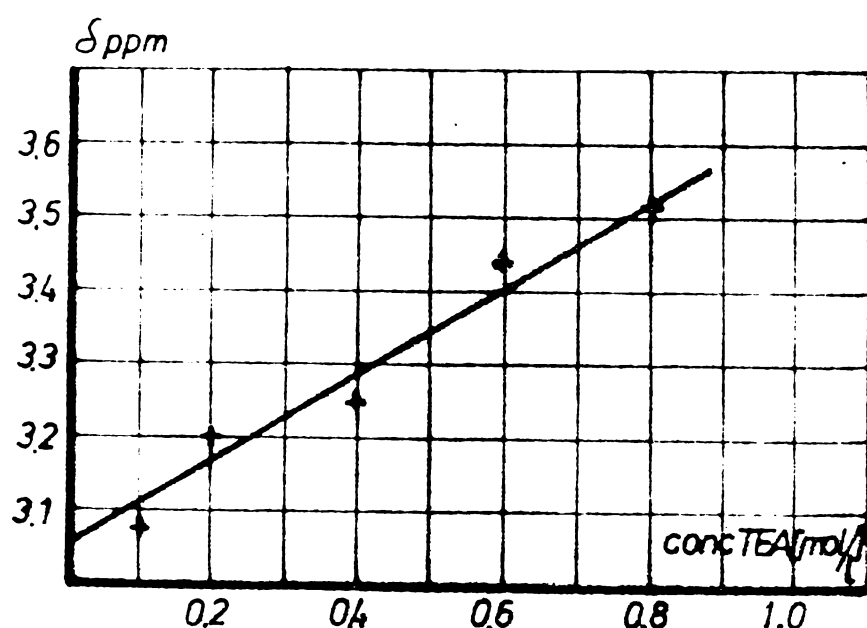
Tab.17 Energia legăturii de hidrogen ($A-H_{\perp\perp\perp} B$) în specii heteroasociate /42/

S-H ₃₃₃ O
SH ₃₃₃ N
SH ₃₃₃ S
CH ₃₃₃ O
CH ₃₃₃ N
NH ₃₃₃ N
NH ₃₃₃ O
NH ₃₃₃ S
NH ₃₃₃ X
OH ₃₃₃ O
OH ₃₃₃ Se
OH ₃₃₃ S
OH ₃₃₃ X
OH ₃₃₃ O
OH ₃₃₃ N

$-\Delta H_{\text{as}}$, kcal/mol

Studiindu-se sistemul trietilemină - 1-metoxi-2-propanol în ciclohexan s-a observat deplasarea la cimpuri mai joase a semnalului O-H cu creșterea concentrației aminei terțiare, ceea ce este o dovadă evidentă a asociatiei între catalizatorul amnic și alcool (Fig.9).

Fig.9 Dependența concentrației pretemului hidrexilic al 1-metoxi-2-propanoului de concentrația trietileminei în ciclohexan /39/



S-a studiat de asemenea posibilitatea de a forma complexe și alcoolului cu catalizatorul combinat, amine terțiare și combinație organo-stanică în sistem fără solvent. Datele sunt prezente în Tab.18 care arată că deviația semnalului în cazul amestecului celor doi catalizatori este mai mare decât a fiecăruiu în parte, ceea ce pare să dovedească efectul sinergetic observat la felosirea amestecului de catalizatori.

Tab.18 Efectul raportului molar trietilamină - dibutildi-laurinat stanic asupra deplasării chimice a protonului hidroxilic din 1-metoxi-2-propenol /39/

Raport molar Alcool/TEA/DBDLSn	δ ppm
5/0/1	4,22
5/1/0	4,44
5/1/1	4,47
10/1/1	4,94

S-au făcut de asemenea eforturi pentru detectarea complexelor ce se formează între catalizator și izocianat, însă prin metoda spectroscopiei RMN nu s-a reușit punerea în evidență a unui asemenea compus.

S-a studiat de asemenea prin spectroscopia de UV maximul de absorție a cromoforului benzenoid în soluție de ciclohexan uscat, dar s-a constatat că nu apare nici o schimbare la adăugarea aminei terțiare, chiar dacă se ajunge la raport aproape echimolecular cu izocianatul. În cazul izocianatilor alifatici s-a studiat cromoforul $-N=C=O$ de la $220-375\text{ }\mu\text{m}$ fără a se detecta vreo schimbare prin adăos de amină terțiară. Pe baza acestor date s-a ajuns la concluzia că nici spectroscopia UV nu permite detectarea complexelor izocianat - catalizator /39/.

Prin metoda crioscopiei s-a reușit detectarea atât a complexelor alcoolului cu amine terțiare cât și a izocianatilor cu aceasta. R,L.Sidney și K,C,Frisch /43/ au utilizat cu succes această metodă obținând rezultate deosebit de valoroase prezentate în Tab.19 și 20.

Din datele Tab.20 se poate observa formarea complexului trietilamină - alcool. Cresterea concentrației aminei la concentrație constantă de alcool reduce excesul de alcool față de amină și prin aceasta cantitatea relativă de amină implicată în complex scade. Este evident că sistemul se comportă ca un echilibru de asociere prin formarea de legături de proton.

Tab.19 Formarea complexului în amestec 1-metoxi-2-propanol-trietilamină determinat prin scăderea punctului de congelare a benzenului /43/

Conc. 1-metoxi- 2-propanol g/l	Conc. TEA g/l	M calculat fără complex (a)	M calculat 100% complex (b)	M experi- mental (c)	% Catalizator în complex $\frac{c-a}{b-a} \times 100$
54,8	0	90	-	121	-
54,8	10,5	120	149	126	20
54,8	29,3	114	192	127	16
54,8	40,3	114	219	128	13

In cazul interacției dintre izocianat și amine concentrația în complex a aminei crește o dată cu concentrația acesteia în soluție chiar dacă izocianatul păstrează o concentrație constantă. Aceasta se explică fără îndoială printr-un proces de echilibru cu o constantă de echilibru mult mai mare decât în cazul precedent.

Tab.20 Formarea complexului fenilizocianat - trietilamină determinat prin scăderea punctului de congelare a benzenului /43/

Conc. PhNCO g/l	Conc. TEA g/l	M calculat fără complex (a)	M calculat 100% complex (b)	M experi- mental (c)	% Catalizator în complex $\frac{c-a}{b-a} \times 100$
61,9	0	119	-	119	-
61,9	8,9	116	132	120	25
61,9	18,8	113	156	122	21
61,9	27,7	112	172	132	33

Informații deosebit de importante se pot obține având în vedere activitatea catalizatorilor funcție de bazicitatea lor respectiv încărcarea lor sterică. După cum a fost arătat într-o serie de lucrări /5, 32, 33/, activitatea catalizatorilor amine terțiare cu aceeași încărcare sterică este proporțională cu bazicitatea lor.

In Tab.21 se dau pentru comparație activitatea catalitică și bazicitatea cîterva amine terțiare. După cum reiese din acest tabel, pentru aceeași bazicitate exprimată prin valori apropiate

seu egală de pK_a , activitatea catalitică a aminei poate fi foarte diferențiată. Aminele terțiare cu încărcare sterică mai mare cînt corepunzător mai reactive față de cele cu o încărcare sterică mai mică. Pentru o încărcare sterică similară, activitatea catalitică crește cu bazicitatea aminei după cum era de așteptat. Importanța efectului steric în activitatea aminei justifică mai degrabă un mecanism de tip A față de cel de tip B.

Se poate presupune că atacul nucleofil al aminei la izocianat este afectat de încărcarea sterică la nivelul azotului aminei terțiare.

Flynn /44/ este de părere că factorii sterici nu joacă un rol în formarea complexului izocianat - amină, ci la apropierea moleculei de alcool de acest complex în a doua etapă a reacției.

Tab.21 Activitatea catalitică a unor amine terțiare în reacția fenilizocianatului cu 1-butanol în toluen la 39°C /5/

Catalizator	pK_a	Activitate catalitică
Acetat de etilmorfolină	5,2	0,21
Dimorfolinometan	7,4	0,075
N-Metilmorfolină	7,41	1,00
N-Etilmorfolină	7,70	0,68
Bis-(2-dietilaminostil)adipat	8,60	1,00
1,2-Dimetilimidazol	8,60	13,9
N,N-Dimetilciclohexilamină	8,80	1,92
N,N,N',N'-Pentametildictilendiamină	9,40	3,47
N-Metildiciclohexilamină	9,60	0,16
N-Metil-N-dodecilciclohexilamină	9,80	2,00
N,N,N',N'-Tetrametil-1,3-propandiamină	9,80	4,15
N-Metil-N-octilciclohexilamină	10,00	0,70
N-Metilpiperidină	10,08	6,00
N,N-Dietilciclohexilamină	10,10	6,00
N,N,N',N'-Tetraetilmetandiamină	10,60	0,085
Trietilamină	10,65	3,32
N-Metil-N-(2-ethylhexil)-ciclohexilamină	-	1,90
N-(3-Dimetilaminopropil)-morfolină	-	2,16
N,N-Dimetil-N',N'-diethyl-1,3-propandiamină	-	3,10
1,4-Diszubaciclo-(2,2,2)-octan	-	23,9

In toate lucrările prezentate pînă acum însă nu s-a ținut cont de faptul că bazicitatea aminelor exprimată prin pK_a este determinată în soluții apoase, în timp ce reacția de formare a uretanilor se conduce în solventi nesposibile. Trecerea de la un solvent la altul poate modifica și mai valoarea absolută a bazicității, dar poate chiar inversa ordinea aranjării aminelor după bazicitatea lor. Într-adevăr Farkas și Strohm /33/ au găsit o corelație între valorile constantei catalitice k_c și parametrului $E^{1/2}$, care caracterizează bazicitatea aminelor într-un solvent nesposibil (Tab. 22).

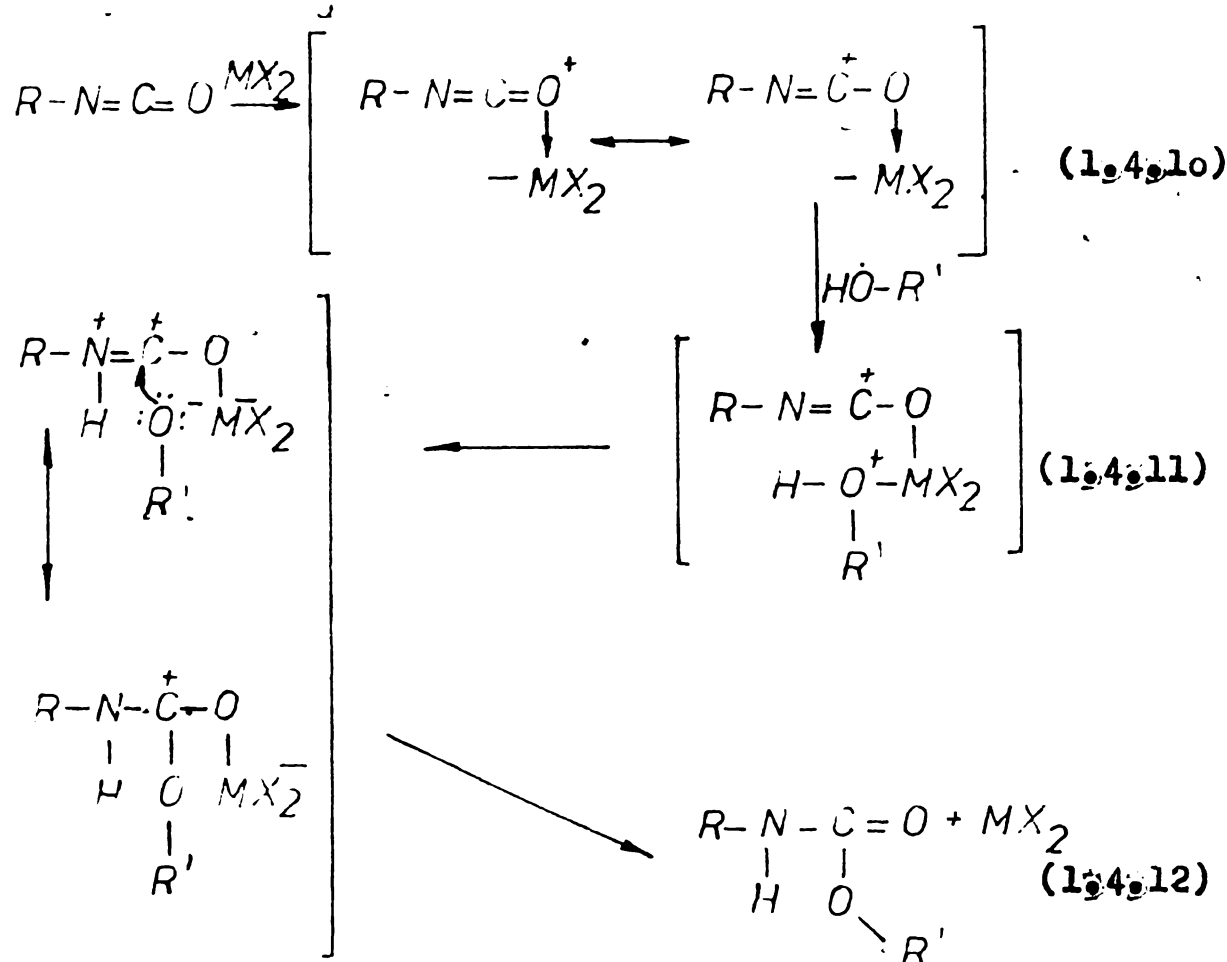
Tab. 22 Compararea valorilor k_c , pK_a și a bazicității în acetat de etil ($E^{1/2}x$) pentru o serie de amine în reacția fenilizocianatului cu 2-ethylhexanolul /33/.

Amina	k_c g/mol sec	Activitate relativă	pK_a	$E^{1/2}$
Trietilendiamină	5600	1	8,60	124
2-Metil-1,4-diazabiciclo-(2,2,2)-octan	5130	0,92	8,86	168
Trietilamină	500	0,19	10,64	186
N-Etilmorpholină	315	0,05	7,15	291

x $E^{1/2}$ este exprimat în milivolti și reprezintă punctul de inflexiune pe curba de titrare potențiometrică a aminei cu acid percloric 72 %.

1.4.5. Cataliza prin catalizatori organometalici

Cataliza prin compuși organici ai steniu lui este larg dezbatută în literatura de specialitate, fiind unul din sistemele catalitice des utilizate în industria poliuretanilor. Pentru cataliza prin compuși organometalici a fost propusă următoarea schemă generală: /3/



Aceea loc astfel formarea unui complex mixt între izocianat și alcool, în cadrul căruia se formează uretanul. Prin complexare are loc o favorizare entropică a procesului datorită aducerii reactanților în imediata vecinătate într-o poziție reciproc avantajoasă procesului și unul entalpic constând în pozitivarea atomului de carbon din izocianat prin complexarea oxigenului, respectiv creșterea densității de electroni la oxigen prin înlocuirea hidrogenului cu un metal mai donor de electroni. Efectul catalitic al metalelor se diferențiază în funcție de natura acestora. Astfel în cazul steniu lui II, Pb sau Bi are loc o activare mai puternică a izocianatelor alifatici decât celor aromatici, astfel încât cele două tipuri de izocianati ajung la aceeași viteză de

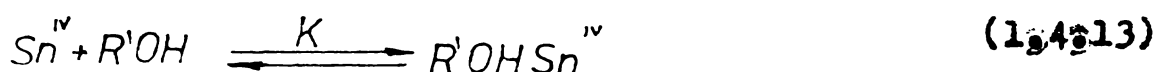
reacție cu alcooliști

Compusii Zn, Co, Fe, Sn^{IV}, Sb și Ti activează în măsură și mai mare izocianatii alifatici, astfel încât aceștia devin mai reactivi chiar decât cei aromatici /3/.

Diferențierea dintre izocianatii alifatici și aromatici se explică probabil prin efectele sterice mai importante la cei aromatici, care împiedică în parte complexarea cu metalul.

Tot prin formarea complexului mai stabil al alcoolilor față de cel al apelor se explică activitatea catalitică a metalelor mai importante asupra procesului de formare a uretanilor față de cel de hidroliză.

Cataliză prin compusii organici ai staniului este un caz particular al catalizei prin metale. Din punct de vedere cinetic, procesul se desfășoară prin următoarele faze:



unde K este constanta de echilibru a reacției de formare a complexului intermediar activ și k_{efectiv} constanta vitezei efective a reacției catalizate.

Notând v_{cat} viteză reacției catalizate, s-au dedus următoarele ecuații cinetice /45/:

$$v_{\text{cat}} = k_c [RNCO] [Sn^{IV}] \quad (1_34_310)$$

iar

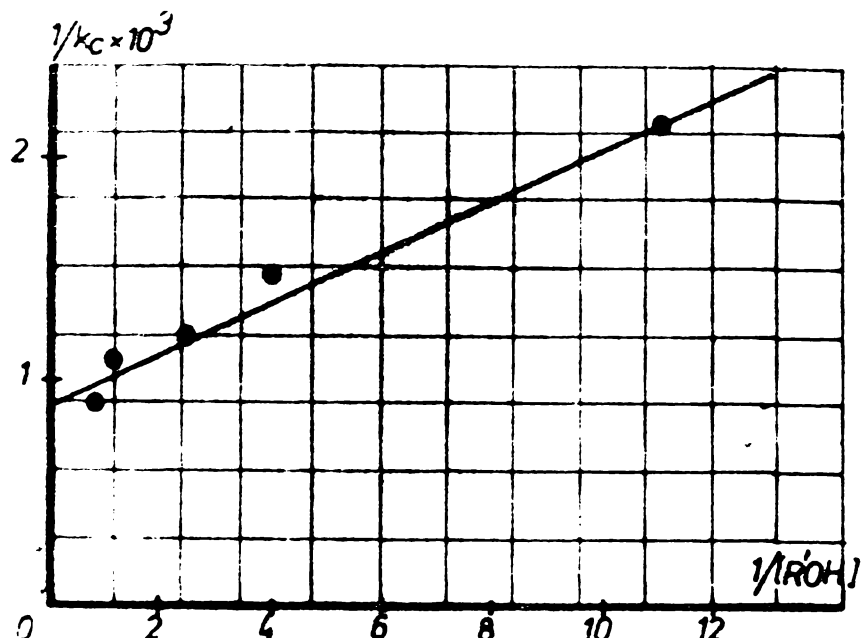
$$k_c = k_{\text{efectiv}} K [R'OH] / (1 + K [R'OH]) \quad (1_34_311)$$

de unde

$$1/k_c = 1/k_{\text{efectiv}} + 1/k_{\text{efectiv}} K [R'OH] \quad (1_34_312)$$

Reprezentind ecuația (1_34_312) în coordinate $1/k_c - 1/[R'OH]$ se determină simultan din intersecția dreptei cu ordonata și din pante dreptei valorile k_{efectiv} și k (Fig.10).

Fig. 10 Dependența $1/k_c$ de $1/[R'OH]$ /45/



Tab. 23 Valorile parametrilor termocinamici ai reacției p-clorfenilizocianatului cu metanol în n-heptan /8/

La formarea complexului	Date cinetice	Date spectrale
ΔH^\ddagger kcal/mol	$-1,3 \pm 0,5$	$-3,2 \pm 1,0$
ΔS^\ddagger cal/mol·grad	$-0,9 \pm 0,5$	$-1,2 \pm 1,0$
In reacția izocianat-alcool	Necatalizată	Catalizată
E^\ddagger Kcal/mol	8,2	$6,7 \pm 0,5$
ΔS^\ddagger cal/mol·grad	-44,5	$-23,7 \cdot 10^6$
Ordinul de mărime al constantei de viteză	1	

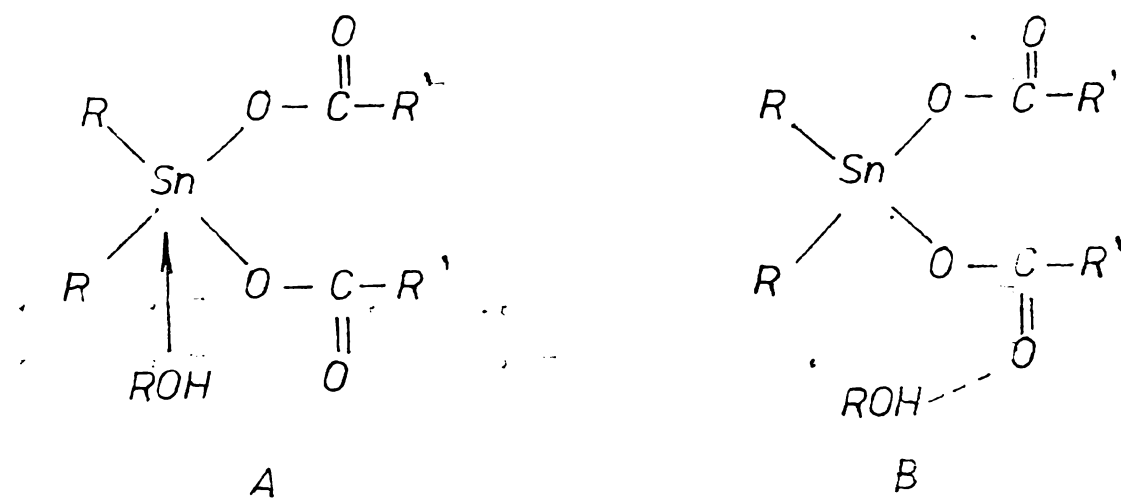
Formarea complexului dintre alcoolul metilic și dibutildiuranul de staniu a putut fi pusă în evidență și spectroscopic. Din datele spectroscopice s-au putut calcula constantele de echilibru de formarea complexului la diverse temperaturi și de aici entropia și entalpia de formare a acestuia (Tab. 23).

Constantele de echilibru de formare ale complexului au putut fi determinate și kinetic la diverse temperaturi, obținindu-se pe această cale entropia și entalpia procesului (Tab. 23). După cum se vede, cele două categorii de rezultate sunt comparabile. Formarea complexului este ușor exotermă și defavorizată entropic.

Din constantele de viteză au putut fi calculate parametrii aparenti de activare ai procesului catalitic și necatalitic (Tab. 23). După cum se vede, catalizatorul mărește viteza de reacție, favorizând procesul atât entalpic, prin scăderea energiei de activare, cât și entropic, prin aducerea reactanților într-o poziție favorabilă procesului, așa cum era de așteptat.

S-a stabilit de asemenea că valorile constantei de echilibru de la formarea complexului activ nu depind de natura izocianatului, ceea ce este o dovedă în plus că la formarea complexului activ participă doar alcoolul /46/.

În ceea ce privește structura complexului activ alcool-catalizator se propun două structuri posibile /5/:

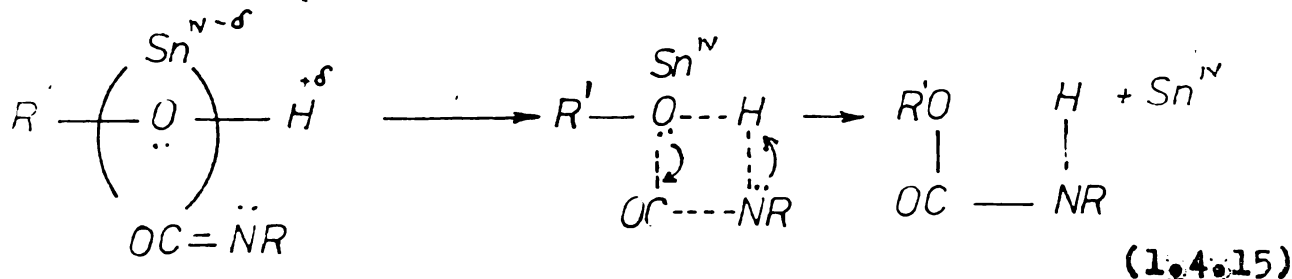


Structura A este posibilă datorită existenței orbitalilor de vacanță și staniului și perechilor de electroni neparticipanți ai oxigenului alcoolului, în timp ce structura B presupune formarea legăturilor de hidrogen între catalizator și alcool.

Nu există dovezi experimentale care să confirme formarea uneia dintre aceste două structuri, dar se presupune din diferite considerente formarea structurii A.

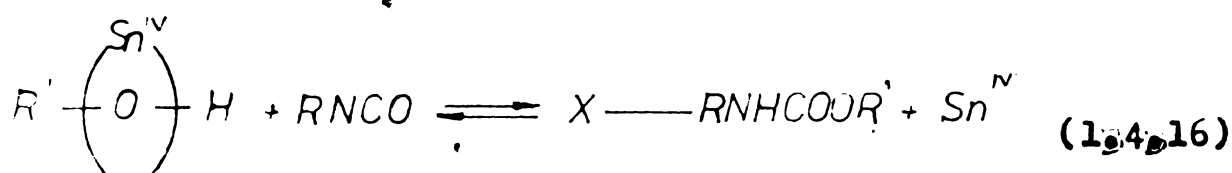
Mecanismul catalizei propriu-zise rezidă în modificarea proprietăților grupei hidroxil a alcoolului. În primul rînd crește dipolmomentul legăturii hidroxil datorită redistribuirii densității electronice prin complexarea (formarea legăturii Sn - O). În al doilea rînd, legătura -OH se lungeste datorită scăderii densității electronilor de valență.

Pe baza acestor considerente se presupun două mecanisme de reacție între complexul alcool - catalizator și izocianat /47, 50, 54, 55/:



1. Reacția se desfășoară într-o singură treaptă cu cedarea sincronă a perechii de electroni ai azotului izocianic, protonului hidroxilic, pe de o parte și ai oxigenului alcoolic către carbonul carbonilic pe de altă parte. Alungirea legăturii -OH din alcool sub influența catalizatorului pînă la lungimea legăturii C = N din izocianat ($1,8 \text{ \AA}$) favorizează acest mecanism.

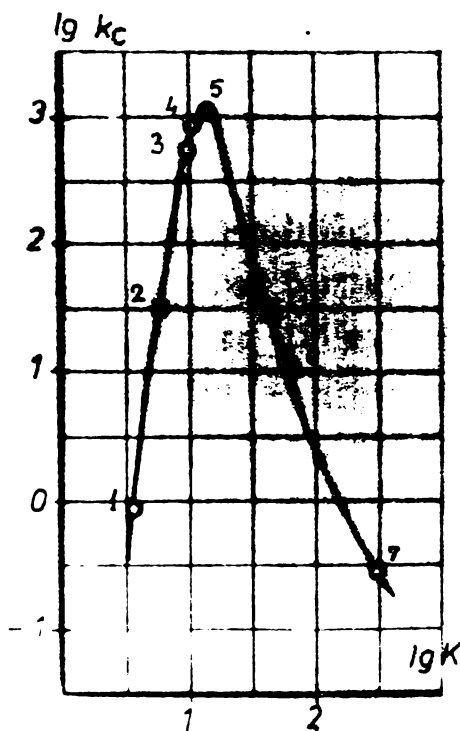
2. Reacția se desfășoară în două etape: în prima protonul grupăi hidroxil din alcool atacă izocianatul, se desface legătura O-H și apare legătura N-H, cu formarea unui nou complex X cu structură ionică sau polară, în care carbonul grupăi izocianat este puternic pozitiv; în a doua etapă, oxigenul alcoolic se desface din legătura cu Sn și își cedează electronii carbonului izocianat, angajînd legătura covalentă C-O:



Entropia de activare în cazul mecanismului 2, cînd complexii activați liniari nu impun împiedecări sterice deosebite, are valori negative mult mai mici decît în cazul reacțiilor necatalizate (Tab. 24),

In ceea ce privește viteza procesului, ea depinde de stabilitatea complexului alcool - catalizator. În complexii stabilii protonul alcoolic va fi foarte activ, în schimb legătura Sn-O va fi stabilă, oxigenul va avea un caracter nucleofil mai scăzut față de carbonul grupăi izocianat și deci o reactivitate scăzută. Atât o scădere cât și o creștere a stabilității complexului vor duce la o scădere a vitezei de reacție. Într-adevăr, din Fig. 11 se vede că dintre diversii catalizatori de Sn doar unii dau cu alcoolul complexi cu stabilitate optimă, exprimată prin constantă K de echilibru a complexului. Această stabilitate optimă a complexului se traduce prin activitatea catalitică maximă (k_c),

Fixall Dependența activității catalitice a catalizatorului de stabilitatea complexului său cu alcoolul /51/



1 - $(C_2H_5)_4Sn$; 2 - $(C_2H_5)_3SnCl$; 3 - $(C_2H_5)SnCl_2$; 4 - $(C_4H_9)_2Sn(OCOCH_3)_2$; 5 - $(C_4H_9)_2Sn(OCOC_{11}H_{32})_2$; 6 - $(C_2H_5)SnCl_3$; 7 - $SnCl_4$

Datorită existenței complexului activ, atașul izocianatului se face de către protonul hidrexilic, adică reacția se desfășoară după un mecanism electrofilic. Aceasta se traduce prin scăderea valorii absolute a parametrului $\rho > 0$ din ecuația Hammett prin trecerea de la reacția necatalizată la cea catalizată (Tablă 15) /7/.

Rezultatele prezentate arată că în funcție de condițiile de reacție caracterul nucleofil al adiției alcoolului la izocianat apare mai mult sau mai puțin premință. Aceasta se datoră naturii dualiste a centrului de reacție, grupa izocianat fiind capabilă atât de o adiție electrofilă la atomul de carbon cât și de o adiție electrofilă la atomul de azot. În funcție de ponderea unuia sau altuia dintre aceste acte, la stadiul determinant de viteză, reacția se va desfășura după un mecanism nucleofil sau electrofilic.

Pentru stabilirea validității mecanismelor de reacție propuse s-a încercat ca și în cazul catalizatorilor amine terțiare stabilirea complexului pe care îl formează compusul organo - stanic cu reactanții.

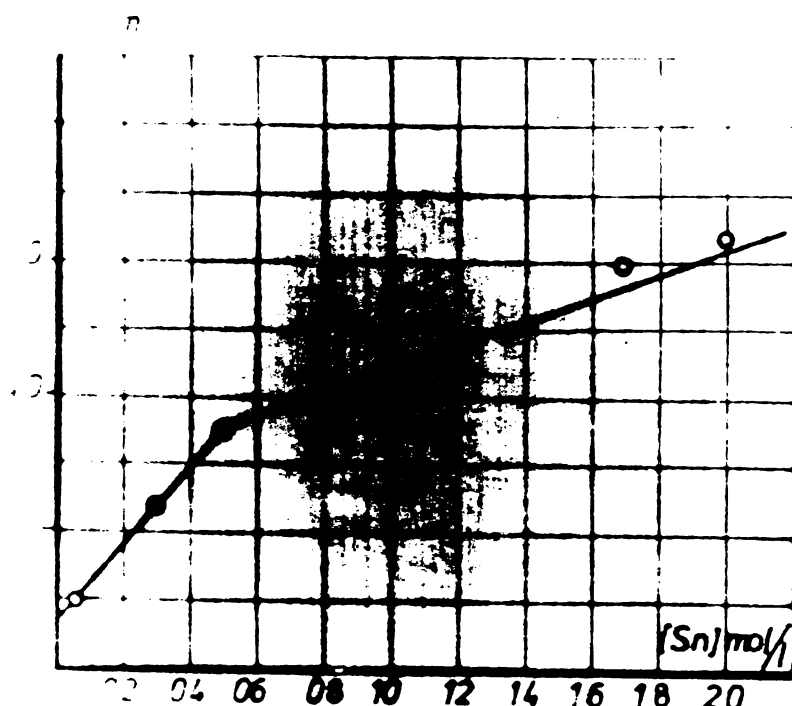
K.C.Frisch și colaboratorii /39/ au încercat identificarea complexului alcool - staniu prin spectroscopie IR, fără să reușească. La emispecuri reactant - catalizator în raport 1:1 se poate observa o mică deplasare la frecvențe mai mici a benzii OH. Aceasta însă se poate atribui schimbării caracterului legăturilor de hidrogen din sistem, fără a fi o dovedă a formării complexului în sistem.

S-a încercat de asemenea detectarea complexului izocianat - staniu, însă de asemenea fără succes. Schimbările ce apar în sistemele studiate se datorează pe de o parte reacției lente de dimerizare a izocianatului, pe de altă parte urmelor de umiditate din sistemele studiate.

Se poate trage deci concluzia că metoda spectroscopiei IR nu permite identificarea complexelor formată de catalizatorii de staniu cu reactanții.

Prin spectrosco pie RMN s-a reușit detectarea unor complexe dintre catalizator și reactanți. Astfel K.C.Frisch și colaboratorii /39/ au reușit să pună în evidență complexe ai compusilor organostanici cu alcool la un raport molar aproximativ 1:1 după cum se vede din Fig.12.

Fig.12 Efectul concentrației staniului asupra protonului hidroxilic în RMN, 1-metoxi-2-propanol - 0,54 mol/l /39/.

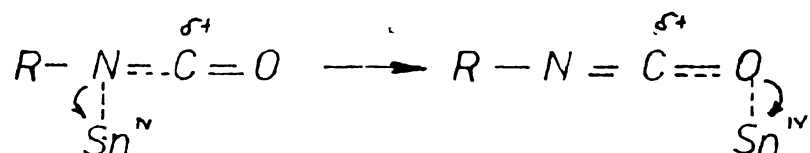


După cum se vede din Fig.12, după atingerea raportului molar alcool : catalizator de 1:1 panta dreptei se schimbă, ceea ce indică formarea unui complex la acest raport. Cresterea în continuare a deplasării chimice se poate datora schimbării viscozității solventului sau schimbării susceptibilității magnetice.

S-a încercat de asemenea detectarea complexului izocianat - catalizator de staniu, însă în domeniul protonilor fenilici respectiv metilici și metilenici și alchil-staniului nu s-a observat nici o schimbare, ceea ce dovedește că interacțiunile care eventual au loc nu sunt decelabile prin RMN.

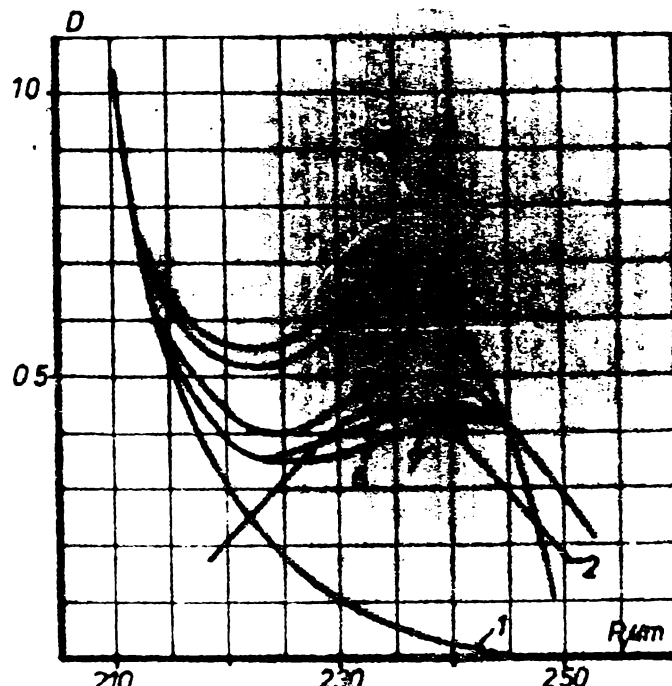
K.C.Frisch și colaboratorii /39/ au făcut în 1965 investigații fără succes privind formarea complexelor prin spectroscopia UV. S-a încercat pe această cale detectarea complexelor catalizatorului organostanic cu alcoolul respectiv izocianatul.

Circov și colaboratorii /40/ în 1973 au încercat de asemenea detectarea acestor complexe găsind o dovadă indirectă a formării complexelor catalizator de staniu - izocianat. Studiind soluția p-clorfenilizocianatului și dibutildileuratului de staniu în timp au observat un proces lent de dimerizare, ceea ce presupune existența complexului de următoare formă:



Formarea dimerilor a fost detectată în domeniul lungimilor de undă 210 - 250 μm , după cum se vede din Fig.13.

Fig.13 Schimbarea spectrului de absorție a soluțiilor p-clorfenilizocianatului ($6,4 \cdot 10^{-5}$ mol/l) și dibutildileuratului de staniu ($1,8 \cdot 10^{-3}$ mol/l) /40/.



1 - compusul organostanic; 2 - izocianatul; 3 - după amestecare;
4 - după 1 h; 5 - peste 1 h; 6 - după 2 h; 7 - peste 7 h.

Reegan și Frisch /43/, studiind formarea complecșilor catalizatorilor organostanici cu alcoolul respectiv cu izocianatul au reușit prin metoda crioscopică să pună în evidență ambii complecsi în cantități însemnante în sistemele studiate. Rezultatele sunt prezentate în Tab. 25 și 26,

Tab. 25 Formarea complexului în amestec cu 1-metoxi-2-propanol și dibutildisurat de staniu prin scăderea punctului de congelare a benzenului /43/

Conc. DBDL g/l	M calculat fără complex 100 % (a)	M fără complex experim. (b)	M experim. (c)	%Catalizator în complex [(c-a)/(b-a)] x100
0	90	-	119	-
50,5	204	252	213	19
178,3	324	588	352	11
247,3	361	680	390	9

Concentrația alcoolului s-a menținut constantă (45 g/l).

Tab. 26 Formarea complexului în amestecul fenilizocianat și dibutildisurat de staniu prin scăderea punctului de congelare a benzenului /43/

Conc. PhNCO g/l	Conc., DBDL Sn g/l	M calculat fără complex (a)	M 100% complex (b)	M experim. (c)	%Catalizator în complex [(c-a)/(b-a)] x100
47,6	0	119	-	119	-
12,4	44,9	187	222	204	48
70,2	157,1	266	392	322	44
46,4	224,4	350	691	482	39

Pe baza rezultatelor experimentale prezentate în cele două tabele (25, 26) se poate trage concluzia că la formarea complexului cu izocianatul participarea catalizatorului organostanic este mai însemnată decât în cazul alcoolului.

1.4.6. Autocataliza

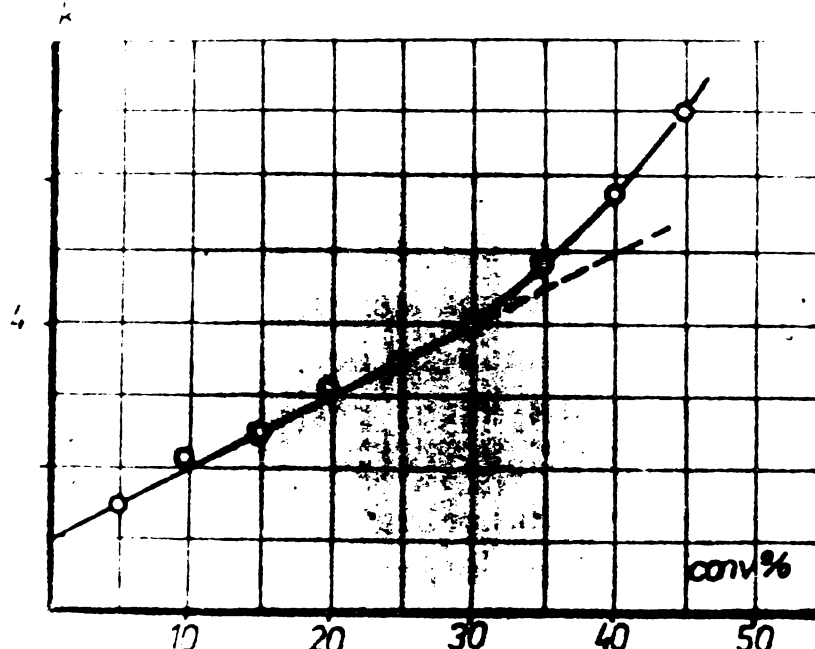
Problema autocatalizei nu este tratată din același punct de vedere în literatura de specialitate. Unii autori presupun că autocataliza este un factor important ce înseamnă întotdeauna într-o măsură mai mică sau mai mare formarea uretanilor. Alții autori presupun că accelerarea reacției se datorează modificării polarității mediului în cursul procesului și nu unei autocatalize.

Se pare că în privința autocatalizei nici una din teoriile de mai sus nu este universal valabilă, apariția autocatalizei fiind legată de natura sistemului studiat (natura solventului, natura slifatică, aromatică a izocianatului respectiv natura alcoolului).

Greenshield și colaboratorii /53/ presupun că factorul determinant în apariția autocatalizei o reprezintă natura izocianatului. Ei arată că fără de N-alchiluretani N-ariluretanii au o densitate de electroni mai mică la atomul de azot și în consecință nu pot interacționa cu izocianatii pentru a determina o accelerare autocatalitică a reacției. Efectul autocatalitic este din această cauză mai mic la N-ariluretani decât la N-alchiluretani. Creșterea conjugării dintre N-uretani și nucleul aromatic măsoarează posibilitatea autocatalizei.

Bakalo și colaboratorii /53/ arată că la utilizarea unor solventi cu constantă dielectrică mică și în care solvatarea este puțin importantă cum ar fi clorbenzenul reacție hexametilendiizocianatului cu di-respectiv trietilenglicol nu poate fi descrisă unitar fără includerea unui termen autocatalitic. După cum se vede din Fig.8, o dată cu creșterea constantă a vitezei crește și simțitor.

Fig.14 Dependenta constantei de viteza de ordinul doi de conversie reactiei /53/



Astfel ecuatia folosita de autori pentru cazul concentratiilor echimoleculare a reactantilor si incluzind autocataliza este de forma:

$$\frac{dx}{dt} = k_o(a-x)^2 + k_u(a-x)x \quad (1_4,lo)$$

unde: a - concentrația initială a reactantilor; x - concentrația la timpul t a hexametilendiizocianatului; k_o - constanta de viteză a reacției spontane; k_u - constanta de viteză a reacției catalizate de uretan.

Integrarea ecuației (4,lo) dă următoarea expresie:

$$t = \frac{x}{a(a-x)(k_o-k_u a)} + \frac{k_u}{(k_o-k_u a)^2} \ln \frac{a(k_o - k_u x)}{k_o(a-x)} \quad (1_4,li)$$

La concluzii asemănătoare ajung și Kornev și colaboratorii /54/ privind autocataliza la sistemul fenilizocianat, dioli alifatici și aromatici în benzen sau toluen la $25-30^{\circ}\text{C}$. Rezultatele lor sunt prezentate în Tab.27.

Tab.27 Autocataliza la formarea uretanilor /54/

Diol	$k_o \times 10^3$ l/mol·min	$k_u \times 10^2$ l/mol·min
p-xilendiol	0,09	0,2
1,4-dioximetil-2,5-dimetilbenzen	0,12	0,66
1,3-dioximetil-4,6-dimetilbenzen	1,8	5,0

Grigorieva și colaboratorii /55/ atrag însă atenția că în studiul autocatalizei prin uretani de obicei s-au adăugat cantități mari de uretan, ceea ce duce la schimbarea capacitatei de solvatare a mediului, acest efect fiind răspunzător de accelerarea reacției și nu fenomenul autocatalitic.

Utilizând un solvent ce nu solvatează reactanții la introducerea uretanului nu atrage după sine autocataliza, fenomen ce are loc numai în cazul cînd se lucrează cu un solvent care are tendință pronunțată de solvatare a reactanților. S-a lucrat cu următoarele sisteme: meta-clorfenilizocianat (HFI) cu alcoolii butiliți (BuOH) în mediu de eter dimetilic al dietilenglicolului, (DIGLIM) cu adăugarea produsilor de reacție, n-buțilmetaclorfeniluretan (BHFU) și reacția α -naftilizocianatului (NIC) cu alcoolul etilic (EtOH) cu adăos de etil- α -naftiluretan (ENU).

Cinetica reacției NIC cu EtOH și ENU a fost studiată spectrofotometric, rezultatele fiind prezentate în Tab.28.

Tab.28 Viteza reacției NIC cu EtOH în prezență de ENU /55/

T °C	NIC mol/l	ENU mol/l	$k_H \times 10^4$ l/mol·sec
11,5	0,89	-	1,35
	0,94	-	1,21
	0,90	0,94	1,21
	0,80	0,89	1,27
25	0,88	-	2,55
	0,59	-	2,67
	0,63	0,59	2,78
35	0,53	-	4,73
	0,61	-	4,26
	0,62	0,53	4,45
	0,65	0,61	4,35

Adăugarea de uretani care nu au proprietăți de mediu de reacție nu influențează viteza de reacție. S-a observat că constanța de viteză rămîne constantă pînă la conversii mari.

Crescerea vitezei de reacție izocianat - alcool în uretan în comparație cu DIGLIM se leagă de faptul că uretanul solvatează în măsură mai mică decît DIGLIM-ul reactanții. S-au determinat constantele efective de echilibru de solvatare a reactanților cu solventul respectiv uretanul pe calea măsurării căldurilor de anestecare. Datele obținute permit aprecierea interacțiunilor intermoleculare la sistemele studiate (Tab.29).

Tab.29 Efectele termice ale formării complexelor și ale constanțelor de echilibru la 28°C /55/

Sistem	A	B	- H \pm 500	K
A	B	mol/l	kcal/mol	l/mol
HFI	DIGLIM	0,353	6,767	5400
BHFU	HFI	0,365	7,164	4500
BHFU	DIGLIM	0,413	6,408	8300
BHFU	n-BuOH	0,442	9,827	9600
n-BuCH	DIGLIM	0,430	6,795	6800
sec-BuOH	DIGLIM	0,313	6,868	6700

Din rezultatele prezentate în Tab.29 se poate observa că complexul cel mai stabil cu alcoolul și solventul se formează cu uretanul.

Adăugarea de uretan în sistem la concentrații comparabile sau mai mari decît a reactanților duce la concurență dintre uretan și reactanți la formarea complexelor cu DIGLIM. Deoarece complexul DIGLIM - BHFU este mai stabil decît ceilalți rezultă că DIGLIM se dispersează participând la solvatarea uretanului, reactanții fiind solvatati în mai mică măsură. De aici rezultă că partea formei active a alcoolului și izocianatului crește, ceea ce duce la mărirea vitezei de reacție.

Reacția izocianatului cu alcoolul nu este deci autocatalitică conchid autorii /55/, iar creșterea vitezei de reacție prin mărirea conținutului de uretan sau accelerarea cu cinetica obișnuită se datorează schimbările solvatării specifice a reactanților.

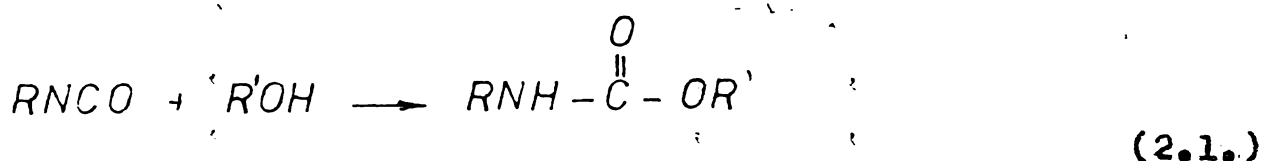
2. CONTRIBUTII ORIGINALE LA STUDIUL REACTIILOR DE ADITIE NUCLEOFILA A ALCOOLILOR LA ARILIZOCIANATI

2.1. Reacția necontrolată a izocianatilor cu alcoolii

După cum a rezultat din partea introductivă (cap. 1, 3), cinetica și mecanismul reacțiilor de adiție nucleofilă a alcoolilor la arilizocianati este o reacție foarte studiată, datorită importanței sale practice deosebite pe care o reprezintă pentru obținerea poliuretanilor. Există însă anumite aspecte ale problemei care nu au fost încă elucidate, și astfel justifică studiul experimental efectuat.

Zelul Tehnic experimentală: Modelul cinetic.

Formarea uretanilor prin reacția dintre izocianati și alcoolii are loc după următoarea schemă:



In scopul urmăririi reacției, într-o cuvă termoștată de 20 mm s-a introdus soluție în tetraclorură de carbon al alcoolului. În momentul zero s-a făcut injectată cu o sirină de 1 ml izocianatul purificat. Prin înregistrări repetate a spectrului NIR cu un spectrofotometru SPECORD 61 NIR au fost obținute benzile reprezentând armonica superioară a NH-ului din uretanul format ($6720 - 6735 \text{ cm}^{-1}$). Întrucât concentrațiile uretanului sunt relativ mari (12 - 14%) apar asociate prin grupuri NH care modifică extincția. S-au construit curbe de etaleare cu un conținut identic de uretan și alcool care au permis determinarea exactă a concentrației uretanului (Detalii în partea experimentală 4). Constantele de viteze de ordinul doi - unu față de izocianat și unul față de alcool - au fost determinate prin metoda integrală pentru conversiei pînă la cca. 80 - 90%.

S-a pornit de la expresia cinetică diferențială:

$$\frac{dx}{dt} = k(a-x)(b-x) \quad (2.1.)$$

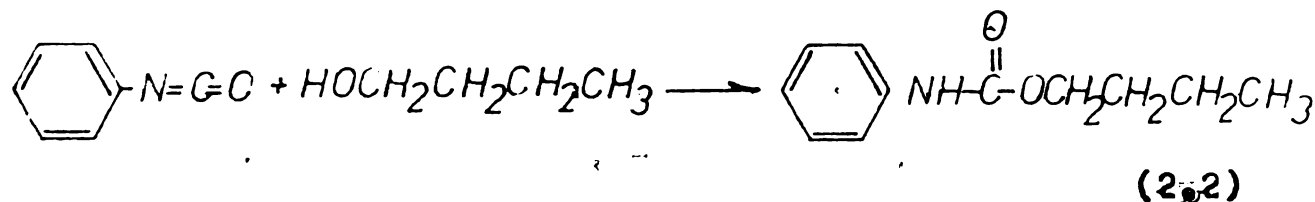
unde a și b reprezintă concentrația inițială a izocianatului și alcoolului iar x cantitatea transformată la momentul t.

Prin integrarea se obține expresia de forma:

$$kt = \frac{1}{b-a} \ln \frac{b(a-x)}{a(b-x)} \quad (2.2)$$

Concentrația uretanului în fiecare moment x a fost determinată prin înregistrarea spectrului în infraroșu apropiat la $6720 - 6735 \text{ cm}^{-1}$. Valoarea extincției citite fiind transformată în concentrație cu ajutorul unei curbe de etalonare construită în condițiile experimentului cinetic (Pentru detalii și exemple de calcul vezi partea experimentală - Cap.4).

Ca reacție standard s-a ales reacția dintre fenilizocianat și n-butanol în tetraclorură de carbon:



Pentru verificarea modelului cinetic de mai sus s-a studiat influența concentrației și raportului reactanților asupra constantei de viteză de ordinul doi.

Tab.30. Constantele de viteză de ordinul doi ale reacției izocianatului de fenil cu butanolul la diverse concentrații și raporturi molare în tetraclorură de carbon.

Temp. °C	$\text{C}_6\text{H}_5\text{NCO}$ (mol/kg)	$\text{C}_4\text{H}_9\text{OH}$ (mol/kg)	$k_2 \times 10^3$ (kg/mol.sec)	$k \text{ med.} \times 10^3$ (kg/mol.sec.)
32°	0,40	0,40	0,84	
	0,40	0,80	1,14	1,03 ± 0,16
	0,38	1,18	1,11	
42°	0,80	1,60	1,55	
	0,40	0,80	1,69; 1,83; 1,52	1,68 ± 0,14
	0,15	0,31	1,81	

După cum se observă din datele Tab.30 în limita unor erori experimentale normale față de tehnica studiului cinetic variația concentrației reactanților nu afectează valoarea constanțelor de viteză, ordinul de reacție menținându-se constant.

2.1.2. Influenta naturii alcoolului

In Tab.31 sunt prezentate constantele de viteză de ordinul doi a reacției izocianatului de fenil cu diversi alcooli.

Reprezentarea grafică de tip Taft de forma:

$$\log \frac{k_R}{k_{\text{CH}_3}} = \rho \bar{V} + sE_s \quad (2,3)$$

adusă prin împărțire cu E_s la forma:

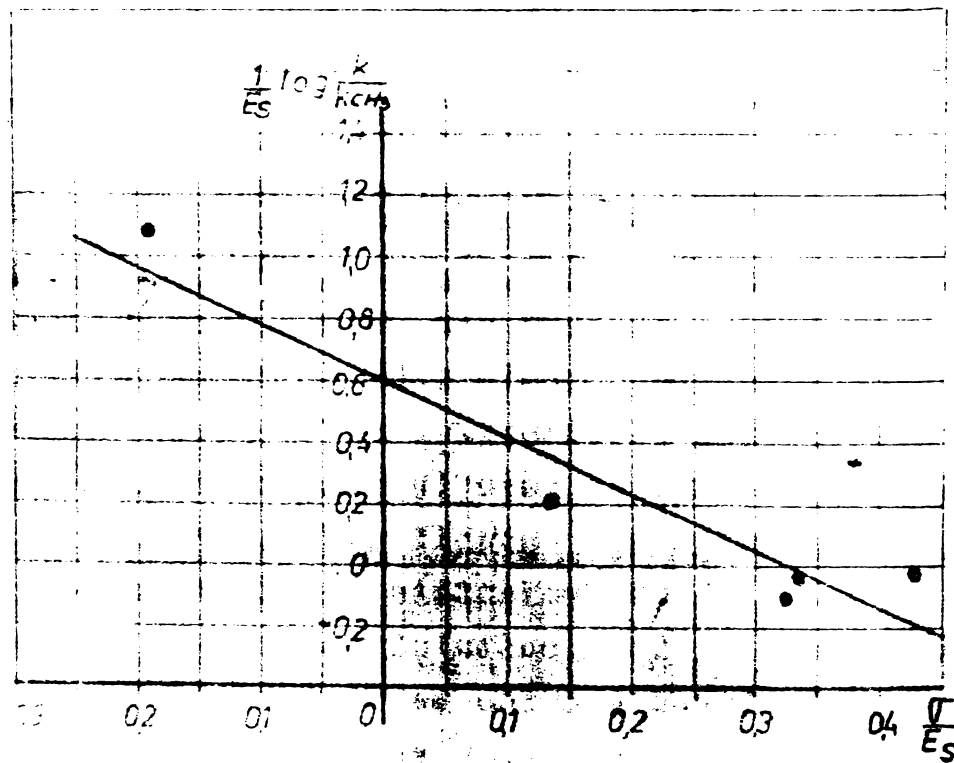
$$\frac{1}{E_s} \log \frac{k_R}{k_{CH_3}} = \rho \sigma / E_s + S \quad (2,4)$$

este prezentată în Fig.15.

Tab.31. Constantele de viteză de ordinul doi pentru reacția fenilizocianatului (0,40 mol/kg) cu diversi alcooli (0,80 mol/kg) în tetraclorură de carbon la 32°C și constantele Taft pentru alcoolii studiați:

Alcool	$k_2 \times 10^3$ (kg/mol.sec)	$\frac{1}{E_s}$ (56,57)	E_s (56,57)
i-C ₄ H ₉ OH	0,69	-0,125	-0,93
n-C ₆ H ₁₃ OH	1,10	-0,13	-0,30
n-C ₅ H ₁₁ OH	1,19	-0,13	-0,40
n-C ₄ H ₉ OH	1,13	-0,13	-0,39
CH ₃ OH	1,09	0	0
n-C ₄ H ₉ OCH ₂ CH ₂ OH	0,093	0,185	-0,97

Fig.15. Reprezentarea grafică de tip Taft pentru reacția fenilizocianatului (0,40 mol/kg) cu diversi alcooli (0,80 mol/kg) în tetraclorură de carbon la 32°C.



Din aceasta se poate deduce forma ecuației Taft:

$$\log \frac{k_R}{k_{CH_3}} = -1,93 \bar{V}^* + 0,63 E_S \quad (r=0,957) \quad (2,5)$$

Alcoolul joacă șadar cu preponderență un rol nucleofil, substituentii atrăgători de electroni măsurind viteza de reacție iar cei donori mărand-o. Se observă deasemenea o împiedicare sterică corespunzătoare unui proces bimolecular.

2.1.3. Influenta temperaturii asupra vitezei de reacție

După cum rezultă din Tab.32 efectele electronice și sterice din moleculele de alcool se traduc prin modificarea entalpiei de activare, entropiei de activare rămânind practic constantă.

Grupările atrăgătoare de electroni precum și cele care prezintă un efect steric marcat măresc entalpia de activare. În același loc o scădere ușoară a entropiei de activare, ceea ce face și mai evident faptul că atât efectele electronice cât și chiar cele sterice sunt reflectate în primul rând prin schimbarea energiei stării de tranziție.

Tab.32. Constantele de ordin doi ale reacției fenil-izocianatului (0,4 mol/kg) cu diversi alcooli (0,8 mol/kg) în tetraclorură de carbon la diferite temperaturi. Entalpii și entropii de activare.

alcool	$k_2 \times 10^3$ kg/mol.sec.							ΔS^\ddagger	ΔH^\ddagger
	32°C	37	42	47	52	57	62		
n-C ₄ H ₉ OH	1,03	1,45	1,68	2,02	2,5	2,85	3,25	-206	26,5
i-C ₄ H ₉ OH	0,69	-	1,07	-	1,56	-	2,10	-202	29,0
n-C ₅ H ₁₁ OH	1,19	-	1,84	-	2,76	-	3,63	-196	29,3
n-C ₆ H ₁₃ OH	1,10	-	1,65	-	2,23	-	3,49	-197	29,4
n-C ₄ H ₉ OCH ₂ CH ₂ OH	0,092	-	0,147	-	0,241	-	0,41	-184	39,6

Parametrii de activare calculați sunt în concordanță cu un mecanism bimolecular. Astfel, entalpiile de activare relativ scăzute presupun o compensare importantă a energiei de rupere a unor legături prin energie de formare a altora, iar entropiile foarte scăzute corespund cu o ordine importantă a stării de tranziție.

2.1.4. Efectul izotopic cinetic

Efectul izotopic cinetic a fost determinat prin efectuarea reacției cu metanol deuterat comparativ cu metanolul normal. Din Tab. 33 rezultă un efect izotopic de $k_H/k_D = 1,93$, o valoare relativ importantă ce poate avea semnificația transferului de proton în etapa lentă a procesului.

Tab. 33. Constantele de viteză de ordinul doi pentru reacția izocianatului de fenil (0,306 mol/kg) cu metanol (0,611 mol/kg), respectiv izocianat de fenil (0,6175 mol/kg) cu metanol deuterat (1,223 mol/kg) în tetraclorură de carbon la 32°C.

Reactant	$k_2 \times 10^3$ m^3 (kg/mol.sec.)	k_2^H/k_2^D
CH_3OH	1,09	1,93
CD_3OD	0,563	

■ Semnalul NH la 6735 cm^{-1} și ND la 5015 cm^{-1}

Intrucît valoarea efectului izotopic cinetic este la limite inferioare acceptabile pentru un efect izotopic primar trebuie să acceptăm că starea de tranziție este mai apropiată de starea inițială, cel puțin în ceea ce privește poziția protonului în cauză.

2.1.5. Efectele substituentilor din nucleul aromatic

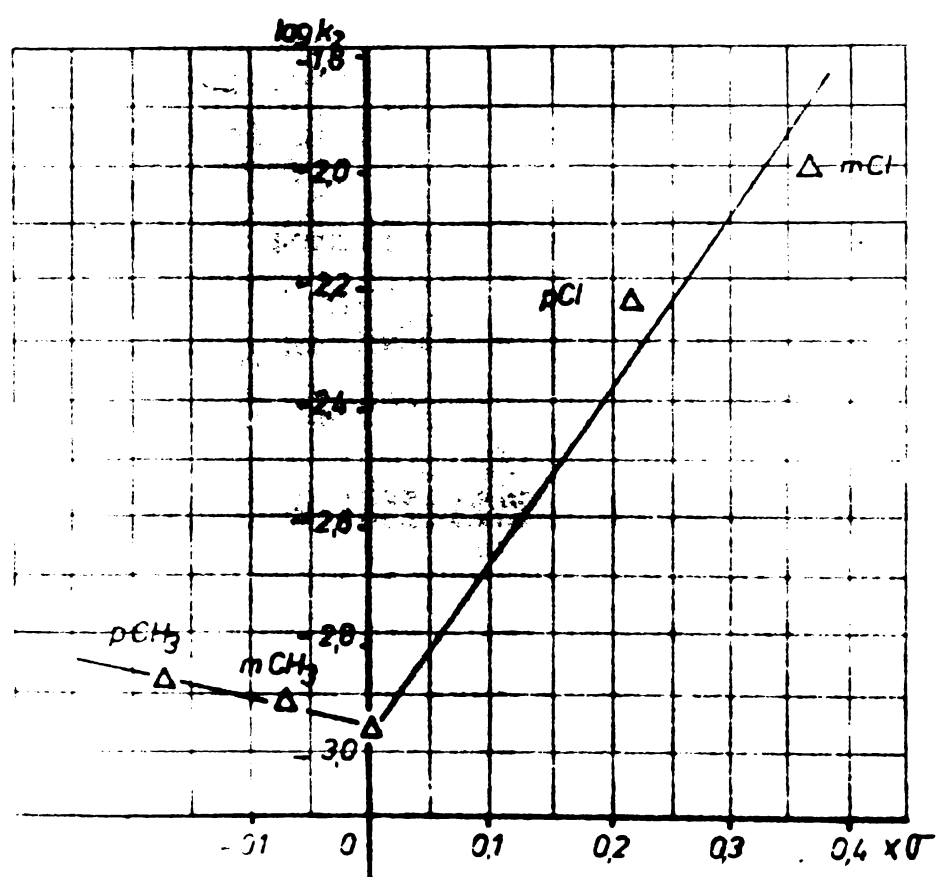
Influența substituentilor din nucleul aromatic al izocianatilor asupra vitezei de reacție este redată în Tab. 34.

Tab. 34. Constantele de viteză de ordinul doi pentru reacția fenilizocianatelor diferit substituite (0,400 mol/kg) cu n-butanol (0,800 mol/kg) în tetraclorură de carbon la 32°C.

$x-\text{C}_6\text{H}_4-\text{NCO}$	$k_2 \times 10^3$ (kg/mol.sec.)	\bar{V} (56)
p- CH_3	1,35	-0,17
m- CH_3	1,26	-0,069
H	1,13	0
p-Cl	6,00	0,227
m-Cl	9,79	0,373

In Fig.16 se reprezintă logaritmul constantelor de viteză ca funcție de parametrii Hammett ai substituenților (58). După cum se vede din această figură nu poate fi obținută o singură corelare liniară pentru întreaga gamă de substituenți.

Fig.16. Corelarea Hammett pentru reacția fenilizocianatilor substituiți ($0,400 \text{ mol/kg}$) cu n -butanol ($0,80 \text{ mol/kg}$) în tetraclorură de carbon la 32°C .



Substituenții donori de electroni prezintă o corelare a logaritmului constantelor de viteză cu constantele de forma:

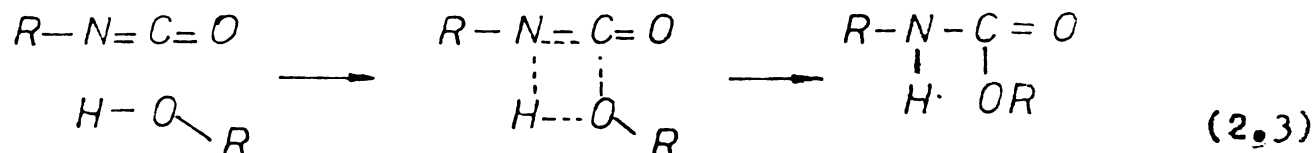
$$\log k = -0,442 \bar{U} - 2,94 \quad r = 0,972 \quad (2,6)$$

iar cei atrăgători de forma:

$$\log k = 2,573 \bar{U} - 2,90 \quad k = 0,983 \quad (2,7)$$

După cum se poate deduce din aceste corelații distincte, izocianatul trebuie să joace atât un rol electrofil cât și unul nucleofil în etapa lenta. Substituenții atrăgători de electroni favorizează procesul electrofil care devine astfel hotărîtor pentru desfășurarea etapei lente. Substituenții donori de electroni dimpotrivă favorizează pe cel nucleofil care devine în acest din urmă caz hotărîtor.

Un astfel de rol dublu al izocianatilor nu poate fi imaginat decât dacă considerăm că în etapa lenta are loc atât atacul nucleofil la atomul de carbon al atomului de oxigen alcoolic cât și transferul de hidrogen la atomul de azot:



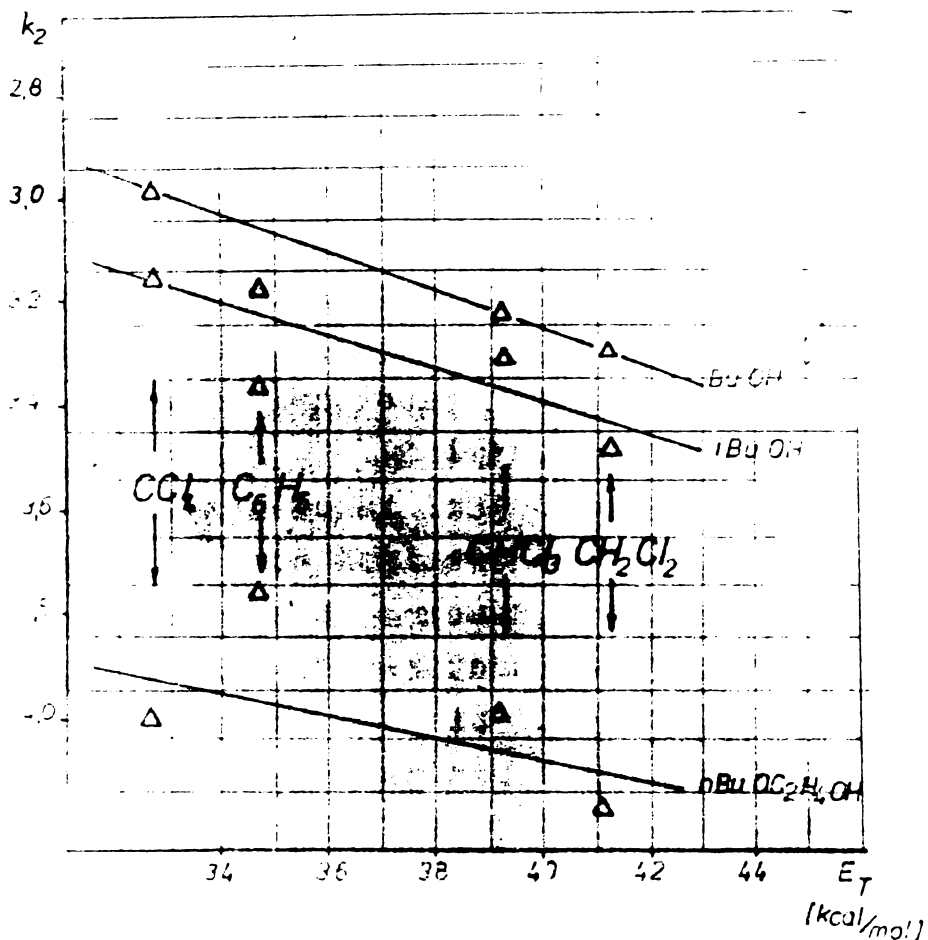
2.1.6. Influenta polarității solventului

A fost examinată influența polarității solventului asupra vitezei de reacție după cum reiese din Tab. 35 și reprezentarea grafică a logaritmului vitezei de reacție în funcție de parametrul E_T al solventului (fig. 17).

Tab. 35. Influența polarității solventului asupra reacției necatalizate dintre fenilizocianat ($0,40 \text{ mol/kg}$) și diversi alcooli ($0,80 \text{ mol/kg}$) la 32°C .

Solvent	E_T (59)	$k_2 \times 10^3$ (kg/mol.sec.) n-BuOH	$k_2 \times 10^3$ (kg/mol.sec.) i-BuOH	$k_2 \times 10^3$ (kg/mol.sec.) n-BuOCH ₂ CH ₂ OH
CCl ₄	32,5	1,02	0,69	0,092
C ₆ H ₆	34,5	0,65	0,42	0,17
CHCl ₃	39,1	0,60	0,48	0,098
CH ₂ Cl ₂	41,1	0,51	0,32	0,067

Fig.17. Influența polarității solventului asupra reacției necatalizate dintre fenilizocianat ($0,4 \text{ mol/kg}$) și diversi alcooli ($0,8 \text{ mol/kg}$) la 32°C .



Examinând datele Tab.35 și Fig.17 se observă mică scădere a vitezei de reacție odată cu creșterea polarității solventului în serie CCl_4 , CHCl_3 , CH_2Cl_2 , ceea ce demonstrează o polaritate mai redusă a stării de tranziție față de starea inițială. După cum se observă din Fig.17, benzenul nu se încadrează satisfăcător, variația logaritmului constantei de viteză de ordinul doi cu parametrul de polaritate E_T , ceea ce implică o activitate specifică de solvatare. Capacitatea de formare de legături de protoni a benzenului cu alcooli mai puțin acizi se pare că defavorizează reacția de adiție a alcoolului la fenilizocianat. Dimpotrivă în cazul alcoolilor mai acizi viteză de reacție crește prin această succiere. În acest din urmă caz, asocierea mărește fără îndoială caracterul nucleofil al oxigenului în măsură suficientă ca aceasta să devină considerabil mai reactivă.

2.1.7. Discuții. Mecanismul de reacție

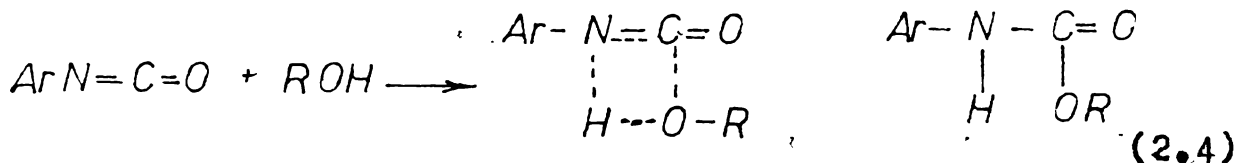
Examinând datele experimentale privind reacția necatalizată a izocianatilor cu alcooli prezentate în acest capitol, se pot trage următoarele concluzii:

La reacția izocianatului de fenil cu diversi alcoolii procesul este favorizat de efectele donoare de electroni și defavorizat de cele atrăgătoare de electroni din molecule alcoolului. După cum se poate observa, încărcarea sterică din moleculele de alcohol defavorizează deasemenea procesul. Ambele efecte se traduc prin creșterea entalpiei de activare și reflectă caracterul de agent nucleofil al alcoolului. Entropiile de activare foarte scăzute corespund cu o ordonare importantă a stării de tranziție.

Efectul deutero izotopic kinetic la adiția metanolului la fenilizocianat de $k_2^H/k_2^D = 1,93$ are o valoare suficient de mare pentru a putea considera că transferul protonului alcoolic participă la etapa lentă a procesului.

Substituenții în nucleul izocianatilor măresc constantele de viteză atât dacă prezintă efecte foarte atrăgătoare cît și dacă prezintă efecte donoare de electroni. Aceasta se poate explica dacă admitem că în starea de tranziție, izocianatul joacă simultan un rol electrofil și unul nucleofil.

Făță de cele de mai sus mecanismul cel mai probabil de reacție este o adiție prin intermediul unei stări de tranziție ciclică de patru centre:



Starea de tranziție ciclică este în acord și cu influența polarității solventului asupra reacției. Prin formarea ciclului se exclude în parte solvatarea stării de tranziție, prin urmare la trecerea din starea inițială în starea de tranziție este așteptată o reducere a solvatării. Solvenții mai polari defavorizează în consecință reacția.

2.3. Studiul reacției catalizate de amine terțiare

După cum a reiesit din capitolul 1.3 al părții introductive, aminele terțiare au o pregnantă acțiune catalitică asupra reacției izocianatilor cu alcoolii.

Atât activitatea catalitică a diverselor amine cît și mai cu seamă mecanismul acestui proces sunt contravertite în literatura de specialitate. În aceste condiții am considerat important să elaborăm o metodă experimentală pentru determinarea activității catalitice a diverselor amine. Deasemenea considerăm utilă o investigare a mecanismului catalitic mai cu seama c

acăsta este cu mare probabilitate foarte diferit de cataliza compușilor organici și staniului.

Cunoașterea exactă a mecanismului ambelor procese poate permite reționalizarea metodelor de sinteză a poliuretanilor.

2.2.1. Tehnica experimentală. Modelul cinetic.

Tehnica experimentală a studiului kinetic a fost asemănătoare cu cea elaborată pentru cercetarea procesului necatalitic. Soluția de alcool în tetrachlorură de carbon conținând și cantitatea de catalizator cintărită este introdusă în cuvă spectoscopulide infraroșu apropiat. În momentul zero se injectează izocianatul, după o scurtă agitare urmând a se înregistra un domeniu îngust al spectrului între $7500 - 6300 \text{ cm}^{-1}$ conținând una din armonicele superioare ale benzii NH de la 6735 cm^{-1} . Constantele de viteză au fost calculate tot după modelul bimolecular, în același mod ca în cazul procesului necatalitic. Si în acest caz a fost folosită o curbă de etalonare pentru extincția uretanului realizată strict în condițiile experimentului kinetic. La etalonare a fost în consecință adăugată și cantitatea de catalizator aminei terțiară în proporție în care s-a găsit în soluție supusă studiului kinetic.

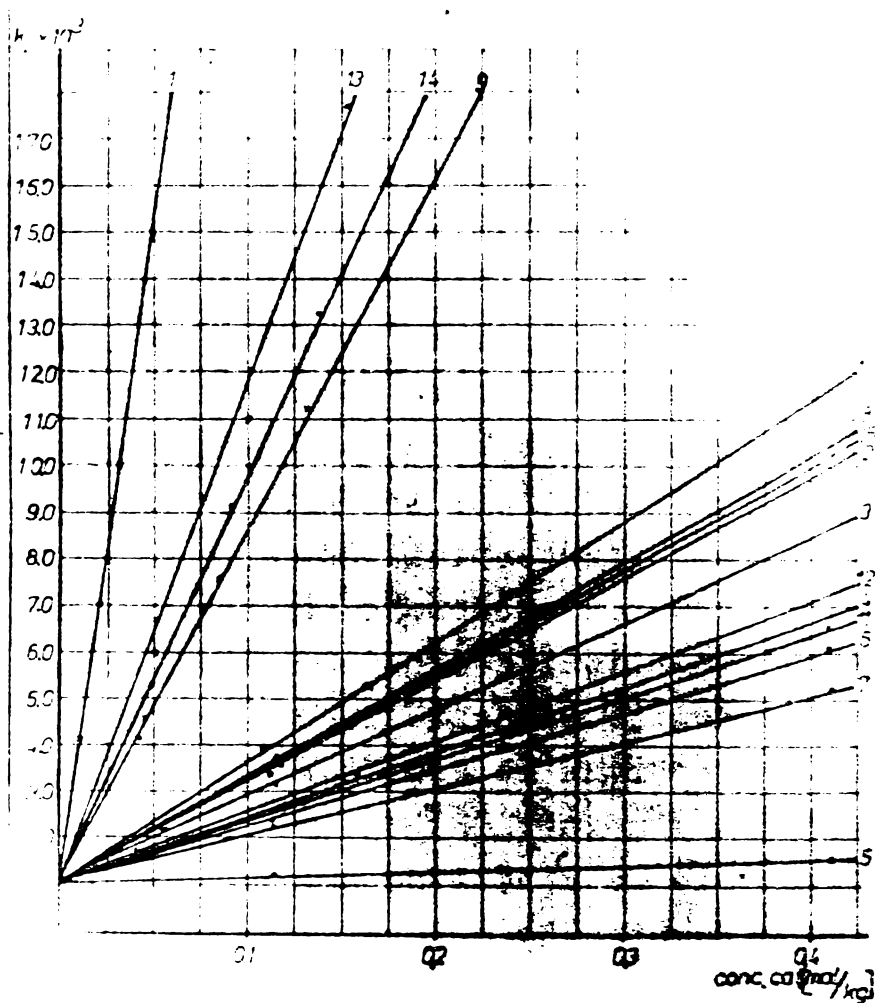
Constantele de viteză de ordinul doi se dovedesc proporționale cu concentrația aminei terțiare după cum reziese din Fig. 18 și datele Tab. 38, 39, 40, 41. În aceste condiții a putut fi calculată o constantă catalitică de ordinul trei, reprezentativa pentru efectul catalitic al aminei terțiare.

După cum reziese din Fig. 18 desăi constantele catalitice sănt destul de diferite pentru aminele considerate, totuși ordonate la origine corespunzătoare procesului necatalitic se menține în limite unor erori rezonabile constantă.

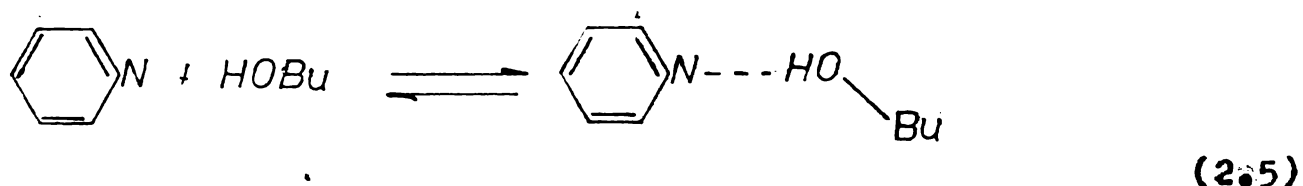
2.2.2. Studiul influenței raportului dintre reactanți asupra reacției catalizate de piridină.

În Tab. 36 sunt cuprinse constantele de viteză de ordinul doi și trei pentru reacția fenilizocianatului cu butanolul în prezență de cantități mici de piridină și la raporturi diferite de reactanți. Deși în toate cazurile au putut fi obținute constante bune de ordinul doi și trei totuși constantele de ordinul trei depind de raportul molar al reactanților, de fapt de concentrația alcoolului din sistem.

Fig. 18. Variatia constantelor de viteza de ordinul doi la reacția fenilizocianatului ($0,400 \text{ mol/kg}$) cu n-butanol ($0,800 \text{ mol/kg}$) în funcție de natura și concentrația catalizatorului amînă terțiară în tetrachlorură de carbon la 32°C .



Acest lucru poate fi înțeles dacă admitem că are loc un echilibru de asociere între alcoolul butilic și piridină,



Acest echilibru de asociere reduce în mod corespunzător concentrația piridinei libere capabile să realizeze efectul catalitic.

Exprimând echilibrul de asociere al piridinei cu butanolul:



rezultă pentru concentrația piridinei libere o expresie de forma:

$$\text{C}_5\text{H}_5\text{N}_1 = \frac{[\text{C}_5\text{H}_5\text{N}]}{1 + [\text{BuOH}] K} \quad (2.8)$$

iar pentru creșterea de viteza expresie:

$$k_2' = k_3' \frac{[C_5H_5N]}{1 + [BuOH] K} t \quad (2.9)$$

Tab. 36. Influența raportului dintre reactanți asupra vitezei de reacție catalizată de diferite cantități de piridină în CCl_4 la $32^\circ C$.

Concentrația piridinei (mol/kg)	$k_2 \times 10^3$ (kg/mol.sec.)	$k_3 \times 10^3$ ($kg^2/mol^2 sec.$)
raport molar (C_6H_5NCO) : ($BuOH$) = 0,4 : 0,4 (mol/kg)		
0	1,13	
0,114	3,00	19,43
0,234	5,07	$r = 0,996$
0,425	9,38	
raport molar (C_6H_5NCO) : ($BuOH$) = 0,4 : 0,8 (mol/kg)		
0	1,13	
0,114	2,32	13,12
0,234	4,50	$r = 0,994$
0,425	6,55	
raport molar (C_6H_5NCO) : ($BuOH$) = 0,4 : 1,2 (mol/kg)		
0	1,13	
0,114	2,09	7,22
0,234	3,03	$r = 0,997$
0,425	4,21	

In cursul reacției o parte din butanol se consumă fără îndoială fiind înlocuit prin uretanul corespunzător. Uretanul se asociază cu piridina în mod similar cu alcoolul. Întrucât chiar în cazul unor reacții conduse la rapoarte molare izocianat de fenil/butanol = 1/1 se obțin constante de viteză bune pînă la conversii 90 - 95% rezultă fără îndoială că uretanul asociază în mod similar cu alcoolul. Constantele echilibrelor de asociere sunt foarte probabil extrem de apropiate.

Dacă se reprezintă inversul constantelor de viteză măsurate k_2 în funcție de inversul concentrației totale a piridinei $1/(C_5H_5N)$ trebuie să se obțină o dreaptă conform cu reprezentarea:

$$\frac{1}{k_2} = \frac{1}{k_3[C_5H_5N]} + \frac{K}{k_3}[BuOH] \quad (2.10)$$

Ordonata în origine trebuie să fie o funcție liniară de concentrația alcoolului iar tangente dreptelor obținute la diverse concentrații de alcool trebuie să fie practic constante.

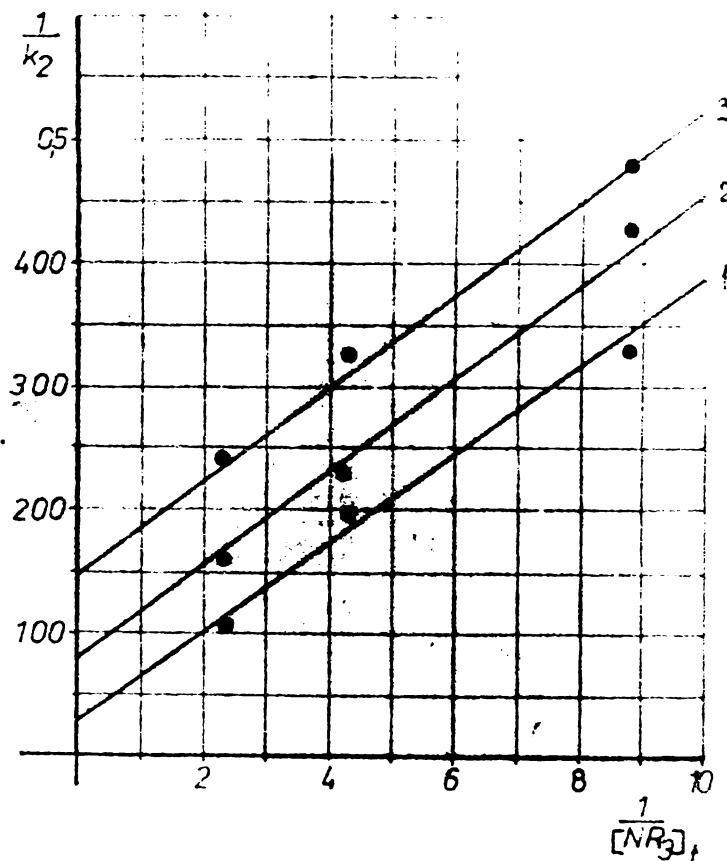
Reprezentînd grafic datele cuprinse în Tab. 36 și conformate cu cele de mai sus se obțin diagramele din Fig. 19. Se observă în limita erorilor experimentale o serie de drepte paralele cu ecuațiile:

$$\frac{1}{k_2} = 37,5 \frac{1}{C_5H_5N} + 150 \quad \text{pentru } [BuOH] = 1,20 \text{ mol/kg} \quad (2.11)$$

$$\frac{1}{k_2} = 37,0 \frac{1}{C_5H_5N} + 80 \quad \text{pentru } [BuOH] = 0,80 \text{ mol/kg} \quad (2.12)$$

$$\frac{1}{k_2} = 35,5 \frac{1}{C_5H_5N} + 30 \quad \text{pentru } [BuOH] = 0,40 \text{ mol/kg} \quad (2.13)$$

Fig. 19. Reprezentarea grafică a valorii $1/k_2$ funcție de $1/(NR_3)_t$ la reacția fenilizocianatului cu butanol la diferite rapoarte molare.

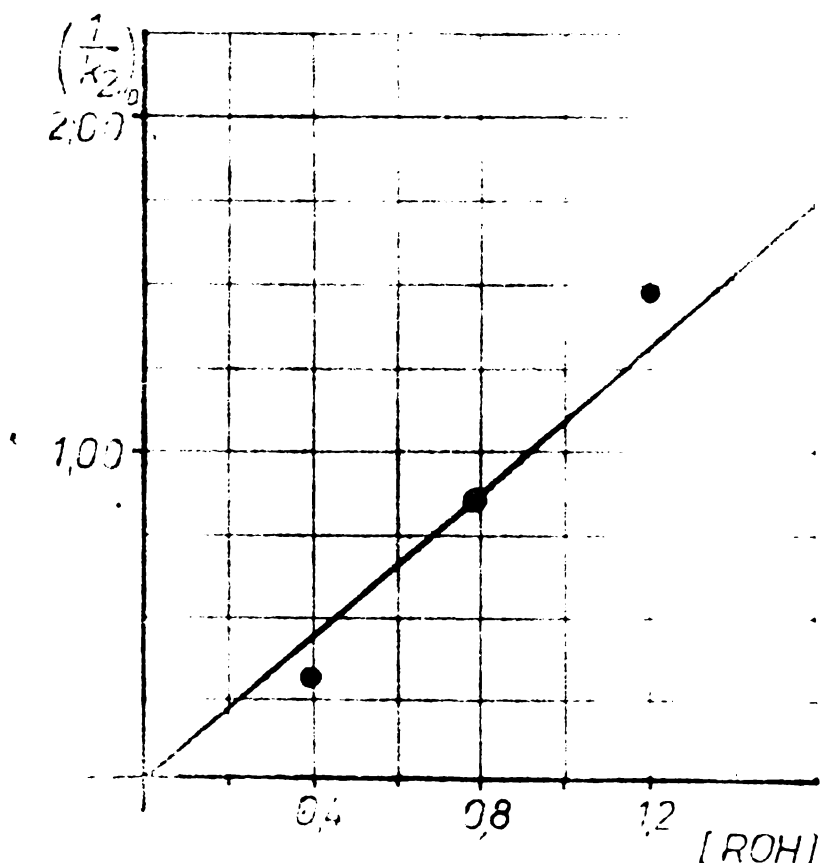


Raport molar $C_6H_5NCO : n\text{-BuOH} = 1) 1:1; 2) 1:2;$
 3) $1:3.$

Tangenta celor trei drepte este practic constantă în limita erorilor experimentale, valoarea medie fiind 36,7. Reprezentând ordonatele în origine în funcție de concentrația alcoolului se obține o dreaptă ce trece prin origine Fig.2o, de forma:

$$\left(\frac{1}{k_{2,0}^{1,0}} \right) = 125 \text{ (BuOH)} \quad (2,14)$$

Fig.2o. Reprezentarea grafică a valorii $\left(\frac{1}{k_{2,0}^{1,0}} \right)$ funcție de concentrația alcoolului $[ROH]$.



Din aceste reprezentări rezultă $\frac{1}{k_3} = 36,7$ deci
 $k_3 = 27,2 \times 10^{-3}$ kg/mol.sec, iar $\frac{K}{k_3} = 125;^3$
 $K = 125 \times 27,2 \times 10^{-3}$ rezultă $K = 3,40.$

Constanta de viteză astfel corectată este mai mare decât cea determinată experimental pentru diverse concentrații de alcool. Studiile următoare au fost pentru simplificare efectuate însă la raport molar izocianat/alcool constant de 1/2, constantele de ordinul trei calculate fiind reportate la concentrația globală a aminei terțiare. Constantele astfel calculate rintă afectate de o eroare sistematică, fiind ceva mai mici

față de cele reale. Dacă însă concentrația alcoolului se menține constantă ele rămân perfect comparabile și în consecință utilizabile pentru determinarea mecanismului de reacție și caracterizării reactivității alcoolilor și izocianatilor precum și pentru stabilirea activității catalizatorilor.

Constanta de asociere de $K = 3,40$ reprezintă o valoare relativ importantă și explică influența mare pe care o prezintă creșterea concentrației alcoolului pentru dezactivarea aminei.

2.2.3. Influenta naturii alcoolului.

Din tabelul alăturat Tab.37 rezultă constantele de viteză ale reacției fenilizocianatului cu diversi alcooli în prezența catalitică a piridinei.

Tab.37. Constantele de viteză pentru reacția fenilizocianatului ($0,40$ mol/kg) cu diversi alcooli ($0,80$ mol/kg) catalizată de piridină în CCl_4 la $32^{\circ}C$ și constantele Taft pentru alcoolii studiați.

Alcool	Conc. Py (mol/kg)	$k_2 \times 10^3$ (kg/mol ² sec ⁵)	$k_3 \times 10^3$ (kg ² /mol ² sec)	σ (56,57)	E_S (56,57)
i-BuOH	0	0,69	8,91	-0,125	-0,93
	0,1	1,51	$r=0,998$		
	0,2	2,35			
	0,3	3,36			
n-BuOH	0	1,13	13,12	-0,13	-0,39
	0,114	2,32	$r=0,994$		
	0,234	4,50			
	0,425	6,55			
MeOH	0	1,09	27,77	0	0
	0,1	3,66	$r=0,999$		
	0,2	6,65			
	0,3	9,35			
n-BuOCH ₂ CH ₂ OH	0	0,093	13,59	-0,185	-0,97
	0,1	1,508	$r=0,996$		
	0,2	2,56			
	0,3	4,27			

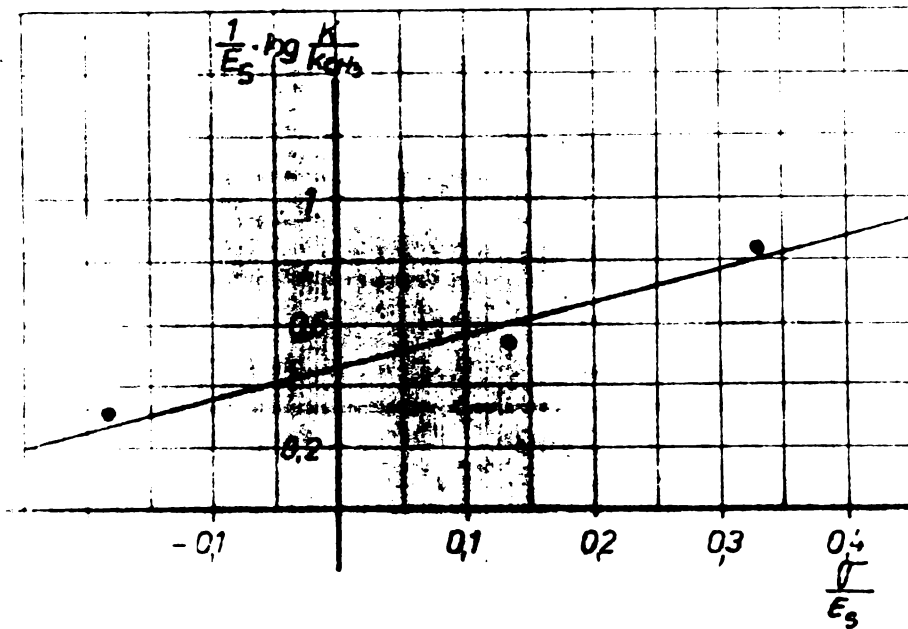
Deși a fost examinat un număr redus de alcooli totuși se poate afirma în baza reprezentării de tip Taft din Fig. 21 și a ecuației deduse din aceasta:

$$\log \frac{k_R}{k_{\text{CH}_3}} = 0,95 \bar{v} + 0,47 E_S \quad (r=0,970) \quad (2,15)$$

că substituenții atrăgători de electroni facilizează reacția spre deosebire de cazul procesului necatalitic în care aceștia micșorează viteza de reacție. De aici se poate deduce că alcoolul joacă un rol electrofil în etapa lentă, rol complet diferit de cel nucleofil jucat în procesul necatalizat.

Cresterea volumului substituenților prezintă un efect de împiedicare sterică similară cu cea observată în procesul necatalizat.

Fig. 21. Reprezentare grafică de tip Taft pentru reacția fenilizocianatului (0,40 mol/kg) cu diversi alcooli (0,80 mol/kg) catalizat de piridină în CCl_4 la 32°C ,



2.2.4. Influenta bazicității aminelor terțiare asupra efectului lor catalitic.

Dependența liniară a constanțelor de viteză de ordinul doi de concentrația aminei terțiare indică participarea directă a acesteia la proces. Pentru clarificarea modului de acțiune a aminelor terțiare a fost examinată influența bazicității și a efectelor sterice asupra constanțelor de viteză de ordinul trei în raport cu catalizatorul amonic. Din datele experimentale

cuprinse în Tab. 38, 39, 40, 41 se trage concluzia că activitatea catalitică a aminelor terțiare depind atât de bazicitate cît și de încărcarea lor sterică la nivelul azotului terțiar. Astfel aminele terțiare s-au putut împărții în patru grupe. Cele patru grupe sunt caracterizate fiecare de aceeași încărcare sterică, activitatea catalitică crescînd odată cu bazicitatea aminei terțiare.

Tab. 38. Constantele de viteză pentru reacția fenilizocianatului (0,4 mol/kg) cu n-butanol (0,8 mol/kg) catalizată de diferite amine terțiare din clasa de încărcare sterică A în CCl_4 la 32°C .

Nr.	Amină tertiară	Conc. (mol/kg)	$k_2 \times 10^3$ (kg/mol.sec)	$k_3 \times 10^3$ ($\text{kg}^2/\text{mol}^2\text{sec}$)	pK_a (60)
1.		0	1,03	$\frac{310}{2} = 155$	8,8
		0,0109	4,16		
		0,0205	7,00	$r = 0,998$	
		0,0300	10,40		
2.		0	1,03	21,75	6,03
		0,114	3,61	$r = 1$	
		0,233	-		
		0,410	-		
3.		0	1,03	18,33	5,52
		0,114	3,12	$r = 0,999$	
		0,233	5,40		
		0,410	-		
4.		0	1,03	13,60	5,21
		0,114	2,32	$r = 0,995$	
		0,233	4,50		
		0,410	6,55		
5.		0	1,03	0,98	2,84
		0,114	1,22	$r = 0,994$	
		0,233	1,32		
		0,410	1,53		
6.		0	1,03	12,2	5,94
		0,114	2,27	$r = 0,998$	
		0,233	3,96		
		0,410	6,08		

Reprezentarea grafică de tip Brønsted a logaritmului constantelor de viteză în funcție de pK_a aminei din Fig. 22 permite observarea a patru drepte distincte.

Prima dreaptă A, Fig.22, Tab.38 reprezintă corelarea Brønsted în cazul aminelor terțiare cu efecte sterice foarte mici cum ar fi de exemplu diazabiciclooctanul și piridinelo β și substituite. Este de remarcat că 3-brompiridina se încadrează totuși mai degrabă în categoria bazelor din dreapta B Fig.22.

Corelarea Brønsted este în acest caz:

$$\log k = 0,294 \text{ pK}_a - 3,4 \quad (2,16)$$

A doua categorie de baze conține un azot implicat într-un ciclu și o grupă metilică B Fig.22 Tab.39 la care se adaugă 3-brompiridina.

Corelarea Brønsted în acest caz este:

$$\log k = 0,300 \text{ pK}_a - 3,9 \quad (2,17)$$

Tab.39. Constantele de viteză pentru reacția fenilizocianatului (0,40 mol/kg) cu n-butanol (0,8 mol/kg) catalizată de diferite amine terțiare din clasa de încărcare sterică B în CCl_4 la 32°C .

Nr.	Amina terțiară	Conc. (mol/kg)	$k_2 \times 10^3$ (kg/mol.sec)	$k_3 \times 10^3$ (kg ² /mol ² sec)	pK _a (60)
13.	$\text{CH}_3-\text{N}-\text{C}_6\text{H}_4-\text{CH}_3$	0	1,03	110,4	10,08
		0,0505	5,976	$r = 0,999$	
		0,1011	11,71		
		0,1516	17,72		
14.	$\text{CH}_3-\text{N}(\text{CH}_3)-\text{CH}_3$	0	1,03	$\frac{90,05}{2} = 45$	8,29
		0,0459	4,58		
		0,0918	9,16	$r = 0,999$	
		0,1378	13,29		
15.	$\text{CH}_3-\text{N}(\text{CH}_3)-\text{O}$	0	1,03	23,24	7,38
		0,0562	2,17	$r = 0,998$	
		0,1122	3,37		
		0,2248	6,23		

Bazele piridinice cu doi metili în α constituie a treia categorie C Fig.22 Tab.40 având o corelare Brønsted:

$$\log k = 0,300 \text{ pK}_a - 3,98 \quad (2,18)$$

Tab. 40. Constantele de viteza pentru reacția fenil-izocianatului (0,4 mol/kg) cu n-butanol (0,8 mol/kg) catalizată de diferite amine terțiare din clasa de încărcare sterică C în CCl_4 la 32°C .

Nr.	Amină tertiară	Conc. (mol/kg)	$k_2 \times 10^3$ (kg/mol·sec)	$k_3 \times 10^3$ ($\text{kg}^2/\text{mol}^2\text{sec}$)	pK_a (60)
7.		0	1,03	9,76	6,60
		0,114	2,37	$r = 0,999$	
		0,233	3,42		
		0,410	5,19		
8.		0	1,03	22,1	7,43
		0,114	3,63	$r = 0,997$	
		0,1743	4,72		
		0,233	6,39		

In sfîrșit cele mai împiedicate steric sînt aminele terțiare conținînd grupări etil grefate la azot cum sînt cele din Tab. 41 dreapta D Fig. 22.

Pentru acestea corelarea Brønsted este:

$$\log k = 0,305 pK_a - 4,2 \quad (2,19)$$

Tab. 41. Constantele de viteza pentru reacția fenil-izocianatului (0,40 mol/kg) cu n-butanol (0,80 mol/kg) catalizată de diferite amine terțiare din clasa de încărcare sterică D în CCl_4 la 32°C .

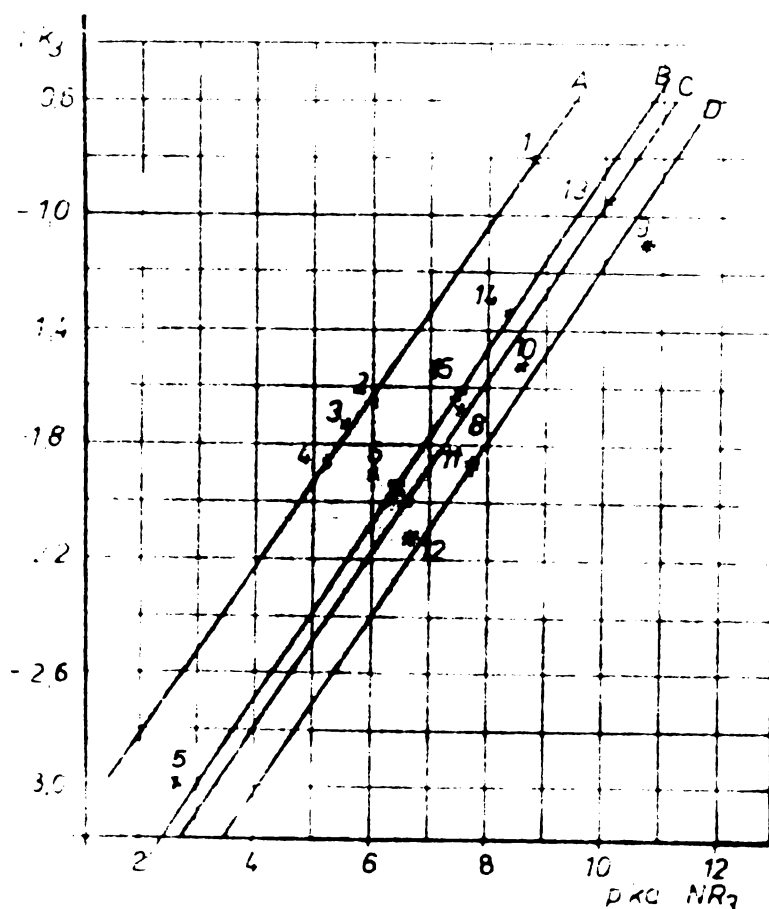
Nr.	Amina tertiară	Conc. (mol/kg)	$k_2 \times 10^3$ (kg/mol·sec)	$k_3 \times 10^3$ ($\text{kg}^2/\text{mol}^2\text{sec}$)	pK_a (60)
9.	$(\text{CH}_3\text{CH}_2)_3\text{N}$	0	1,03	79	10,67
		0,0430	4,08	$r = 0,999$	
		0,0862	7,55		
		0,1291	11,18		
10.	$(\text{HOCH}_2\text{CH}_2)_2\text{NCH}_3$	0	1,03	26,33	8,52
		0,0545	2,19	$r = 0,997$	
		0,1092	3,90		
		0,1637	5,25		
11.		0	1,03	13,71	7,67
		0,0995	2,395	$r = 0,999$	
		0,1986	3,67		
		0,2983	5,15		

Nr.	Amina tertiară	Conc., (mol/kg)	$k_2 \times 10^3$ (kg/mol·sec)	$k_3 \times 10^3$ (kg ² /mol ² sec)	pK _a (60)
12.		0	1,03	$\frac{15,09}{2} = 7,54$	6,65
	<chem>C1CCN(C2=CC=C2)C1</chem>	0,0404	1,74		
		0,1597	3,28	r = 0,998	
		0,3192	5,92		

După cum se observă din Fig.22 se pare că dreptele corespunzînd unor încărcări sterice progresiv crescînde au tangente tot mai mici astfel încît apar concurente. Se poate deduce de aici că efectul pK_a asupra vitezei de reacție este cu atât mai mic cu cât încărcarea sterică este mai mare și respectiv că la bazicități foarte mici încărcarea sterică pierde din importanță.

Putem afirma în concluzie că amina terțiară joacă un rol nucleofil efectuînd un atac la atomul de carbon al izocianatului. Efectul steric important exclude un rol simplu de bază al acesteia (61,62).

Fig.22, Reprezentarea de tip Brønsted a catalizatorilor de tip amînă terțiară la reacția fenilizocianatului (0,40 mol/kg) cu n-butanol (0,80 mol/kg) în CCl₄ la 32°C.



După cum se vede din Fig. 22 și corelațiile corespunzătoare dreptelor A, B, C și D coeficientul de proporționalitate a logaritmului constantelor de viteză cu pK_a aminelor rămâne practic constant în toate cazurile. Prin acestea se confirmă menținerea aceluiași tip de mecanism de reacție și chiar mai mult același tip de stare de tranziție. Efectele sterice au ca urmare doar modificarea ordonatei în origine care devine după cum este normal cu atât mai mică cu cât impiedicarea sterică este mai importantă.

Tab. 42. Constantele de viteză pentru reacția arilizocianatilor diferit substituți (0,40 mol/kg) cu n-butanol (0,80 mol/kg) în prezența piridinei în CCl_4 la $32^\circ C$,

$X-C_6H_4-NCO$	Conc. Py (mol/kg)	$k_2 \times 10^3$ (kg/mol.sec)	$k_3 \times 10^3$ ($kg^2/mol^2\ sec.$)	ρ (56)
$p-CH_3$	0	1,35	6,75	-0,17
	0,1149	1,76	$r = 0,990$	
	0,2430	2,95		
	0,4040	3,96		
$m-CH_3$	0	1,26	12,47	-0,069
	0,1149	1,69	$r = 0,976$	
	0,2430	3,53		
	0,4040	6,13		
H	0	1,13	13,77	0
	0,1149	2,32	$r = 0,996$	
	0,2430	4,50		
	0,4040	6,55		
$p-Cl$	0	6,0	95,20	0,227
	0,1149	16,82	$r = 0,999$	
	0,243	28,56		
	0,4040	44,59		
$m-Cl$	0	9,79	222,60	0,373
	0,1149	31,14	$r = 0,996$	
	0,243	56,28		
	0,4040	100		

2.2.5. Influența substituentilor în nucleul izocianatului.

Influența substituentilor din nucleul izocianatilor asupra reacției arilizocianatilor cu butanol în prezența piridinei este redată de constantele de viteză din Tab. 42 iar în Fig. 23 se

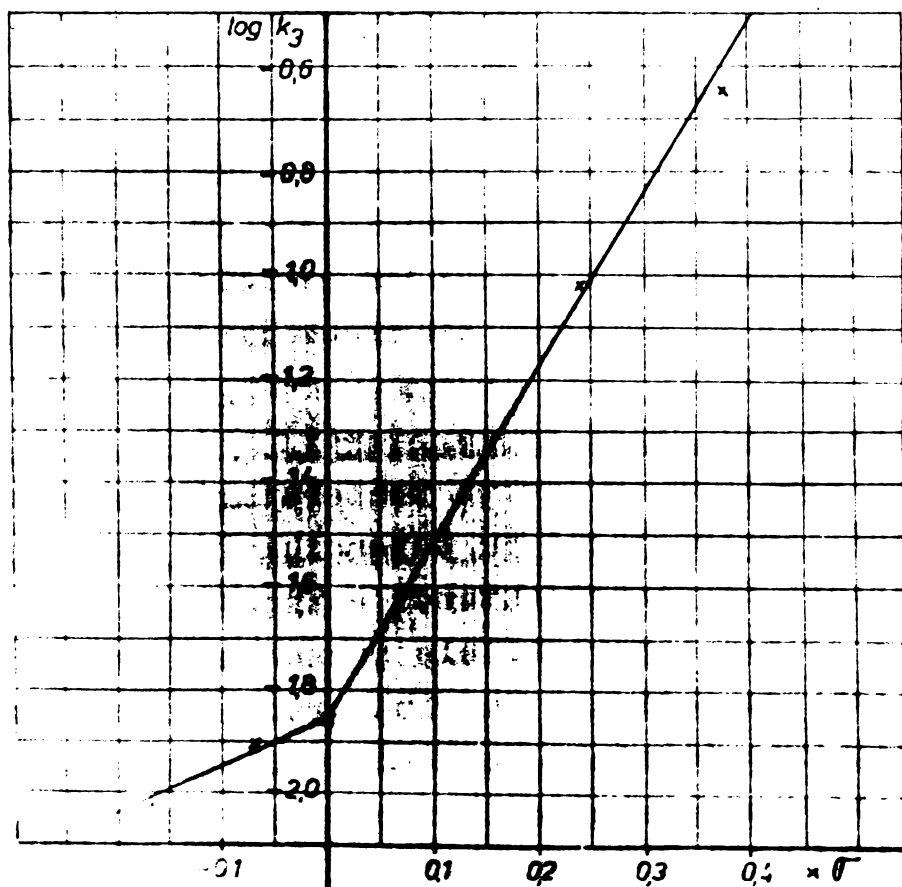
prezență variația logaritmului acestor constante cu parametrii Hammett de substituent.

Ca și în cazul procesului necatalizat, în cataliza piridinei se observă o dublă corelare de tip Hammett – una pentru substituenții donori de electroni iar alta pentru cei atrăgători. În ambele cazuri izocianatul joacă un rol electrofil. În cazul substituenților atrăgători de electroni (2,20) influența acestora asupra vitezei de reacție este mult mai mare decât în cazul celor donori (2,21).

$$\log k = 3,28\sigma - 1,834 \quad r = 0,995 \quad (2,20)$$

$$\log k = 1,88\sigma - 1,828 \quad r = 0,959 \quad (2,21)$$

Fig. 23. Corelarea Hammett pentru reacția fenilizocianatelor substituți (0,40 mol/kg) cu n-butanol (0,80 mol/kg) în prezență de piridină în CCl_4 la 32°C .



2.2.6. Efectul izotopic de deuteriu la reacția fenilizocianatului cu metanol catalizată de piridină.

Pentru elucidarea mecanismului de reacție s-au determinat și efectele cinetice izotopice de deuteriu ale reacției fenilizocianatului cu metanol deuterat. Determinările s-au efectuat urmărind apariția benzii de absorbție ND din uretanul ce se formează din reacția fenilizocianatului cu metanol deuterat de la 5015 cm^{-1} . Constantele de viteză cu alcoolul obisnuit și deuterat sunt prezentate în Tab. 43.

Tab. 43. Efectul kinetic izotopic de deuteriu la reacția fenilizocianatului ($0,30 \text{ mol/kg}$) cu metanol ($0,60 \text{ mol/kg}$) în CCl_4 la 32°C .

Nr.	Conc. Piridină (mol/kg)	$k_2^H \times 10^3$ (kg/mol.sec)	$k_2^D \times 10^3$ (kg/mol.sec)
1.	0	1,09	0,563
2.	0,1	3,66	1,82
3.	0,2	6,65	2,81
4.	0,3	9,35	4,3

$$k_3^H = 27,77 \times 10^{-3} \text{ kg}^2/\text{mol}^2\text{sec}, \quad r = 0,999$$

$$k_3^D = 12,2 \times 10^{-3} \text{ kg}^2/\text{mol}^2\text{sec}, \quad r = 0,997$$

Valoarea efectului izotopic de deuteriu în prezența piridinei de $k_3^H/k_3^D = 2,27$ este suficient de mare pentru a putea considera că transferul de proton alcoolic participă la etapa lentă a procesului generând un efect izotopic kinetic primar.

2.2.7. Influența temperaturii

S-a examinat influența temperaturii asupra vitezei de reacție a fenilizocianatului cu butanolul în prezența piridinei la diverse raporturi izocianat/butanol – Tab. 44.

Din datele experimentale prezentate rezultă că parametrii spațiali de activare nu sunt practic influențați, în limita unor erori experimentale rezonabile de raportul dintre reactanți. Aceasta constatare ne îndreptăște să considerăm că influența asocierii piridinei cu butanolul descris anterior nu afectează în mod esențial parametrii de activare deși constantele de viteză sunt evident determinate cu o eroare sistematică, după cum a fost deja arătat.

Parametrii de activare devin astfel interpretabili pentru elucidarea mecanismului de reacție.

Entalpia de activare relativ scăzută și entropia de activare foarte redusă sănătă indici clari pentru o stare de tranziție implicind o ordine importantă a moleculelor reactante și o compensare avansată a energiei de scindare a unor legături prin energia de formare a altora.

Tab.44. Influența temperaturii și a raportului dintre reactanți asupra reacției fenilizocianatului cu n-butanol catalizată de piridină (0,23 mol/kg) în CCl_4 la 32°C .

$\frac{\text{C}_6\text{H}_5\text{NCO}}{\text{n-BuOH}}$	$k_2 \times 10^3$ (kg/mol.sec)	ΔS^\ddagger	ΔH^\ddagger				
	32°C	42°C	52°C	62°C	J/mol K	KJ/mol	x
1/1	4,64	7,47	10,14	14,36	-194	29,03	0,997
1/2	3,51	5,44	8,3	11,95	-186	32,2	0,999
1/3	3,04	4,56	7,13	9,46	-193	30,36	0,997

2.2.8. Influența solventului

Studiile cinetice efectuate în cîteva solventi cu polaritate diferită (Tab.45) demonstrează că în procesul catalizat de aminele terțiare polaritatea solventului nu joacă un rol esențial. Starea de tranziție pare să fi în măsură egală solvatată fără de starea initială.

Tab.45. Influența polarității solventului asupra reacției catalizate de piridină dintre fenilizocianat (0,40 mol/kg) și n-butanol (0,80 mol/kg) în CCl_4 la 32°C .

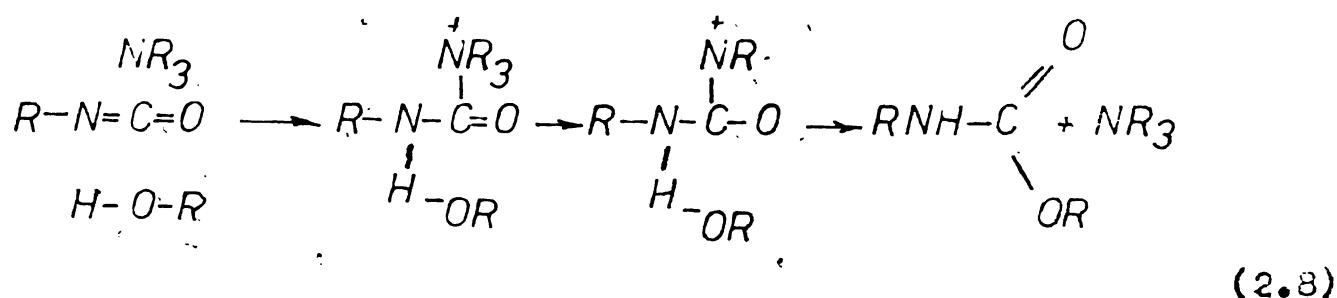
Nr.	Solvent	E_T (59)	$k_3 \times 10^3$ ($\text{kg}^2/\text{mol}^2\text{sec.}$)
1.	CCl_4	32,5	13,2
2.	C_6H_6	34,5	9,8
3.	Cloroform	39,1	10,3
4.	Clorură de metilen	41,1	13,1

2.2.9. Concluzii

Caracterul nucleofil al aminelor terțiare precum și efectele sterice importante care se observă la nivelul azotului acestora ne determină să considerăm că etapa lentă este atacul nucleofil al azotului aminic la izocianat. Izocianatul are un caracter electrofil ce corespunde cu un astfel de mecanism. Caracterul electrofil al alcoolului poate fi înțeles numai dacă acceptăm că în acest proces el joacă rolul de donor de proton către azotul izocianatului în etapa lentă. Acest rol este susținut de efectul izotopic kinetic important. Importanța impiedicării sterice la nivelul alcoolului poate fi înțeleasă dacă acceptăm o stare de tranziție relativ încărcată, constituită dintr-o moleculă de izocianat, una de amină și una de alcohol.



Această stare de tranziție explică și entropiile de activare foarte scăzute indicând o ordine avansată precum și entalpiile scăzute prin compensarea energiilor de rupere și formare de legături covalente. Produsul etapei lente este o sare de uroniu care reacționează rapid cu o moleculă de alcohol trecind în uretanul corespunzător și regenerând catalizatorul aminic.



Rolul redus al polarității solventului nu poate fi înțeles decât dacă admitem că solvatarea individuală a celor trei molecule care participă la reacție nu diferă prea mult de solvarea stării de tranziție. Atât moleculele inițiale cât și starea de tranziție având o polaritate mare trebuie să fie puternic solvatate.

2.3. Studiul reacțiilor catalizate de compuși organici ai staniului.

Pe lîngă catalizatorii de tip amînă terțiară studiați în capitolul precedent se mai disting prin importanță lor industrială catalizatorii organo-metalici ai staniului. Activitatea catalitică însemnată al acestor compuși și controversele literaturii de specialitate privind mecanismul de acționare al acestora au impus efectuarea prezentului studiu. Cunoașterea exactă a mecanismului de acționare al acestor compuși asupra reacției izocianatilor cu alcoolii permite rationalizarea metodicilor de sinteză a poliuretanilor.

2.3.1. Tehnica experimentală. Modelul cinetic.

Tehnica experimentală a fost asemănătoare cu cea utilizată la studiul procesului necatalitic, respectiv catalizat prin aminele terțiare. Întru-cît au fost necesare cantități foarte mici de catalizator s-a preparat cu anticipație o soluție de compus de staniu în CCl_4 prin cîntărire. Din această soluție a fost preluată cantitatea dorită pentru o concentrație dată a catalizatorului, și s-a adăugat solvent CCl_4 și alcool și a fost termostatată. În momentul zero a fost adăugat cu o sirină cantitatea necesară de izocianat și s-a agitat. S-au înregistrat apoi din timp în timp benzile corespunzătoare armonicii superioare a vibrăției de valență NH . Pe baza unei etalonări efectuate în același condiții, înregistrând spectre NIR a unor soluții conținând, alcool și uretan în proporții diferite și catalizator, s-a determinat cantitatea de uretan rezultat în fiecare moment.

S-au calculat constantele de viteză de ordinul doi – una față de alcool și izocianat – prin metoda integrală deja menționată.

Constantele de viteză de ordin doi măsurate pentru diverse concentrații de catalizator sunt proportionale cu concentrația acestora după cum reiese din Tab. 46 și Fig. 24. În aceste condiții au putut fi definite constante de viteză de ordinul trei reprezentând tangenta reprezentării liniare a constantelor de viteză de ordinul doi față de concentrația catalizatorului.

După cum se vede din Fig. 24 ordonata în origine corespunzătoare procesului necatalitic se menține practic constantă în limite erorilor experimentale.

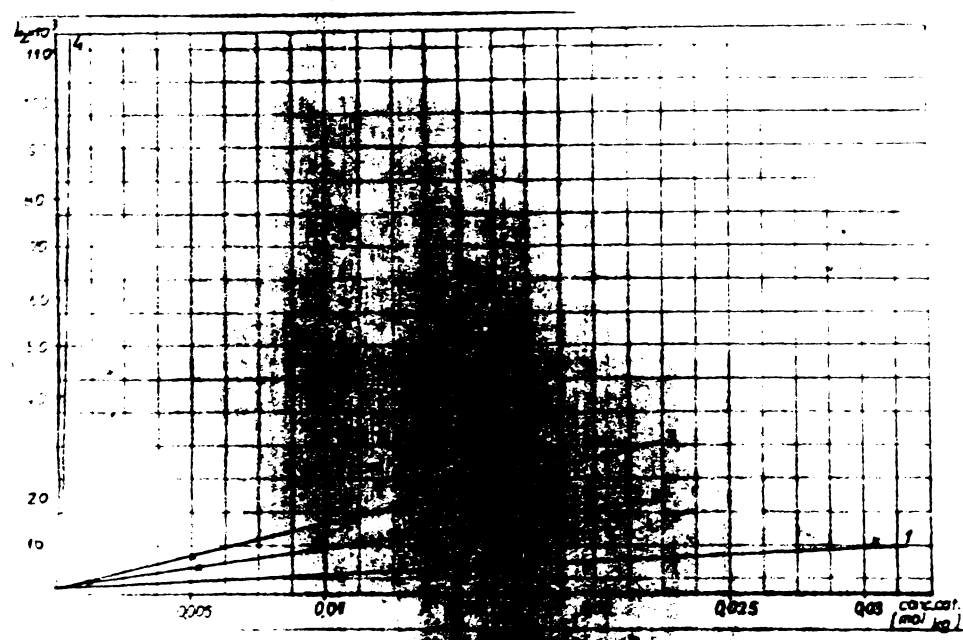
Tab. 46. Influența catalizatorului de staniu asupra reacției dintre fenilizocianat ($0,40 \text{ mol/kg}$) și n-butanol ($0,80 \text{ mol/kg}$) în CCl_4 la 32°C .

Nr.	Catalizator	Conc. Cat. (mol/kg)	$k_2 \times 10^3$ (kg/mol.sec)	$k_3 \times 10^3$ (kg^2/mol^2 sec.)
1.	$(\text{C}_7\text{H}_{15}\text{COO})_2\text{Sn}$	0	1,13	345
		0,0104	3,79	$r = 0,993$
		0,0198	7,10	
		0,0304	11,62	
2.	$(\text{C}_4\text{H}_9)_2\text{SnCl}_2$	0	1,13	835
		0,0052	6,43	$r = 0,995$
		0,010	10,28	
		0,015	13,70	
3.	$(\text{C}_4\text{H}_9)_3\text{SnOCOCH}_3$	0	1,13	1078
		0,005	8,86	$r = 0,978$
		0,01	14,58	
		0,015	17,20	
4.	$(\text{C}_4\text{H}_9)_2\text{Sn}(\text{OCOC}_{11}\text{H}_{23})_2$	0	1,13	206400
		$0,7508 \times 10^{-4}$	27,3	$r = 0,998$
		$1,26 \times 10^{-4}$	38,8	
		$2,546 \times 10^{-4}$	68,6	
		$5,183 \times 10^{-4}$	117,9	

2.3.2. Influenta structurii catalizatorului

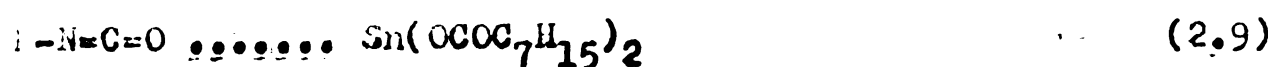
In Tab. 46 au fost indicate constantele de viteză de ordinul trei ale reacției fenilizocianatului cu butanolul în CCl_4 la 32°C . Deși numărul de compuși și staniului studiați este relativ mic, se poate conchide imediat că acțiunea catalitică a acestor combinații este incomparabilă mai mare decât cea a aminelor terțiare. Chiar emina terțiară cea mai reactivă, diazabiciclooctanul este de circa 2 ori mai puțin activă decât dioctoastul stanos (Tab. 38 și Tab. 46) și de 1331 ori mai puțin activă decât dibutildileauratul stanic. Este de asemenea evident că produsul stanos studiat este mai puțin reactiv decât compuși stanici. Această constatare exclude o acțiune catalitică de tip electrofil care ar putea fi eventual considerată.

Fig. 24. Influența naturii catalizatorului organic al staniului asupra reacției dintre fenilizocianat ($0,40 \text{ mol/kg}$) și butanol ($0,80 \text{ mol/kg}$) în CCl_4 la 32°C .



- 1) $(\text{C}_7\text{H}_{15}\text{COO})_2\text{Sn}$; 2) $(\text{C}_4\text{H}_9)_2\text{SnCl}_2$; 3) $(\text{C}_4\text{H}_9)_3\text{SnOCOCH}_3$
4) $(\text{C}_4\text{H}_9)_2\text{Sn}(\text{OCOC}_{11}\text{H}_{23})_2$

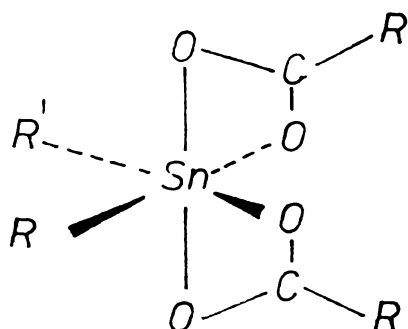
Prin coordonarea staniului la atomul de oxigen sau azot al izocianatului ar crește pozitivarea atomului de carbon și deci reactivitatea izocianatului



In cazul unui astfel de mecanism dioctoatul stanos avind un atom de staniu deficitar în electroni pe un orbital p ar trebui să fie mai activ decât compușii stanici care nu au disponibil decât orbitali d. În fapt însă se constată dimpotrivă căci compușii stanici sunt mult mai reactivi decât cei stanosi. Deși ceea ce examinăm comparativ activitatea compușilor stanici observăm o creștere importantă la trecerea de la derivații cloruri la cei conținând resturi de acizi organici. Activitatea

optimă se obține atunci cînd moleculă conține două resturi de acizi carboxilici și două resturi alchilice,

Dibutildidodecanoatul stanic este de cca. 200 de ori mai activ atît față de dibutil diclorura stanică cît și față de tributil acetatul stanic. Trebuie să acceptăm în consecință că pentru activitatea catalitică sînt necesare două resturi alchilice și două acilice. Dacă avem în vedere energie de legătura Sn-Cl de 76 kcal/mol, Sn-O de 132 kcal/mol și Sn-C de 45 kcal/mol (63) precum și faptul demonstrat că dialchil dicarboxilații au o structură cu o coordonare octaedrică la atomul de Sn cu caracter de complexi interni (64):



(2.10)

Rezultă fără îndoială că cel mai ușor se scindează legăturile alchil staniu. Așa dar alcoolii și izocianatii trebuie să se activeze cu compusul de staniu coordonindu-se la atomul central prin substituirea celor două grupări alchilice, existente. Prezența a două grupări carboxilice care blochează posibilitatea ulterioară de coordonare la staniu facilitează reacția. Dacă la staniu se coordonează trei sau mai multe molecule de alcool sau izocianat eficiența catalitică scade. Acesta trebuie să fie cazul tributil acetatului stanic sau dibutildiclor staniului.

2.3.3. Influenta substituentilor din nucleul fenil-izocianatului:

După cum reiese din Tab. 47 și reprezentarea grafică a logaritmului constantelor de viteză în funcție de parametrii Hammett de substituenți (Fig. 25), substituenții atrăgători de electroni favorizează reacția izocianatilor. Dacă facem abstracție de izocianatul de para-tolil se poate obține o reprezentare de tip Hammett de forma:

$$\log k = 1,37\sigma - 0,434 \quad r = 0,984 \quad (2.22)$$

Rezultă de aici rolul electrofil jucat de izocianatul de fenil în reacția cu alcoolii în prezența dioctoantului stanos.

Tab. 47. Constantele de viteză de ordinul doi și
trei-pentru reacția fenilizocianatilor
diferit substituți (0,40 mol/kg) cu n-bute-
nol (0,80 mol/kg) catalizată de dioctoat
stanos în CCl_4 la 32°C.

$\text{HOC}_6\text{H}_4\text{NCO}$	Conc. SnOC_2 (mol/kg)	$k_2 \times 10^3$ (kg/mol.sec)	$k_3 \times 10^3$ (kg ² /mol ² sec)	σ (56)
$p\text{-CH}_3$	0	1,35	343	-0,17
	0,0100	3,06	$r = 0,983$	
	0,0200	7,01		
	0,0300	11,46		
$m\text{-CH}_3$	0	1,26	294	-0,069
	0,0100	3,85	$r = 0,990$	
	0,0200	6,12		
	0,0300	10,3		
H	0	1,13	348	0
	0,0100	3,79	$r = 0,992$	
	0,0200	7,10		
	0,0300	11,62		
$t\text{-Cl}$	0	6,0	886	0,227
	0,0100	14,86		
	0,0200	-		
	0,0300	-		
$m\text{-Cl}$	0	9,79	1082	0,373
	0,0100	19,85	$r = 0,995$	
	0,0200	29,01		
	0,0300	42,82		

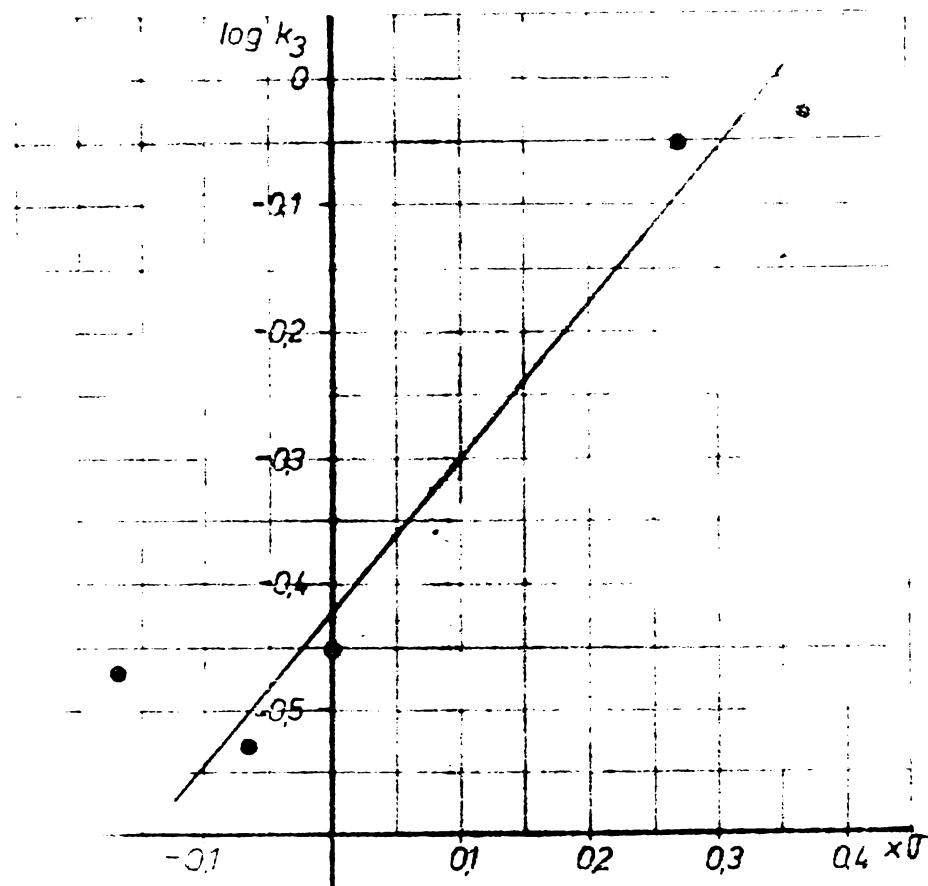
2.3.4. Influenta naturii alcoolului asupra vitezei
de reacție.

Din Tab. 48 precum și reprezentarea logaritmului
constantelor de viteză funcție de parametrii sterici E_g (Fig. 26)
rezultă o dependență a constantelor de viteză de forma:

$$\log k = -0,45 E_g - 0,724 \quad r = 0,965 \quad (2.23)$$

Este de remarcat în consecință o importantă accele-
rare sterică. Substituenții voluminoși din molecula alcoolului
favorizează în măsura importantă reacția. Efectele electronice
ale radicalului din alcool sunt însă neglijabile.

Fig.25. Corelarea Hammett pentru reacția fenilizocianatilor substituți ($0,40 \text{ mol/kg}$) cu n-butanol ($0,80 \text{ mol/kg}$) catalizată de dioctoat stenos în CCl_4 la 32°C .

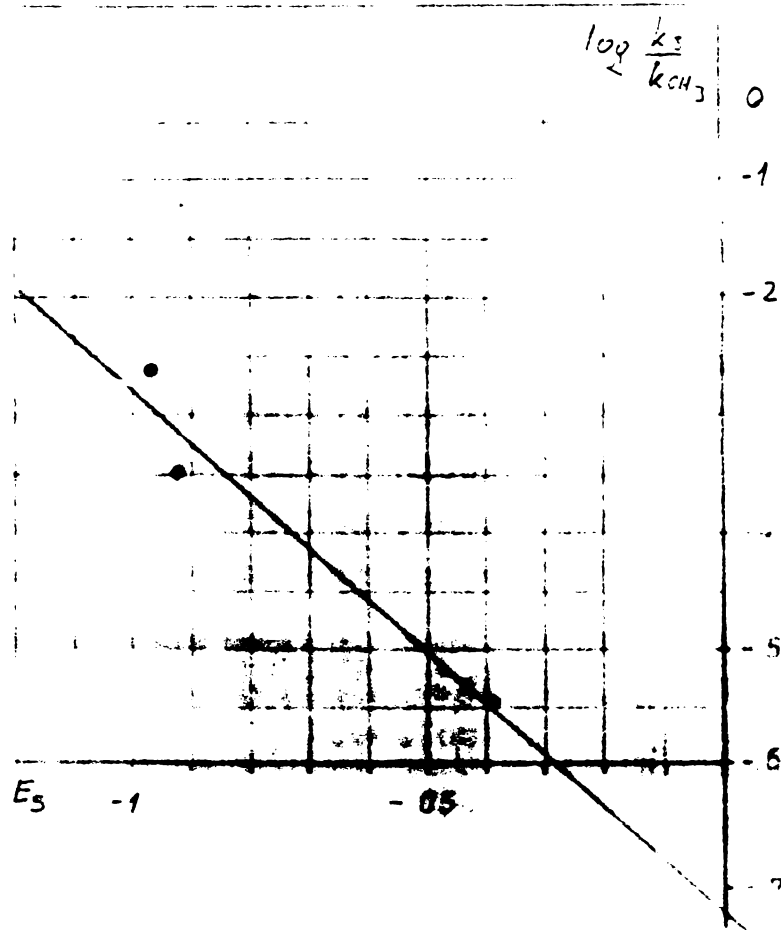


Tab.48. Constantele de viteză pentru reacția fenilizocianatului ($0,40 \text{ mol/kg}$) cu diversi alcooli ($0,80 \text{ mol/kg}$) catalizată de dioctoat stenos în CCl_4 la 32°C și constantele Taft pentru alcoolii studiați:

Alcool	$(\text{C}_7\text{H}_{15}\text{OCO})_2\text{Sn}$ (mol/kg)	$k_2 \times 10^3$ (kg/mol.sec)	$k_3 \times 10^3$ ($\text{kg}^2/\text{mol}^2\text{sec}$) (56,57)	ρ	E_s 56-7
0.	1	2	3	4	5
i-BuOH	0	0,69	545	$\approx 0,125$	-0,93
	0,01	5,10	$r=0,995$		
	0,02	12,33			
	0,03	16,51			

	1	2	3	4	5
n-BuCH ₂	0	1,13	346	-0,13	-0,39
	0,01	3,79	r=0,993		
	0,02	7,10			
	0,03	11,62			
MeCH ₂	0	1,09	1222	0	0
	0,0028	3,80	r= 0,998		
	0,0046	6,38			
	0,010	13,1			
n-BuOC ₂ H ₂ CH ₂ OH	0	0,093	679	0,185	-0,97
	0,015	10	r=0,999		
	0,02	13,8			

Fig.26. Reprezentarea grafică a logaritmului constanțelor de viteză de ordinul trei în funcție de parametrul Taft E_S pentru reacția fenilizocienatului (0,40 mol/kg) cu n-butanol (0,80 mol/kg) în CCl_4 la $32^{\circ}C$ catalizată de dioctoat stanos.



2.3.5. Influenta temperaturii asupra vitezei de reactie.

Dacă se compară entalpiile și entropiile de activare ale procesului catalizat de dioctoat stanos cu cele ale procesului necatalitic se poate observa că mărîres vitezei de reacție se datorește în exclusivitate unor factori entropicî. Entalpiile de activare în cazul proceselor catalitice sunt chiar mai mari decît entalpia reacției necatalizate.

Tab.49. Influența temperaturii asupra reacției dintre fenilizocianat ($0,40 \text{ mol/kg}$) și n-butanol ($0,80 \text{ mol/kg}$) catalizat de dioctoat stanos ($0,02 \text{ mol/kg}$) în CCl_4 la 32°C comparativ cu procesul necatalitic.

Dioctoat stanos (mol/kg)	$k_2 \times 10^3$ (kg/mol.sec)				ΔS^\ddagger	ΔH^\ddagger
	22°C	32°C	42°C	52°C		
0,02	3,47	7,10	15,32	24,06	-121	50,3
0	-	1,03	1,68	2,50	-206	26,5

2.3.6. Efectul izotopic kinetic de deuteriu la reacția fenilizocianatului cu metanol catalizat de dioctoat stanos.

După cum reiese din datele prezentate în Tab.50,51 la reacția fenilizocianatului cu metanol în prezența catalizatorului de dioctoat stanos, apare un efect izotopic kinetic de deuteriu de $k_3^{\text{H}}/k_3^{\text{D}} = 0,98$. Această valoare demonstrează că transferul de proton alcoolic la atomul de azot al izocianatului nu participă la etapa lentă a procesului.

Tab.50. Constantele de viteză de ordinul doi și trei pentru reacția fenilizocianatului ($0,30 \text{ mol/kg}$) cu metanol ($0,60 \text{ mol/kg}$) catalizat de dioctoat stanos în CCl_4 la 32°C .

Conc. dioctoat stanos (mol/kg)	$k_2^{\text{H}} \times 10^3$ (kg/mol.sec)	$k_3^{\text{H}} \times 10^3$ (kg ² /mol ² sec.)
0	1,09	1222
0,00284	3,80	$r = 0,993$
0,00465	6,38	
0,00998	13,10	

Tab.51. Constantele de viteză de ordinul doi și trei pentru reacția fenilizocianatului (0,61 mol/kg) cu metanol deuterat (1,22 mol/kg) catalizată de dioctoat stanos în CCl_4 la 32°C .

Cone. dioctoat stanos (mol/kg)	$k_2^D \times 10^3$ (kg/mol.sec)	$k_3^D \times 10^3$ (kg ² /mol ² sec)
0	0,563	1245
0,00577	9,76	$r = 0,994$
0,0159	20,70	

2.3.7. Influenta polarității solventului

Examinând datele Tab.52 și Fig.27 se observă micșorarea vitezei de reacție odată cu creșterea polarității solventului în seria: CCl_4 , C_6H_6 , CHCl_3 , CH_2Cl_2 . În cazul reacției fenilizocianatului cu n-butanol catalizate de dioctoat stanos acest răpt demonstrează clar că starea de tranziție este mai puțin polară decât starea initială. Corelarea liniară a logaritmului vitezei de reacție cu parametrul E_T este:

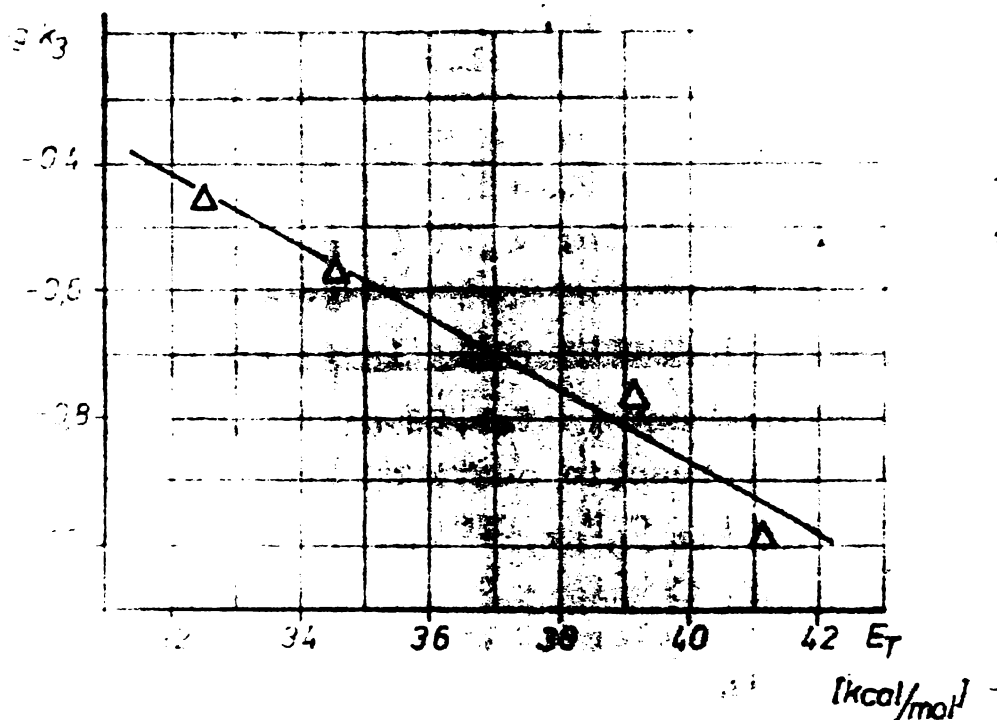
$$\log k = -0,0577 E_T + 1,427 \quad (r = 0,978) \quad (2.24)$$

Tab.52. Influenta polarității solventului asupra reacției dintre fenilizocianat (0,40 mol/kg) și n-butanol (0,80 mol/kg) catalizată de dioctoat stanos în CCl_4 la 32°C ,

solvent	E_T (59)	$k_3^D \times 10^3$ (kg ² /mol ² sec)
CCl_4	32,5	346
C_6H_6	34,5	269
CHCl_3	39,1	172
CH_2Cl_2	41,1	101

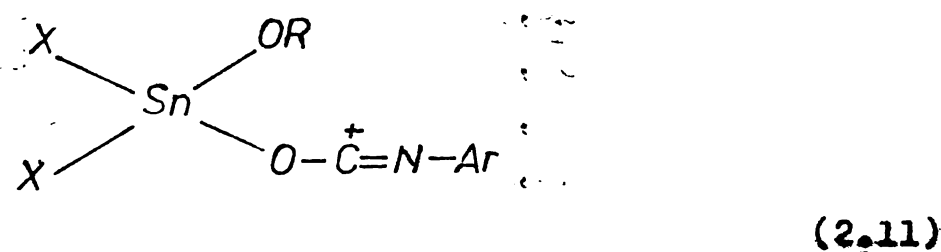
După cum se poate vedea din Fig.27 și corelarea liniară aferentă în acest caz nu mai apar efecte particulare observabile în cazul benzenu lui. Efectul global al solventului pe procesul rămâne foarte mic.

Fig. 27. Influența polarității solventului asupra reacției fenilizocianatului ($0,40 \text{ mol/kg}$) cu n-butanol ($0,80 \text{ mol/kg}$) catalizată de dioctoat stanos în CCl_4 la 32°C .



2.3.8. Concluzii. Mecanismul de reacție

Dacă avem în vedere faptul demonstrat anterior că atomul de staniu intervine foarte probabil prin două valențe în procesul catalitic, este de așteptat că intermediar se formează un complex de tip alcooxid respectiv cianat:

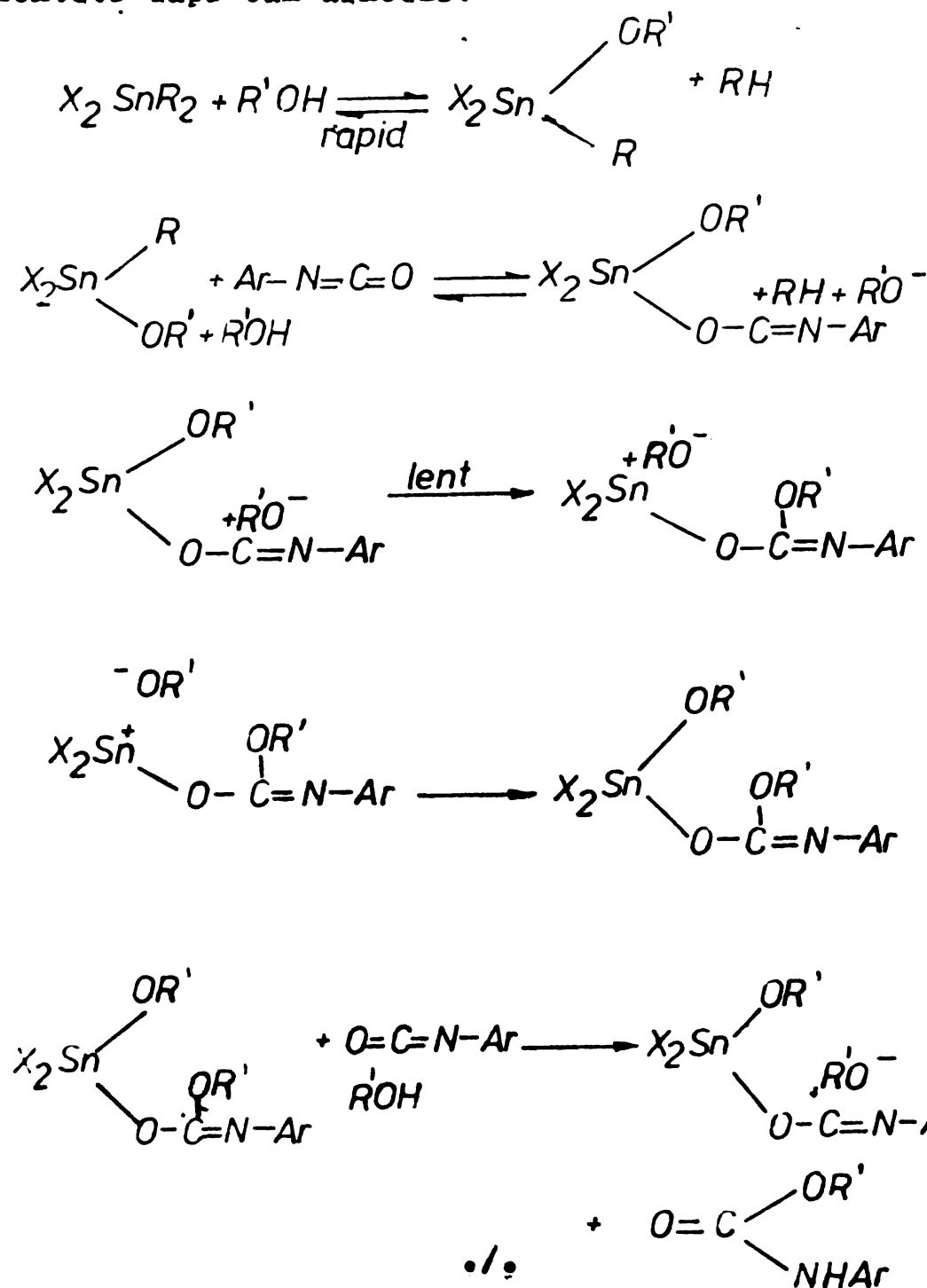


Etapa lentă trebuie să se desfășoare în cadrul acestui complex. Întrucât efectele electronice ale radicalului din alcool nu joacă practic nici un rol, aceasta facilitând reacția odată cu creșterea volumului radicelului R trebuie să exclude formarea alcooxidului stanos în etapa lentă. Se pare că în etapa lentă are de fapt loc trecerea grupării alcooxid de la staniu

la atomul de carbon din izocianat. Protonul din alcool este eliminat în etapa rapidă de formare a alcoxidului și nu joacă nici un rol în procesul lent de mai sus, după cum de altfel rezultă din efectul izotopic cinetic. Rolul izocianatului în proces este de agent electrofil. Formarea complexului de staniu cu molecule de izocianat în etapa lentă ar presupune dimpotrivă un rol nucleofil al izocianatului. Trebuie deci să admitem și din acest punct de vedere acceptarea la Carbon a ionului de alcoxid în etapa lenta.

Facilitarea entropică este ușor de înțeles dacă avem în vedere că la nivelul atomului de staniu sînt complexați ambii reactanți care ajung astfel în contact nemijlocit. Solvenții nu trebuie să influențeze decît în mică măsură transferul ionului de alcooxid în interiorul complexului. Se înțelege aşadar de ce starea de tranziție este mai puțin solvatată de reactanții polari.

Succesiunea de reacții care are loc poate fi reprezentată după cum urmează:



2.4. Studiul efectului sinergetic al amestecului de catalizatori: piridină - dioctoat stanos.

Având în vedere că în industria poliuretanilor și mai ales la sinteza spumelor poliuretanice flexibile se folosesc amestecuri de catalizatori de tip aminic și organometalic s-a studiat posibilitatea apariției unui efect sinergetic.

Având în vedere mecanismul de acțiune complet distinct a celor două tipuri de catalizatori este de așteptat ca în amestecul lor activitatea catalitică să fie o simplă sumă a activității celor doi catalizatori. Verificarea s-a făcut prin efectuarea unor studii cinetice la concentrații constante de piridină și concentrații variabile de dioctoat stanos și invers la concentrații constante de dioctoat stanos și concentrații variabile de piridină. Constantele de viteză astfel obținute figurează în Tab.53 iar variația lor cu concentrația catalizatorului este redată în figurile: Fig.28, 29.

Fig.28. Influența variației concentrației piridinei la concentrații constante de dioctoat stanos asupra reacției fenilizocianatului ($0,40$ mol/kg) cu n-butanol ($0,80$ mol/kg) în CCl_4 la 32°C .

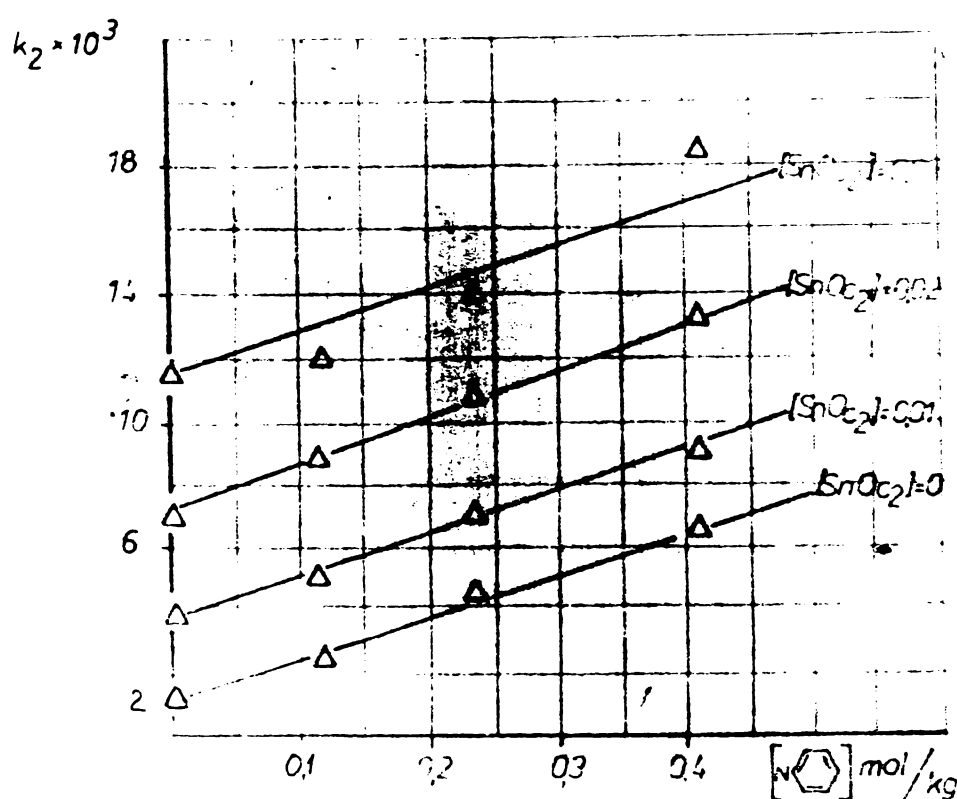
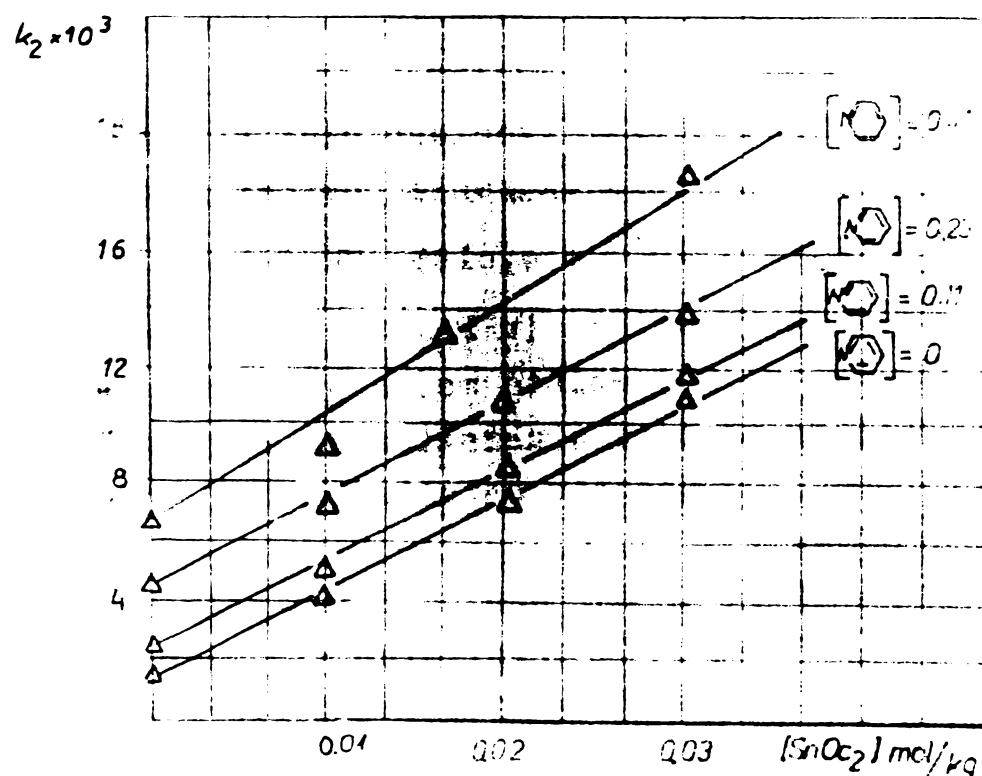


Fig.29. Influența variației concentrației dioctoatului de stanos la concentrații constante de piridină asupra reacției fenilizocianatului ($0,40 \text{ mol/kg}$) cu n-butanol ($0,80 \text{ mol/kg}$) în CCl_4 la 32°C .



Tab.53. Constantele de viteză de ordinul doi pentru reacția fenilizocianatului ($0,40 \text{ mol/kg}$) cu n-butanol ($0,80 \text{ mol/kg}$), catalizată de sistemul piridină - dioctoat stanos în CCl_4 la 32°C .

$\text{C}_5\text{H}_5\text{N}$ (mol/kg)	$k_2 \times 10^3$ (kg/mol.sec)				x
Dioctoat stanos (mol/kg)	0	0,11	0,23	0,41	
0	1,13	2,32	4,50	6,55	0,995
0,01	3,79	5,00	6,97	8,89	0,996
0,02	7,10	8,78	10,80	13,00	0,997
0,03	11,62	11,80	13,70	18,50	0,96
x	0,993	0,998	0,996	0,985	-

Fiecare din figurile de mai sus reprezintă un fascicol de drepte paralele ceea ce dovedește că activitatea amestecului de catalizatori este egală cu simpla sumă a activității lor. În aceste condiții constanta de viteză globală a unui astfel de proces catalizat prin amine terțiare și compuși de staniu se poate exprima prin relația:

$$k = k_1 + k_2 [NR_3] + k_3 [SnX_4] \quad (2.25)$$

În cazul reacției izocianatului de fenil cu n-butanol în CCl_4 la $32^{\circ}C$ această expresie devine:

$$k = 0,881 \times 10^{-3} + 0,0145 [NR_3] + 0,3457 [SnX_4] \quad (2.26)$$

unde k_2 este media tangentelor din Fig.28 iar k_3 este media tangentelor din Fig.29, k_1 reprezintă media ordonatei în origine a curbelor reprezentând procesele catalizate de piridină în absența dioctoastului stanos și respectiv catalizată de dioctoatul stanos în absența piridinei.

Rezultatele de mai sus confirmă cele două mecanisme complet distințe ale acțiunii catalitice ale aminelor terțiare și ale compușilor de staniu demonstate anterior. Se dovedește de asemenea că aminele terțiare nu interferează în acțiunea catalitică a compușilor de staniu și invers. Activitatea catalitică globală în toate cazurile poate fi calculată ca sumă a activității celor două tipuri de catalizatori.

2.5. Influenta apei asupra reacției izocianatilor cu alcoolii.

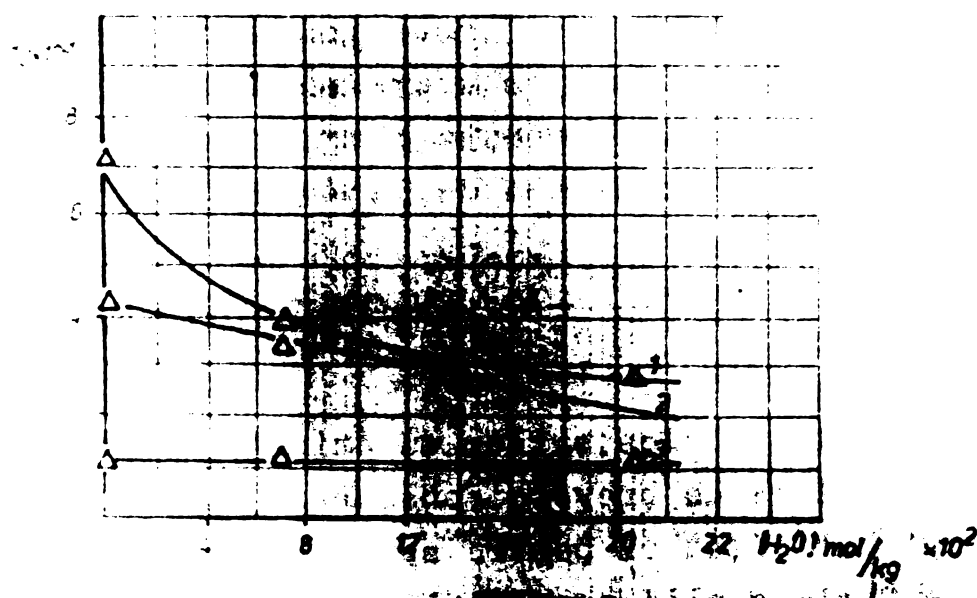
Având în vedere că la obținerea spumelor poliuretanice paralel cu formarea uretanilor din izocianat și alcool mai are loc și reacția de hidroliză a izocianatilor care duc la generare de bioxid de carbon, s-a urmărit influența apei în cantități mici și moderate asupra vitezei de reacție. A fost studiată influența apei atât asupra proceselor necatalizate cât și asupra celor catalizate cu amine terțiare și compuși stanosi.

Examinînd datele cuprinse în Tab.54 se poate observa că urmele de apă nu modifică viteză de reacție a procesului necatalizat. În cazul reacției fenilizocianatului cu n-butanol catalizată de piridină se observă că odată cu creșterea concentrației apei scade viteză de reacție ceea ce se explică prin asocierea prin legături de hidrogen a piridinei cu apă și blocarea parțială a catalizatorului (Fig.30 curba 2).

Tab. 54. Influența apei asupra reacției dintre fenil-izocianat (0,40 mol/kg) și n-butanol (0,80 mol/kg) necatalizat, catalizată de piridină și de dioctoat stanos în CCl_4 la 32°C ,

Apă (mol/kg)	$k_2 \times 10^3$ (kg/mol.sec)	necatalizat	piridină (mol/kg)	dioctoat stanos (mol/kg)
0 .	1,03		4,50	7,10
0,069	1,01	-	3,44	3,89
0,139	.	-	2,94	-
0,208	1,01		-	2,88

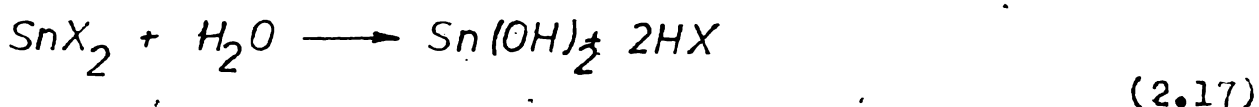
Fig. 30. Influența apei asupra reacției dintre fenil-izocianat (0,40 mol/kg) și n-butanol (0,80 mol/kg) în proces necatalizat, catalizat de 0,234 mol/kg piridină și de 0,02 mol/kg dioctoat stanos în CCl_4 la 32°C .



1) - necatalizat; 2) - piridină; 3) - dioctoat stanos

Efectul apei este similar cu cel al excesului de alcool discutat deja.

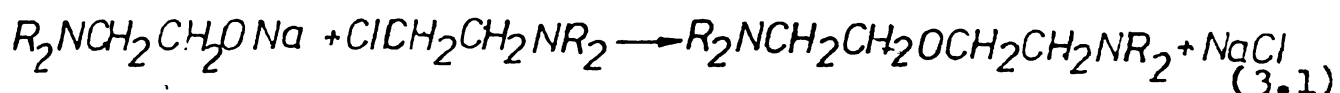
In cazul catalizei cu dioctoat stanos (fig.30 curba 3) se observă deosemenea o scădere a vitezei de reacție cu creșterea concentrației de apă ceea ce se datorează în acest caz hidrolizei parțiale a dioctoatului stanos. Se formează astfel hidroxiderivați ai staniului stabili care nu mai prezintă activitate catalitică în reacția de formare a uretanilor:



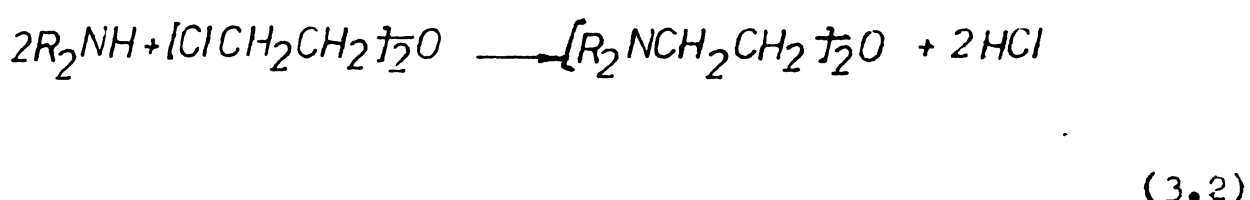
3. SINTEZA UNOR 1,2 - AMINOETERI LINIARI SI CICLICI CATALIZATORI PENTRU FABRICAREA SPUMELOR POLIURETANICE.

1,2 - Aminoesterii sunt compuși cu activitate catalitică remarcabilă în reacția diizocianatilor aromatici cu compuși hidroxilici prin intermediul căreia are loc fabricarea spumelor poliuretanice flexibile de tip poliester. Sinteza acestor compuși presupune fie alchilarea aminelor secundare cu - dihaloalchileteri fie realizarea funcțiunii eterice prin intermediul unei alchilarări la oxigen.

Sinteza 1,2 - aminoesterilor prin intermediul unei reacții de tip Williamson, ușuală în cazul alchileterilor cu număr mic de atom de carbon, de preferință primari, sau a 1,2-aminoesterilor nesimetrici (65) este o metodă cu randament mic, care nu justifică etapele numeroase și pretențioase care pleacă de la aminoalcool (66,67). O variantă de eterificare care pornește de la alcoolatul aminoesterului folosește clorură de sulfuri pentru a obține aminoester cu un randament de 54 - 57% (68).



Reacția dihaloesterilor cu aminele secundare este întâlnită în literatura de brevete consecrată utilizării 1,2-aminoesterilor drept catalizatori pentru spume poliuretanice (69-71), care nu conține însă detalii semnificative privind obținerea lor.

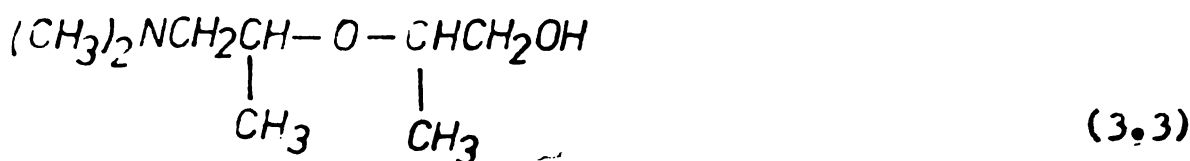


Alchilarea minelor secundare rămâne metoda cea mai directă de sinteza a 1,2 - aminoesterilor de tip amină terțiară (7.2), având în vedere, în primul rînd, disponibilitățile indigene și costul relativ scăzut al reactivilor implicați.

3.1. Sinteza și analiza catalizatorilor de tipul 1,2-aminoesterilor ciclici sau liniari.

Cercetările experimentale au vizat sinteza și testarea unui catalizator din clasa 1,2-aminoesterilor ciclici sau liniari prin reacția sub presiune a dimetilaminei (soluție apoasă) cu di(l-clor-2-metil-etil) eterul. Reacția a fost efectuată într-un reactor tip autoclavă, la temperaturi între 100 și 185°C și presiuni cuprinse între 5 și 30 atm. Produsul brut, după alcalinizare și eliminarea excesului de dimetilamină a fost separat, uocăt și distilitat fractionat la presiunea atmosferică. Fracțiunile provenite din faza organică au fost analizate prin chromatografie gaz-lichid, titrare potențiometrică pentru dozarea grupelor amine terțiare spectroscopie de infraroșu și spectroscopie de rezonanță magnetică protonică. Din faza apoasă s-a dozat ionul clorură verificindu-se astfel conversia cloreterului.

Faza organică a fost separată prin distilarea în trei fracțiuni. Fracțiunea de la 40-60°C conține două componente de mare volatilitate evidențiate chromatografic ca fiind dimetilamină și cu mare probabilitate, clormetan. În fracțiunea de la 110-126°C se poate identifica o componentă care are în spectrul IR benzi caracteristice la 3400 cm^{-1} și $1120 - 1160\text{ cm}^{-1}$, corespunzătoare unor vibrații de valență OH și respectiv unor vibrații de grup $\text{R}_2\text{NR}'$, căreia i se poate atribui o structură de 1-dimetilamină-1'-hidroxi-2,2'-dimetil-dietileter.



Vibrația de valență OH este suprimată la refluxarea îndelungată a acestei fracțiuni pe sodiu metalic. În fracțiunea de la 140-142°C chromatografia gaz lichid pe coloană capilară evidențiază patru componente majoritare (Fig.31, Fig.32).

Fig.31. Cromatograma gaz lichid pe coloana capilară (Squalan, 50 m) a fractiunii 140-142°C. Ordinea de eluție: 1,2-morfoline, 3,4-aminoeteri aciclici.

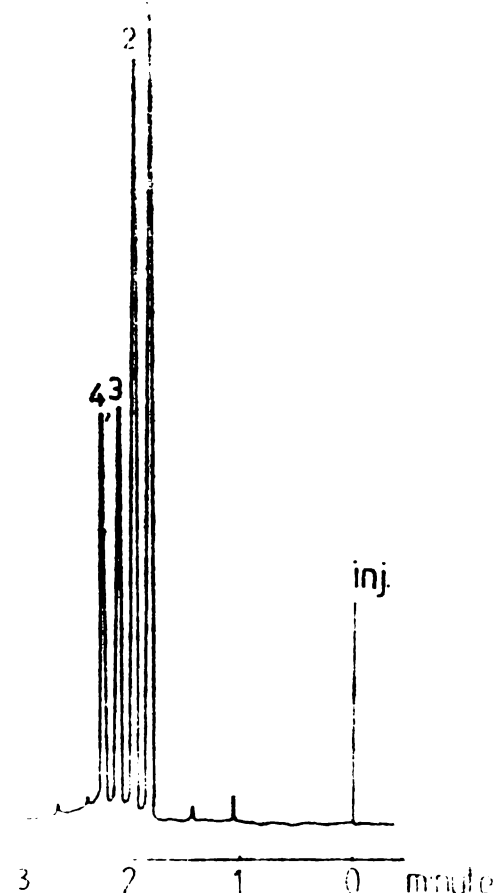
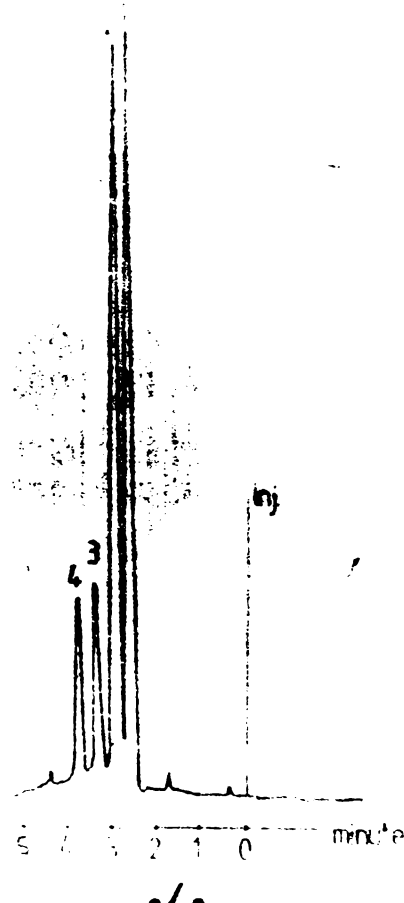


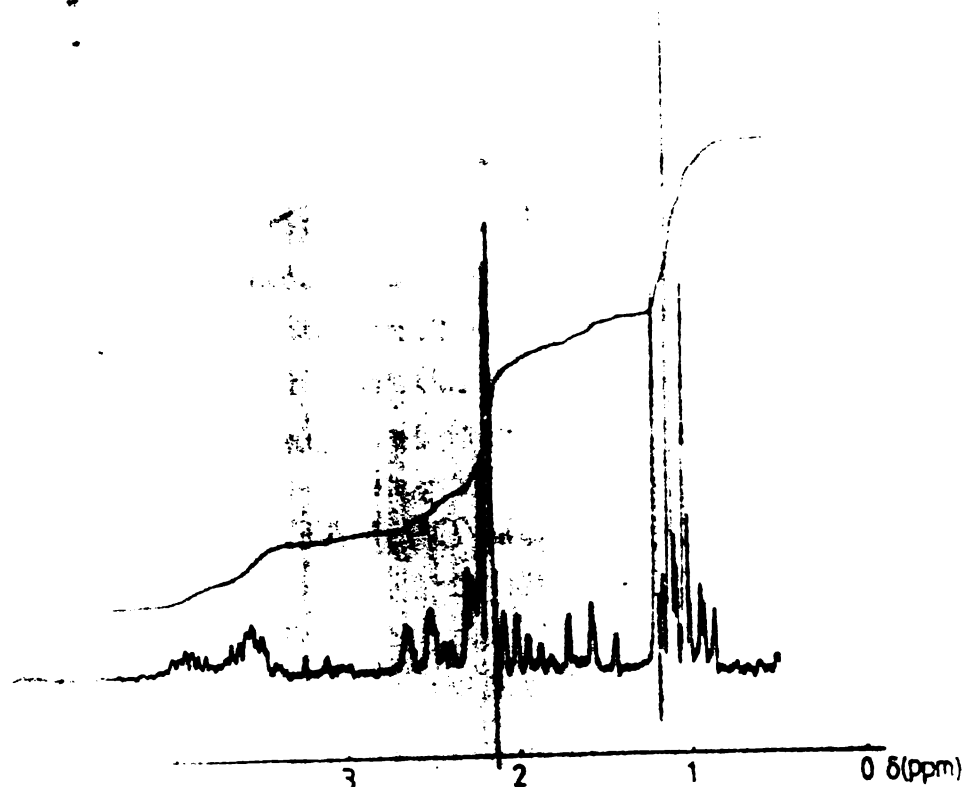
Fig.32. Cromatograma gaz lichid pe coloană (5% Carbowax 20 M + 0,5% KOH/Chromosorb WHP 80-100 mesh) a fractiunii 140-142°C. Ordinea de eluție: 1,2-morfoline, 3,4-aminoeteri aciclici.



Analiza chromatografică a fost efectuată utilizând o coloană capilară de 50 m cu Squalan și o coloană cu Carbowax 20 m (5%) tratată cu 0,5% KOH depușă pe Chromosorb WHP de granulărie 80-100 mesh.

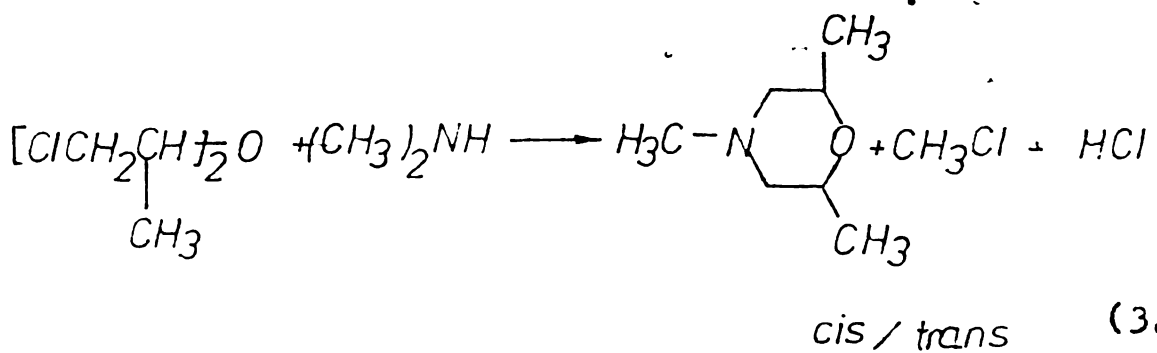
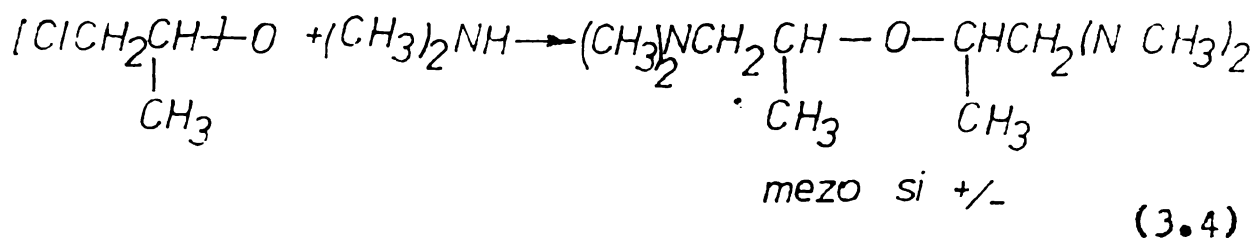
Spectrul cu rezonanță magnetică protonică al acestei fracțiuni este relativ complex, reprezentând în intervalul 1,00 - 4,00 ppm. un număr mare de liniile, care provin probabil, de la mai mulți compuși aflați în amestec (Fig.33).

Fig.33. Spectrul de rezonanță nucleară magnetică protonică a fracțiunii 140-142°C.

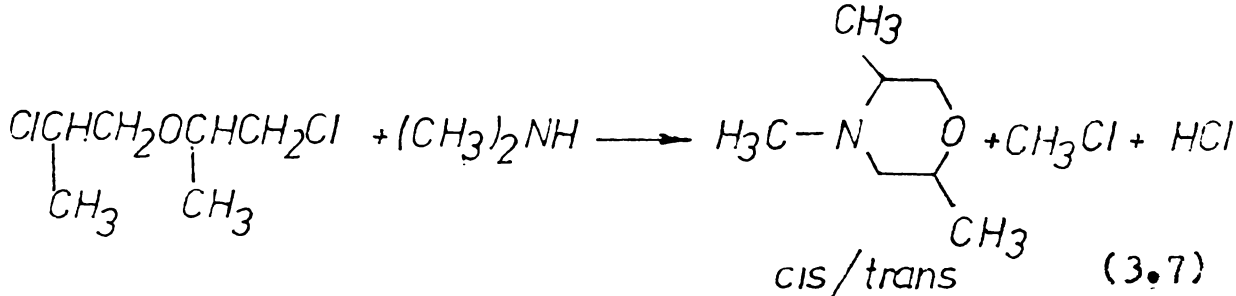
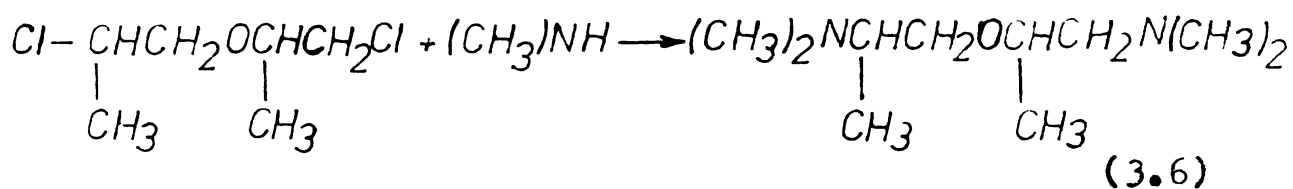


Utilizarea decuplărilor de spin și a reactivilor de deplasare Eu (foă)₃ a permis atribuirea majorității semnalelor din spectru unor grupe din izomerii posibili. Semnalele din spectru și atribuirile probabile sunt următoarele: un triplet accidental la un cîmp ridicat care prin adăugarea de reactiv de deplasare se scindează în doi dubleti, care în spectrul normal se suprapun parțial. Deplasările chimice δ = 1,04 și δ = 1,12 ppm, ca și constante de cuplaj J = 7Hz indică prezența a două grupe metil cuplate cu un singur proton vecin. Raportul între cele două

semnale, în diverse probe, fiind diferit este foarte probabil ca cele două grupe metil să corespundă unor tipuri distincte de compuși ciclici (3.5) și aciclici (3.4):



Este de remarcat faptul că aceste semnale intense se suprapun peste o serie de liniile de intensitate mai mică, date probabil tot unor grupe CH_3CH din izomerii nesimetrici (3.6) și (3.7) proveniți din cloreterul corespondător, care este conținut în di (1-clor-2-metil-etyl)eter în proporție de pînă la 30% și nu poate fi izolat prin metode uzuale.



Un alt grup de semnale situat între 1,75 și 2,60 ppm. cu aspect complex se datorează unor grupe $\text{CH}_2\text{-N}$, CH-N și $\text{CH}_3\text{-N}$. Dintre acestea se remarcă cele ale grupelor metilenice necuplate în număr de patru la valori de 2,11, 2,13, 2,14 și 2,17 ppm.

In spectrul $^1\text{H-RMN}$ se constată că majoritatea compusului format are o structură ciclică, deci este amestecul cis-trans al morfolinelor (3.5) și (3.7).

Această concluzie este sprijinită de raportul integralelor protonilor care formează grupuri de semnale cuprinse între 1,75 și 2,60 ppm. (corespunzător grupelor $\text{CH}_2\text{-N}$, $\text{CH}\text{-N}$ și $\text{CH}_2\text{-C}$) și protonilor cu semnale cuprinse între 1,0 și 1,14 ppm. (corespunzător grupei $\text{CH}_3\text{-OH}$). Valoarea acestui raport este de cca. 1/1, ceea ce corespunde mai degrabă izomerilor ciclici (raportul teoretic al protonilor este aici 7/6) decât izomerilor aciclici unde raportul teoretic trebuie să fie 16/6.

Deplasările chimice ale protonilor CH_3CH de la $= 1,04$ și $= 1,12$ ppm. corespund ca valoare pentru grupe CH_3 din poziție ecuatorială și respectiv axială dintr-un ciclu de șase atomi.

Semnalele dintre 3,38 și 4,0 ppm. pot fi atribuite unor grupe CH sau CH_2 legate de oxigen. Se remarcă aici, de fapt două grupe de semnale, unul central la cca. 3,50 ppm. și celălalt la 3,60 ppm.

Componentele din fracțiunea 140-142°C prezintă un spectru IR caracteristic pentru o amină alifatică terțiară (cyclică sau sciclică) cu vibrație de grup $\text{R}_2\text{NR}'$ la $1120\text{-}1160 \text{ cm}^{-1}$ la care se adaugă banda caracteristică funcțiunii eterice de la 1080 cm^{-1} .

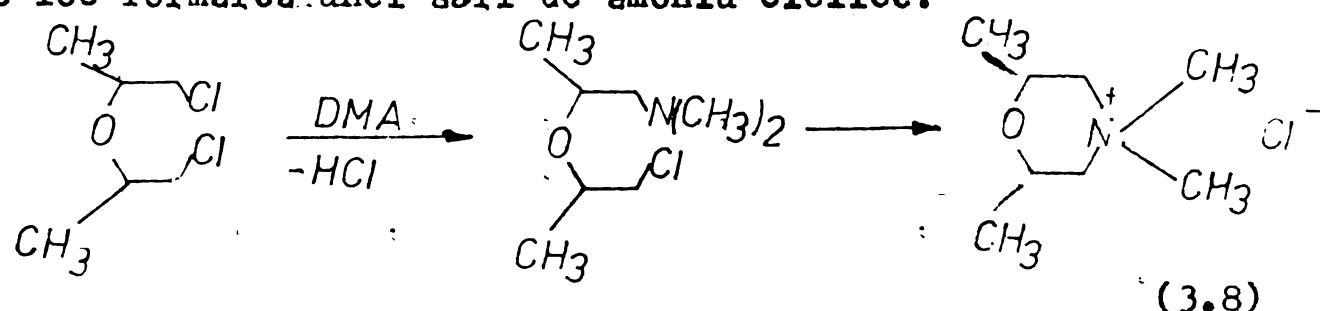
In Tab.55 se prezintă condițiile de reacție și conversia la aminoesteri ciclici și liniari pentru reacția dimetileminei cu di(l-clor-2-metil-etil) eter la temperaturi cuprinse între 100 și 185°C și rapoarte molare de 4-12/l.

Tab.55. Condiții de reacție și conversie la aminoesteri pentru reacția dimetileminei (DMA) cu di(l-clor-2-metil-etil) eter.

nr. sir-test	Temp. reactie (atm.)	i resiune reactie (atm.)	Timp reactie (ore)	Moli de cloreter	Rap.molar DMA/cloreter	Conversie în amino- (exces DMA %)eteri
1.	105	5,0	6,0	0,5	6,0 (200)	7,0
2.	135	6,0	6,0	0,5	4,0 (100)	12,6
3.	135	7,0	6,0	0,5	6,0 (200)	32,5
4.	135	7,5	4,0	0,5	12,0 (500)	37,2
5.	155	7,0	6,0	0,5	6,0 (200)	24,3
6.	175	17,0	6,5	0,5	6,0 (200)	34,4
7.	185	25,5	8,0	4,0	4,0 (100)	39,8
8.	185	26,0	8,0	2,0	10,0 (400)	70,0
9.	185	27,0	8,0	0,5	12,0 (500)	51,4

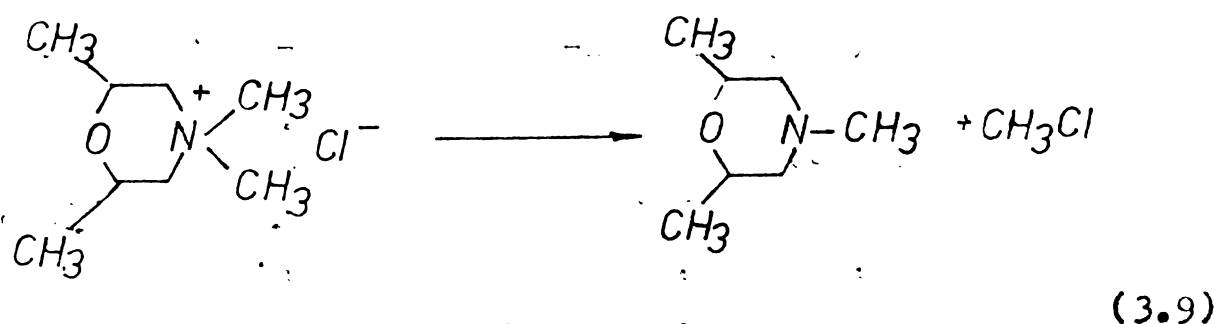
Conversia globală la aminoeteri ciclici și aciclici a fost calculată prin titrarea potențiometrică a azotului total. Deși nu s-a putut fi diferențiat un salt pentru azotul din aminoeterii aciclici și unul pentru azotul din morfoline, știind că în sistem se află în exclusivitate aceste componente, se pot calcula cantitățile din fiecare printr-un bilanț total și un bilanț parțial la azot.

Rândamentele foarte scăzute în aminoeteri izolați la temperaturi de lucru scăzute, paralel cu dispariția dicloretelor nu pot fi explicate decât dacă admitem că în aceste condiții are loc formarea unei sări de amoniu ciclice:



Analiza spectrului IR al produsului brut uscat evidențiază într-adevăr benzi de intensitate medie la 960, 1410, 1485 și 3020 cm^{-1} care pledează pentru existența unor săruri ale aminelor alifatice de tipul $(\text{CH}_3)_2\text{N}^+\text{R}_2^-$ (73).

Sărurile de amoniu ciclice rămân în soluția apoasă și nu pot fi extrase și prelucrate în continuare, chiar după alcalinizare. În fapt, ele nu prezintă interes, neavând activitate catalitică în reacția de condensare a diizocianatilor cu poliolii. La temperaturi ridicate aceste săruri se descompun la morfolinele corespunzătoare:



Atât morfolina de mai sus cît și clormetanul au fost identificate printre produsele de reacție.

In Tab. 56, se prezintă compoziția fracțiunii 140-142°C. Raportul componentelor determinat potențiometric s-a realizat în modul descris anterior, iar cel determinat chromatografic prin raportul ariilor semnalelor chromatografice. Deși rapoartele molare ale celor două tipuri de componente (morpholine și aminoeteri aciclici), determinate prin titrare potențiometrică se regăsesc în limita erorilor experimentale în datele chromatografice, ele

trebuie considerate în lumina diferențelor posibile între factorii de răspuns ai detectorului cu ionizare în flacără pentru aceste componente.

Tab.56. Compoziția produsului de reacție (fracțiunea 140-142°C)

Nr.	Sinteză Compoziția prod. reacție (% mol)		Randament mediu %		
	Titrare potent.	Cromatografie GL	Aminoesteri	Morfoline	
	Aminoet. Morfo-	Aminoet. Morfoline	aciclici	aciclici	
1.	20,61	79,39	20,69	79,31	1,5 5,5
3.	24,09	75,91	21,27	78,73	6,9 25,6
5.	22,68	77,32	21,93	78,07	5,3 19,0
6.	22,02	77,98	22,25	77,25	7,7 26,7
8.	17,50	82,50	20,00	80,00	11,4 58,6

S-a efectuat studiul evoluției conversiei și raportul molar morfoline/aminoesteri aciclici în funcție de temperatură și excesul de amină secundară. Sintezele efectuate la 185°C și exces mare de amină (500%) au marcat o creștere sensibilă a conversiei la aminoesteri de la 7% la 70%, dar nu și o modificare importantă în favoarea aminoesterului aciclic, așa cum era de așteptat.

3.2. Testarea la spumări pentru spume flexibile a catalizatorilor obținuti.

In vederea studiului comportării aminoesterului sintetizat în formulări de spumă poliuretanică flexibilă, s-au efectuat experimentări de spumare folosind rețeta pe bază de poliol polieter fabricat la Combinatul Chimic Rîmnicu Vîlcea după tehnologii elaborate de ICECHIM București. Pentru comparare s-a utilizat catalizatorul de uz industrial Niax Catalyst A-1 care este din punct de vedere chimic un amestec de di(1-dimetilaminoctil) eter și dipropilenoglicol în raport gravimetric de 7/3. Catalizatorul amonic reprezentând amestecul aminoester aciclic-morfolina, rezultat din sinteză, apă, stabilizatorul și octoașul staneș au fost dozati în poliol, omogenizați, după care, sub agitare energetică s-a adăugat cantitatea necesară de diizocianat. În funcție de durată constantă de amestecare s-au determinat parametrii caracteristici ai spumării, timpul de cremare și timpul de creștere. După 48 de ore de păstrare la temperatura camerei s-au prelevat probe de dimensiuni standardizate pentru determinarea

caracteristicilor fizico-mecanice ale polimerului. În Tab.57 se prezintă rețetele utilizate în experimentele de spumare, timpii caracteristici ai spumării și proprietățile fizico-mecanice ale polimerului.

Tab.57 Studiul comportării aminoesterului sintetizat
în formări de spumă poliuretanică flexibilă
de tip polieter.

Denumirea componentelor	U/M	Probe			
		1	2	3	4
PETOL 46-23B (polieter poliol cu M= 3500)	p.greut. 100	100	100	100	100
Toluilen diizocianat (amestec de izomeri 2,4 și 2,6 în raport 80/20)	" 40	40	40	40	40
NIAK CATALYST A-1	" 0,1 ^x	-	-	-	0,1 ^x
Catalizator aminic (amestec de morfo- line și aminoesteri aciclici rezultat din sinteza 8).	" -	0,07 ^x	0,07 ^x	-	-
Apă	" 3,2	3,2	3,2	3,2	3,2
TEGOSTAB BF 2270 (polisiloxan polieter)	" 1,0	1,0	1,0	1,0	1,0
Octoat stanos	" 0,3	0,3	0,3	0,3	0,3
PARALELRII SPUMARII					
Timp de cremare	sec.	20	27	28	19
Timp de creștere	"	125	195	195	125
PROPRIETATI FIZICO-MECANICE ALE SPUMEI					
Densitatea	kg/m ³	30,9	28,9	34,3	31,6
Rezistența la comprimare	kN/m ²	3,1	3,3	3,7	2,8
Rezistența la rupere	kN/m ²	108	110	107	67
Alungirea la rupere	%	128	130	147	115
Deformarea remanentă	%	8,5	7,5	9,3	9,0

^xNIAK CATALYST A-1 fiind o soluție de di(l-dimetilaminostil) eter în dipropilenglicol, catalizatorul aminic de sinteză a fost luat în cantitate echivalentă cu cea de aminoester liniar din NIAK CATALYST A-1.

Rezultatele acestor determinări arată că produsul sintetizat este compatibil cu rețetele uzuale de spumare, având o comportare apropiată de aceea a 1,2-aminoesterului liniar de uz industrial.

3.3. Concluzii

Reacția di(1-clor-2-metil-etyl)eterului cu dimetil-amine sub presiune, la temperaturi de 100-185°C permite obținerea unui amestec de 1,2-aminoeteri ciclici și aciclici. Acest amestec are o activitate catalitică remarcabilă în reacția de obținere a supuclor poliuretanice flexibile de tip polieter.

Utilizarea metodelor fizico-chimice (spectroscopie de IR, ¹H-RMN și chromatografie GL) a condus la determinarea structurilor chimice prezente în acest amestec complex.

Pe baza cercetărilor experimentale cuprinse în prezentă teză a fost elaborat un proces tehnologic la scară micropilot productiv care este actualmente în construcție. Prin microproductiță de 5000 kg/an prevăzută pentru pilotul de la întreprinderea Spumotim se va scopri necesarul de catalizatori umpluți de acest tip pentru întreaga producție de poliuretani și întreprinderii Spumotim.

4. PARTEA EXPERIMENTALĂ

4.1. Purificarea și obținerea substanelor folosite la studiul cinetic.

Pentru efectuarea studiilor propuse s-au utilizat următoarele solvenți:

Tetraclorură de carbon p.a., REACTIVUL, a fost obținut prin păstrarea îndelungată pe clorură de calciu. S-a distilat culegîndu-se fractiunea principală de la 77-78°C care s-a păstrat pe site moleculare. Cloroformul p.a. REACTIVUL, s-a distilat culegîndu-se fractiunea principală de la 61-62°C care s-a păstrat pe site moleculare. Clorură de metilen p.a. REACTIVUL, s-a distilat culegîndu-se fractiunea principală de la 40-41°C, care s-a păstrat pe site moleculare. Benzenul p.a. REACTIVUL, s-a distilat culegîndu-se fractiunea principală de la 80-81°C, care s-a păstrat pe site moleculare. Alcoolii utilizati au fost următorii: Metanolul p.a., REACTIVUL, s-a refluxat pe span de carbonat timp de 2,5 ore, apoi s-a distilat culegîndu-se fractiunea principală de la 65-66°C, care s-a păstrat pe site moleculare. Etanolul deuterat a fost KERCK UVASOL, n-Butanolul p.a. REACTIVUL, s-a păstrat timp îndelungat pe carbonat de potasiu apoi s-a distilat culegîndu-se fractiunea principală de la 117-118°C care s-a păstrat pe site moleculare. i-Butanolul p.a.

ANALAR, s-a distilat culegîndu-se fractiunea principală de la $108-109^{\circ}\text{C}$ care s-a păstrat pe site moleculare. Alcoolul n-aminic p.a. CARLO ERBA s-a distilat culegîndu-se fractiunea principală de la $156-157^{\circ}\text{C}$, care s-a păstrat pe site moleculare. Alcoolul n-hexilic p.a. LOBA CHEMIE, s-a distilat culegîndu-se fractiunea principală de la $156-157^{\circ}\text{C}$ care s-a păstrat pe site moleculare. n-Butilcelosolv p.a. UCB s-a păstrat pe site moleculare.

Izocianati folosiți au fost următorii:

Fenilizocianat p.a. FLUKA AG, s-a distilat în vid la 20 mm Hg culegîndu-se fractiunea principală din intervalul $64-67^{\circ}\text{C}$ care s-a înfiolat în porțiuni. La fiecare studiu cinetic s-a utilizat o fiolă de izocianat proaspăt.

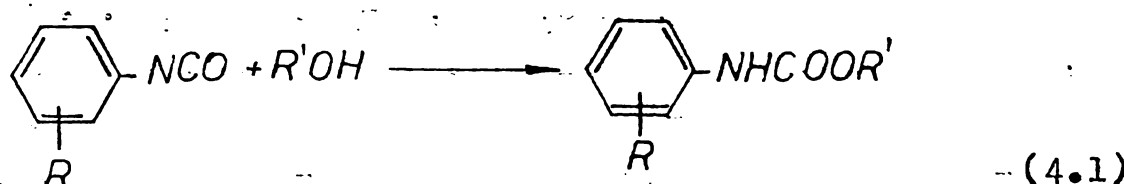
Ceilealți izocianati au fost: 3-Clorfenilizocianat p.a. MERCK, 4-Clorfenilizocianat p.a. MERCK, m-Tolilizocianat p.a. EASTMAN KODAK, p-Tolilizocianat p.a. EASTMAN KODAK.

La studiile efectuate s-a utilizat următoarele amine terțiare: Piridină p.a. UCB, 3-Brompiridină p.a. MERCK, α -Picolină p.a. KEPEC, β -Picolină p.a. LOBA CHEMIE, γ -Picolină p.a. LOBA CHEMIE, 2,6-Lutidină p.a. SERVA, 2,4,6-Colidină p.a. LOBA CHEMIE, N-metil morfolină p.a. MERCK, N-etil morfolină p.a. MERCK, 2,2-dimorfolino etan p.a. BASF, N-metil dietanolamină p.a. FLUKA AG, Trietanolamină p.a. UCB, Trietilsamină p.a. FLUKA, N-metilpiperidină p.a. RIEDEL DE HAEN AG, 1,4-dimetilpiperazină p.a. MERCK, 1,4-diazabicyclooctan p.a. UCB, 1,2-bis(dimetilemino)-etan p.a. FLUKA AG.

Catalizatorii de staniu utilizati au fost următorii: dioctoat stenos METATIN KAT S-26 ACIMA CHEMICAL INDUSTRIES Ltd, Tributilacetat de staniu p.a. MERCK, Dibutildisulfat de staniu p.a. MERCK, Dibutilclorură de staniu p.a. MERCK.

Pentru trasarea curbelor de etalonare necesare pentru reproducerea asociatiilor ce au avut loc în sistemele studiate a fost necesară sinteza uretanilor.

Uretanii s-au obținut prin reacția izocianatiilor cu alcoolii:

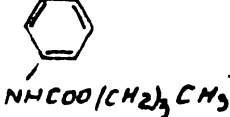
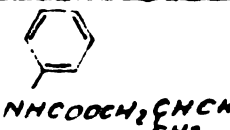
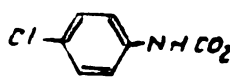
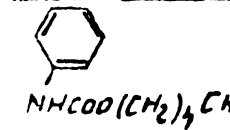
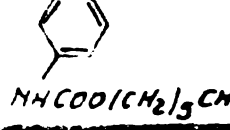


după următorul mod de lucru general (74):

La 0,5 g fenilizocianat în 10 cm³ de tetraclorură de carbon se adaugă 0,3 - 0,5 g de alcool (anhidrificat și proclabil). După încetarea reacției se mai refluxează 1-3 ore pe baia de apă, se filtrează la cald și se lasă să se răcească. Precipitatul se spală cu tetraclorură de carbon rece și se recristalinizează din tetraclorură de carbon.

Uretanii astfel obținuți s-au păstrat în exicatoare de vid și au fost caracterizați prin punctele de topire și spectrele de infraroșu.

Tab.58. Punctele de topire și benzile caracteristice de absorbție în IR ale uretanilor sintetizați.

Compus	P.t. °C	P.t. lit.	ν_{NH} cm ⁻¹	$\nu_{\text{C=O}}$ cm ⁻¹	δ_{NH}^+ armonici	ν_{NC} cm ⁻¹	δ_{CN}^+ cm ⁻¹	ν_{NH} (cm ⁻¹)	
	48-9	47	3300i	1700i	1550i	1310	1220 m	730 m	
					3130 arm	m-i			
	58-9	57	3290i	1695i	1550i	1305m	1330 m	750 m-i	
					3100 arm				
	84-6	86	3300i	1710i	1540i	1310i	1225 i	750 m-i	
					3050 arm				
	71-2	-	3300i	1696i	1490i	1300i	1225 i	710 m	
					2980 arm				
	43-5	-	3300i	1700i	1525i	1310i	1230 m	730 m	
					3050 arm				
	36-3	-	3320i	1690i	1520i	1310i	1245 m	720 m	
					3100 arm				

4.2. Prepararea aminoesterilor ciclici și linieri

1,2-aminoesterii ciclici și linieri s-au sintetizat în felul următor: 2,0 moli (308 ml) di(1-clor-2-metil-etil)eter cu punct de fierbere 186-188°C și 20,0 moli (270 ml) dimetilamină soluție aproape de concentrație 37% s-au introdus într-un reactor tip autoclavă cu o capacitate de 4 l. Amestecul de reacție a fost

adus la temperatura de reacție, sub agitare, după care a rămas la 185°C timp de 8 ore. După revenirea la temperatura ambientă produsul de reacție a fost trecut într-un balon cu trei gături prevăzut cu un agitator, unde s-a alcalinizat treptat cu 500 NaOH solid sub agitare și răcire moderată. Se separă faza organică care se usucă pe carbonat de potasiu anhidru și se distilă fractionat la presiunea atmosferică. Se obțin 194 g amestec de aminoeteri cu punct de fierbere 140-142°C. Rendamentul de obținere este de 70% față de dicloralchileter.

Spectrul IR al produsului a prezentat următoarele benzi caracteristice (cm^{-1}): 2960 (i), 2925 (i), 2890 (s), 2570 (i), 2850 (i), 2820 (i), 2770 (i), 2730 (m), 1460 (m), 1380 (s), 1340 (s), 1120-1160 (i-m) și 1080 (i).

4.3. Aparatura și metoda de studiu cinetic.

Pentru determinările cinetice efectuate s-au utilizat spectrofotometria în infraroșu apropiat, deoarece uretanii au o bandă de absorbție intensă între 6720-6725 cm^{-1} (prima armonică superioară a vibrației de valență $\text{NH} = 3360-3370 \text{ cm}^{-1}$), care nu se suprapune peste alte benzi ale reactanților permitând astfel urmărirea ușoară a reacției. Această metodă a fost alesă având în vedere că intensitatea armonicilor superioare este foarte redusă și în consecință permite efectuarea cercetărilor în condiții mai apropiate de cele tehnologice (concentrații mari de aprox. 13%) de obținere a spumelor poliuretanice. Cei patru solventi utilizati interferează în domeniul 6720-6735 cm^{-1} . Pentru determinările experimentale s-au utilizat un spectrofotometru SPECORD 61 NIR, CARL ZEISS JENA cuplat cu un uscător de aer LT 1 care recirculă aer în spațiul prismelor. Spațiul cuvelor a fost termostatat cu o unitate de termostatare PYE UNICAM cu rezistență electrică, iar măsurarea temperaturii s-a efectuat cu un termocuplu cupru-constantan.

Caracteristicile de lucru ale aparatului au fost următoarele: domeniul de măsurare E/-0,1-0,4, fanta 2, constantă de timp 1, timp de înregistrare 4,4 min.

-Reacția de formare a uretanilor a fost urmărită prin înregistrarea din timp în timp a intensității benzii corespunzătoare primei armonici superioare a vibrației de valență ν_{NH} de la 6720-6735 cm^{-1} . Lucrindu-se la concentrație relativ mare de reactanți (aprox. 13%) în sistemele studiate apar fenomene de asociere între reactanți care afectează semnificativ extinderea benzii de absorbție NH urmărită. Din această cauză a fost necesară

tracarea unor curbe de etalonare a extincției pentru fiecare caz în parte studiat.

Curbele de etalonare s-au trăsăt în modul următor: în cuve cu probe din cuart PYE UNICAM de 20 mm, s-au cintărit la balanță analitică cantități crescînde de uretan și scăzînd de alcool, simulind variația concentrațiilor reactanților din experimentul kinetic, respectiv cantitățile de catalizator și solvent adăugate la determinările cinetice. Banda de absorbție NH s-a înregistrat la temperatura la care urma să se facă determinarea cinetică. Catalizatorii lichizi au fost adăugați cu o microsiringă de 100 microlitrii.

In exemplul următor se prezintă determinarea curbei de etalonare respectiv calculul kinetic pentru sistemul de reacție fenilizocianat, n-butanol la 3 concentrări de α -picolină în tetraclorură de carbon la 32°C . Datele sunt cuprinse în Tab.59 și reprezentate în Fig.34.

Tab.59. Concentrațiile diferenților reactanți și extincțiiile uretanului pentru curbele de etalonare de la sistemul n-butilfeniluretan, n-butanol, α -picolină în CCl_4 la 32°C .

mol/kg	0 mol/kg P			0,1151 mol/kg P		
	B mol/kg	CCl_4 g	ϵ_{NH}	B mol/kg	CCl_4 g	ϵ_{NH}
0,10	0,6932	7,9109	0,16	0,7072	7,5331	0,14
0,20	0,5916	7,7949	0,30	0,6066	7,4303	0,25
0,30	0,4988	7,6933	0,44	0,5055	7,3300	0,373
0,40	0,3985	7,5923	0,56	0,4044	7,2296	0,485
0,2340 mol/kg P						
0,10	0,6993	7,5331	0,115	0,6871	7,5331	0,09
0,20	0,5997	7,4303	0,22	0,5892	7,4303	0,18
0,30	0,4998	7,3300	0,304	0,4911	7,3300	0,258
0,40	0,3999	7,2296	0,42	0,3929	7,2296	0,344

unde:

B=n-butanol; P= α - picolină; U = n -butilfeniluretan

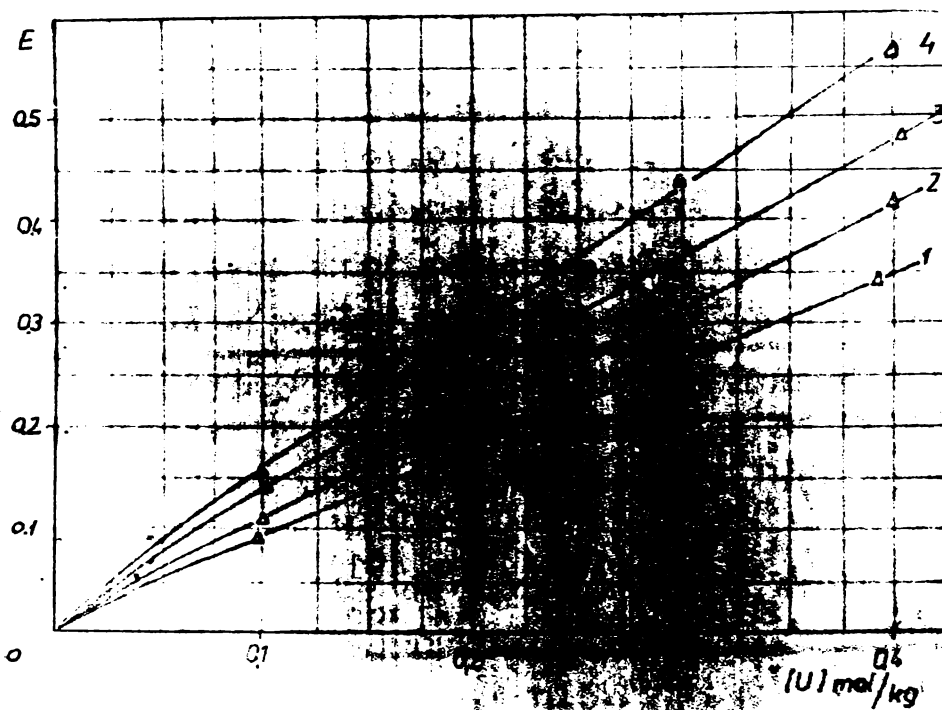
Determinările cinetice s-au efectuat după cum

șă rezultă: s-au cintărit în cuve de cuart de 20 mm la balanță analitică cantități necesare de alcool și tetraclorură de carbon.

În cazul lichizilor e fost cintărit la balanță analitică, și s-a adăugat microsiringă de $200 \mu\text{l}$. In cazul catalizatorilor prea viscoși

sau a celor din care trebuieau să se folosească cantități foarte mici, s-au preparat soluții ale acestora care au fost adăugate prin cîntărire. Amestecul de reacție astfel pregătit păsat în spațiul cuvelor spectrefotometrului termostatat și s-a așteptat 5-10 min. pentru preluarea temperaturii de către probă. Izocianatul s-a adăugat cu o siringă de 1 cm³ pornind sincron cronometrul. După adăugarea izocianatului massa de reacție s-a omogenizat prin agitare timp de 5-10 sec. Înregistrarea semnalului benzii NH a uretanului s-a făcut din timp în timp notîndu-se timpii în dreptul maximului benzii de absorbție NH. Determinările s-au considerat a fi terminate cînd s-a ajuns la valorile de extincție corespunzătoare conform cu curbele de etalonare, unei conversii de 90-95%.

Fig. 34. Reprezentarea grafică a curbelor de etalonare pentru sistemul n-butilfeniluretan, n-butanol, fără catalizator și cu 3 concentrații diferite de α -picolină în CCl₄ la 32°C.



- 1) - 0,4175 mol/kg P; 2)- 0,2340 mol/kg P;
3) - 0,1151 mol/kg P; 4)- 0,0 mol/kg P.

În tabelul alăturat sunt indicate valorile extincțiilor măsurate în cazul reacției fenilizocianatului cu n-butanol în tetrachlorură de carbon la 32°C în prezență α -picolină.

Tab.60. Extincțiile la diferiți timpi pentru cinetica reacției dintre fenilizocianat ($0,4086 \text{ mol/kg}$) cu n-butanol ($0,8155 \text{ mol/kg}$) în prezență de α -picolină ($0,1155 \text{ mol/kg}$) în CCl_4 ($7,3070 \text{ g}$) la 32°C .

Nr. crt.	Timp (s)	Extincție	Nr. crt.	Timp (s)	Extincție
1.	50	0,05	16.	780	0,34
2.	82	0,08	17.	900	0,36
3.	120	0,10	18.	1020	0,377
4.	150	0,12	19.	1200	0,398
5.	181	0,142	20.	1380	0,42
6.	218	0,163	21.	1560	0,425
7.	260	0,180	22.	1800	0,437
8.	285	0,20	23.	1980	0,44
9.	332	0,222	24.	2220	0,45
10.	380	0,24	25.	2460	0,457
11.	440	0,26	26.	2700	0,462
12.	480	0,28	27.	3000	0,462
13.	560	0,30	28.	3300	0,47
14.	600	0,31	29.	3600	0,47
15.	660	0,32	30.	4200	0,48

Datele de mai sus au fost reprezentate grafic în Fig.35 din care s-a citit valoarea extincțiilor corectate prin redacie pentru timpii indicați în Tab.61 ce conține și concentrația uretanului în conformitate cu curbe de etalonare. Tot în tab.61 sunt cuprinse și concentrațiile calculate ale izocianatului și n-butanolului în funcție de timp precum și constantele de viteză determinate conform ecuației (4.2).

Calculele cinetice s-au efectuat pentru o cinetică bimoleculară:

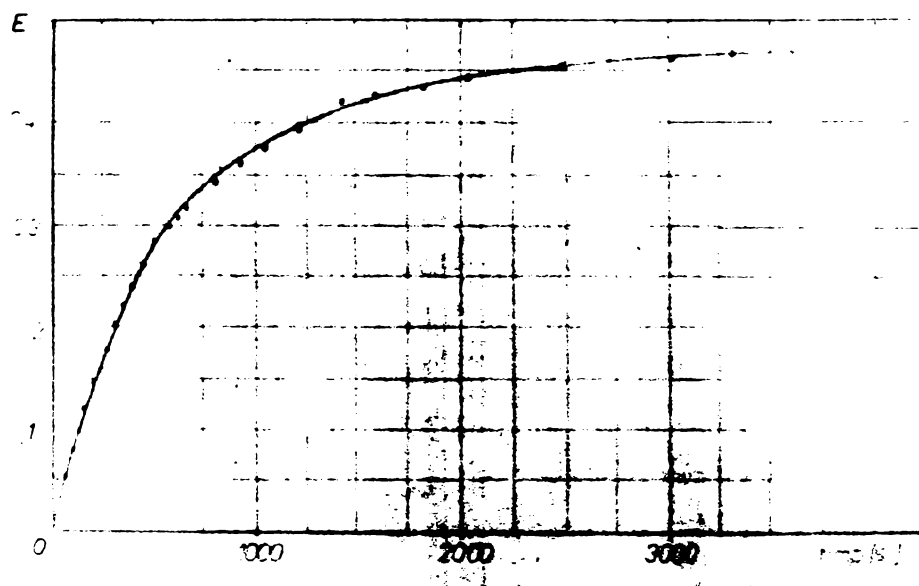
$$\frac{dx}{dt} = k_2(a-x)(b-x) \quad (4.1)$$

în cărei formă integrală este:

$$k_2 = \frac{1}{t} \cdot \frac{1}{a-b} \ln \frac{b(a-x)}{a(b-x)} \quad (4.2)$$

unde: x -este concentrația uretanului la momentul t ; a -este concentrația inițială a izocianatului; b -este concentrația inițială a alcoolului; t -este timpul în secunde.

Fig.35. Reprezentarea grafică a extincției n-butil-feniluretanului funcție de timp pentru cinetica reacției fenilizocianatului ($0,4086 \text{ mol/kg}$) cu n-butanol ($0,8155 \text{ mol/kg}$) în prezență de α -picolină ($0,1155 \text{ mol/kg}$) în CCl_4 ($7,3070 \text{ g}$) la 32°C .



Constanta de viteză medie este $k_2 = 2,27 \pm 0,11 \times 10^{-3} (\text{kg}/\text{mol.sec})$

Entropia de activare a fost determinată după metoda cunoscută pe baza relației lui Arrhenius:

$$k = A e^{-\frac{E}{RT}} \quad (4.3)$$

Care prin logaritmare se transformă în:

$$\ln k = \ln A - \frac{E}{RT} \quad (4.4)$$

Entropia de activare se calculează pentru 300°K cu relația:

$$\Delta S^\ddagger = 19,146 \log A - 244,94 \quad (4.5)$$

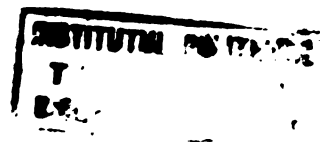
Tab.61. Modelul de calcul al cineticii reacției fenilizocianatului ($0,4086 \text{ mol/kg}$) cu n-butanol ($0,8155 \text{ mol/kg}$) în prezență de α -picolină ($0,1155 \text{ mol/kg}$) în CCl_4 ($7,3070 \text{ g}$) la 32°C .

Nr.	Timp (s)	Uretan (mol/kg)	a-x	b-x	$k_2 \times 10^3$ (kg/mol.sec)
1.	100	0,0575	0,3511	0,758	1,93
2.	200	0,1150	0,2936	0,7005	2,19
3.	300	0,1580	0,2506	0,6575	2,24
4.	400	0,1990	0,2096	0,6165	2,38
5.	500	0,2250	0,1836	0,5905	2,34
6.	600	0,2490	0,1596	0,5665	2,35
7.	700	0,2700	0,1386	0,5455	2,38
8.	800	0,2850	0,1236	0,5305	2,35
9.	900	0,2950	0,1136	0,5205	2,27
10.	1000	0,3100	0,0986	0,5055	2,32
11.	1200	0,3280	0,0806	0,4875	2,27
12.	1400	0,3425	0,0661	0,4730	2,24
13.	1600	0,3525	0,0561	0,4630	2,18
14.	1800	0,3625	0,0461	0,4530	2,17
15.	2000	0,3700	0,0386	0,4455	2,16

In cazul reacției izocianatului de fenil cu butanolul constantele de viteză măsurate sănt redate în Tab.62.

Tab.62. Constantele de viteză ale reacției fenilizocianatului ($0,40 \text{ mol/kg}$) cu n-butanolul ($0,80 \text{ mol/kg}$) în CCl_4 ($7,590 \text{ g}$) la diferite temperaturi.

Temperatura ($^\circ\text{C}$)	$k_2 \times 10^3$ (kg/mol.sec)
32	1,13
42	1,68
52	2,50
62	3,22



Ecuatia de corelare a logaritmului constantelor de viteza cu inversul temperaturii este:

$$\log k_2 = - 1575,2 \times \frac{1}{T} + 2,224 \quad r = 0,997 \quad (4.6)$$

Energia de activare este:

$$\Delta E^\ddagger = 30,0 \text{ kJ/mol}$$

Entropia de activare este:

$$\Delta S^\ddagger = - 202 \text{ J/mol}^0\text{K}$$

Entalpia de activare este:

$$\Delta H^\ddagger = 27,5 \text{ kJ/mol}^0\text{K}$$

4.4. Aparatura si metodica de lucru in obtinerea catalizatorilor sminici liniari si ciclici.

Analizele spectroscopice de infraroșu s-au efectuat cu un spectrofotometru SPECORD IR 75, CARL ZEISS JENA. Tehnicile de lucru au variat în funcție de natura probei de analizat. Substanțele lichide s-au analizat prin metoda filmului de lichid depus pe geamuri de clorură de sodiu. Substanțele solide s-au analizat prin metoda pastilării cu bromură de potasiu.

Analiza prin cromatografie gaz lichid a fost realizată în două variante: a) cromatograf CHROMATRON GCHF 18.3-4 echipat cu detector de ionizare în flacără, dual și coloană capilară G-SCOT (50m) conținând ca fază lichidă Squalen; temperaturile coloanei, injectorului și detectorului au fost 100^0C , 170^0C și respectiv 200^0C ; debitul gazului purtător 38 cm/sec hidrogen; volum injectat $0,2 \mu\text{l}$; raport splitare 1:50; atenuare 1×10^9 . Ordinea de eluție este cea indicată în Fig. 31, b) cromatograf FRACTOVAP 2400 T (CARLO ERBA) echipat cu detector cu ionizare în flacără dual și coloana din oțel inox ($2 \text{ m} \times 3 \text{ mm}$) umplută cu CARBOWAX 20 M + 0,5 % KOH. Concentrația fazei lichide a fost de 5 %, suportul CHROMOSORB WHP 80-100 mesh; temperaturile coloanei, injectorului și detectorului au fost de 90^0C , 200^0C și respectiv 220^0C ; Drepăt gaz purtător s-a folosit azot cu un debit de 50ml/min; atenuare 16×1000 ; volum injectat $1,0 \mu\text{l}$. Ordinea de eluție este cea indicată în Fig. 32.

Spectrele de rezonanță magnetică protonică s-au efectuat la temperatura ambientă cu un spectrometru TESLA BS 487 C de 80 MHz utilizând ca standard intern tetrametilsilanul iar ca solvent tetraclorură de carbon. Benzile identificate sunt (δ ppm):

1,04 (doublet, 3H, J= 7Hz), 1,12 (doublet, 3H, J= 7 Hz) 2,11 (singlet, 3H), 2,13 (singlet, 3H), 2,14 (singlet, 3H), 2,17 (singlet, 3H), 3,50 (multiplet, 1H) și 3,80 (multiplet, 1 H).

Titrarea potențiometrică cu acid clorhidric 0,1 n s-a efectuat utilizînd un sistem automat de titrare obținut prin couplarea unui pH - metru RADELKIS OP-208 cu electrod de sticlă și caloigel cu un înregistrător RADELKIS OH-814/1 și o biuretă automată RADELKIS OP-930. Titrarea probei dizolvate în cca. 80 ml apă distilată se face sub agitare magnetică. Se cîntăresc aproximativ 0,5 aminoeteri pentru un volum de soluție acid clorhidric 0,1 n de cca. 30 ml.

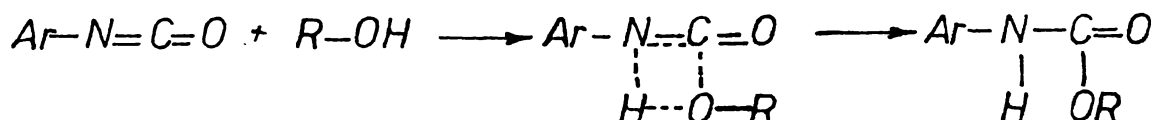
Concluzii

In prezența teză a fost examinată cinetica reacția izocianatilor aromatici cu alcooli în condiții apropiate de cele aplicate tehnologic pentru obținerea poliuretanilor în vederea găsirii unor căi directe de testare a reactivității izocianatilor și alcoolilor precum și de caracterizare a activității diversilor catalizatori din clasa aminelor terțiare și a compușilor organostanici. Cercetările originale reprezentă obiectul a trei note științifice comunicate la Congresul I.U.P.A.C. dedicat produșilor macromoleculari în sept. 1983 și se află în curs de publicare.

Principalele rezultate obținute se pot rezuma în următoarele:

1. Cinetica reacțiilor catalizate și necatalizate a izocianatilor aromatici cu alcooli poate fi urmată prin înregistrarea spectrului de infraroșu apropiat în domeniul 6720-6735 sănătător cu armonica superioară a vibrației de valență NH. Acest procedeu permite efectuarea determinărilor în soluții relativ concentrate corespunzătoare cu condițiile tehnologice de fabricare a poliuretanilor. Rezultatele pot fi interpretate în termenii unei cinetici de ordinul doi.

2. Reacția izocianatilor aromatici cu alcoolii decurge prin intermediul unei stări de tranziție de patru centrii.



Acest mecanism a fost justificat prin următoarele argumente:

2. In reacția izocianatilor cu diversi alcooli procesul este favorizat de efectele donoare de electroni și defavorizat de cele atrăgătoare de electroni din molecula alcoolului.

Incadrarea sterică în moleculă alcoolului defavorizează deosemenea procesul. Ambele efecte demonstrează rolul nucleofil al alcoolului în starea de tranziție.-

2.2. Entropiile de activare foarte scăzute reflectă o stare de tranziție cu o ordine avansată care asigură o compensare bună a energiei necesare schimbării legăturilor

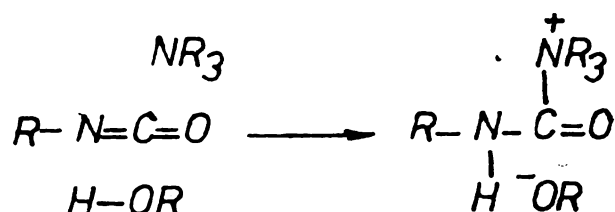
covolente prin cea de formare de noi legături și justifică
cenzurile relativ scăzute de activare.

2.3. Efectul deuteroizotopic kinetic la adiția metanolului la izocianat difuncțional este suficient de mare pentru
a putea considera că transferul protonului alcoolic participă
la etapa lentă a procesului.

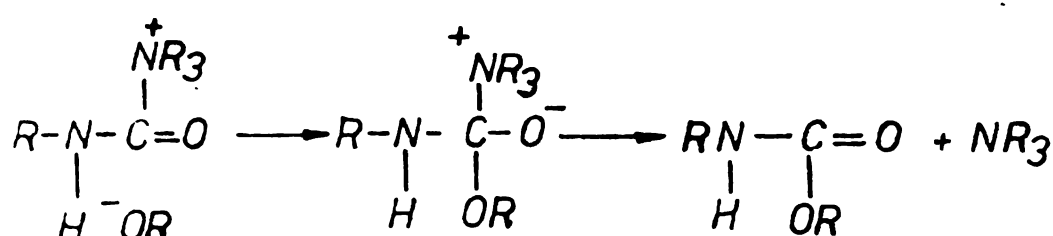
2.4. Substituientii din nucleul aromatic al izocianatului
influează constantele de viteză atât dacă prezintă un efect net
atrăgător de electroni cît și dacă prezintă un efect donor
de electroni. Aceasta poate fi explicată numai dacă se admite că
în starea de tranziție izocianatul joacă simultan un rol
electrofil și nucleofil.

2.5. Întrucât starea de tranziție ciclică este puțin
solvată în comparație cu moleculele initiale de alcool și
izocianat, creșterea polarității solventilor în general defavorizează reacția.

3. Reacția izocianatilor cu alcooli în prezența aminelor
tertiare decurge în etapa lentă prin atacul nucleofil al aminei
tertiare la izocianatul de aril catalizat de transferul de
proton de la alcool.



Sarea de amoniu astfel formată suferă un atac nucleofil
rapid al moleculelor de alcool formând uretanul:



Acest mecanism a fost justificat prin următoarele
argumente:

3.1. Aminele terțiare participă în etapa lentă a reacției
întrînd în expresia kinetică. S-a putut demonstra că în
reacție intervin moleculele de amină terțiară libere, neassociate
prin legături de proton cu moleculele de alcool.

3.2. Viteza de reacție a aminelor terțiare cu izocianatii aromatici depinde de caracterul nucleofil al aminei și încărcarea sterică la nivelul atomului de azot. Pentru amine cu o încărcare sterică similară au fost obținute corelații liniare cu pK_a aminei. În etapa lentă amina joacă un rol nucleofil.

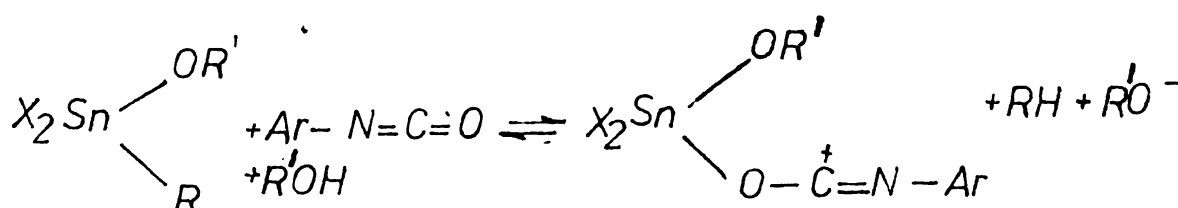
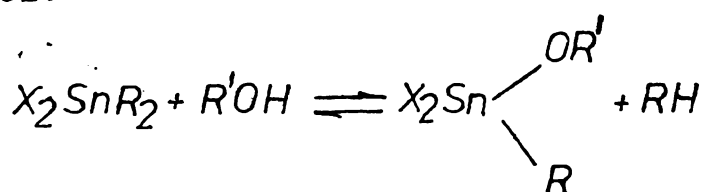
3.3. Substituentii atrăgători de electroni în nucleul izocianatului favorizează reacția demonstrând rolul electrofil al acestuia. În reprezentarea de tip Hammett a logaritmului constantei de viteză ca funcție de constantele Hammett de substituent se observă însă o discontinuitate. În cazul substituentilor atrăgători de electroni influența substituentilor este mai mare decât în cazul celor donori. Aceasta poate fi explicată numai dacă se admite că paralel cu atacul nucleofil al aminei are loc și un proces electrofil de transfer de proton.

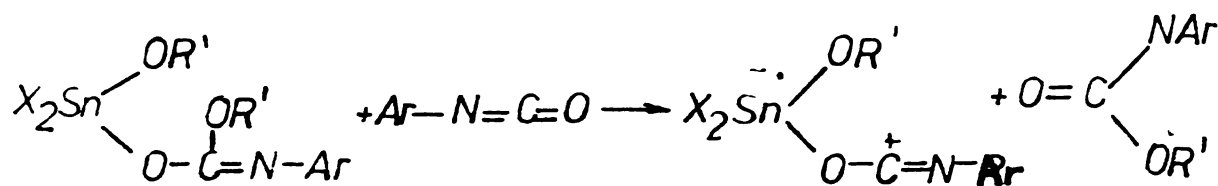
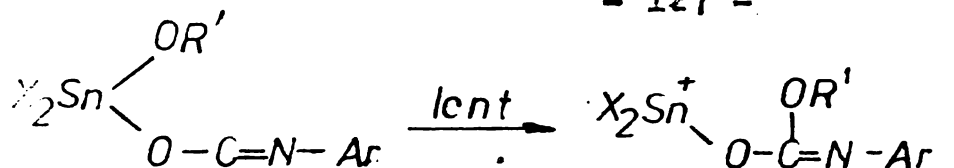
3.4. Efectul izotopic cinematic relativ important la reacția metanolului cu fenilizocianat, demonstrează existența unui transfer de proton în etapa lentă a procesului.

3.5. Entropiile de activare foarte scăzute sprijină ideea unei stări de tranziție puternic ordonate în cadrul căreia apare o bună compensare a energiei de rupere a legăturilor cu energia de formare a noilor legături.

3.6. Solventul nu joacă un rol esențial, starea de tranziție fiind solvatată în aceeași măsură cu reactanții.

4. Reacția izocianatilor aromatici cu alcooli catalizată de compuși organostanici se caracterizează printr-un mecanism de reacție în mai multe etape. Compușii organostanici formează cu alcooli și izocianati un complex în cadrul căreia are loc atacul nucleofil al grupării alcoxi la izocianat. Molecula de uretan odată formată se scindează permitînd reluarea reacției:





Acest mecanism a fost justificat prin următoarele argumente:

4.1. Compusii stanicici sunt în general mai activi decât cei stanoși ceea ce exclude o activitate catalitică de tip electrofil. Dintre compusii stanicici cei mai activi sunt cei dialchil dicarboxilici care pot substitui cu ușurință radicalii alchilici cu resturi alcoxi și pot forma complecși cu izocianatii.

4.2. Izocianatul joacă un rol electrofil, viteza de reacție crescând prin substituirea în nucleul aromatic cu grușori atrăgătoare de electroni. Se exclude astfel formarea în etapa lentă a complexului staniului cu izocianatul de aril proces în care izocianatul ar trebui să joace un rol nucleofil.

4.3. Efectele electronice ale radicalului din molecula alcoolului sunt neglijabile iar substituentii voluminoși la nivelul hidroxilului exercită o acțiune de accelerare sterică reprezentabilă. Se exclude astfel un proces în care s-ar formaioni de alcoxizi liberi ce ar exercita atacul nucleofil la izocianat. Prin transferul intramolecular al grușorii de alcoxil de la staniu la carbon scade încărcarea sterică a moleculei. Efectele electronice par însă să fie compensate prin modificarea rolului donor de electroni al oxigenului dinspre carbon spre staniu.

4.4. Creșterea vitezei de reacție prin acțiunea catalitică a combinațiilor organostanice se datoră, te în exclusivitate unor factori entropicici, entalpia de activare crescând față de procesului necatalizat. Rolul esențial al catalizatorului

este de a facilita contactul dintre reactenți și condiții favorabile realizării procesului de adiție.

4.5. Efectul izotopic kinetic redus exclude transferul de proton într-o etapă lentă a procesului.

4.6. Fiind favorizat de o scădere a polarității solvențului procesul comportă o stare de tranziție mai puțin polară decât reactenții ceea ce poate fi explicat prin apariția combinației complexe intermediare.-

5. Intrucât acțiunea catalitică a aminelor terțiare și a compușilor stenici au la bază două procese cu mecanisme distincte care nu pot sub nici o formă interfera, în cazul utilizării amestecurilor de catalizatori efectele trebuie să fie strict aditive.- Încercările experimentale au confirmat pe deplin această concluzie.

6. Cantități mici de apă nu afectează procesul necatalitic dar micșorează viteza de reacție a celor două tipuri de procese catalitice. Aceasta din urmă se explică prin blocarea aminelor terțiare prin asociere și hidroliza organostanicilor cu formare de hidroxizi stenici inactivi.

7. A fost studiată reacția di (1-clor - 2-metil - etil)- eterului cu dimetil amina sub presiune la temperaturi de 100-185°C în vederea obținerii unor eteri ciclici și aciclici catalizatori pentru spume poliuretanice. Prin utilizarea metodelor fizico-chimice-spectroscopie IR, H - RMN și cromatografie de gaze - s-a reușit determinarea compozitiei produsilor de reacție și elucidarea modului în care aceasta are loc.

8. A fost elaborat un proces tehnologic la scară micro-pilot productiv, actualmente în construcție la Intreprinderea Spumotim Timișoara, care prin producția de 5000 kg/an va acoperi necesarul de catalizatori aminiici de acest tip pentru întreaga producție de poliuretani a Intreprinderii Spumotim. Catalizatorii obținuți la scară de laborator au fost testați cu succes la nivel de laborator și mocropilot.

Se poate afirma în concluzie că elucidarea completă a mecanismelor de adiție a alcoolilor la izocianati în absență și în prezență catalitică a aminelor terțiare și a combinațiilor organostanice deschide perspectiva utilizării rationale a acestora pentru a asigura o viteza de reacție corespunzătoare, esențială pentru realizarea poliuretanilor cu aplicații diverse. Procedura experimentală propusă poate servi la testarea activității altor catalizatori sau a diversilor izocianati și alcooli.

Cercetările experimentale realizate permit
menținerea teoretică a reactivității izocianatilor și alcoolilor
principial efectul catalitic al aminelor terțiare.

Procesul tehnologic elaborat pentru producția
lăzurii micropilot la Intreprinderea Spumotim Timișoara și unui
aditiv de 1,2 - aminoesteri ciclici și aciclici va acoperi ne-
cesarul de astfel de catalizatori obținându-se totodată economii
valutare de cca 1,2 milioane \$ pe an prin eliminarea importului.

BIBLIOGRAFIE

1. Paul Patai "The chemistry of cyanates and their thio-derivatives" Part.1., John Wiley & Sons Ltd, (1977),
2. E.Sacher, J.Macromol, Sci-Phys, B16 (4), 525 (1979).
3. J.H.Saunders, K.C.Frisch, "Polyurethanes Chemistry and Technology" Part 1, Interscience Publishers, London (1962)
4. Neichen, Chemical Reviews, 78 (5), (1978)
5. I.Ia Petruš, St.Cerc.chim, 18 (4), 435 (1970)
6. D.G.P.Robertson, J.E.Stuchbury, J.Chem.Soc. 758, 4000 (1979)
7. D.G.Entelis, O.V.Nesterov, R.P.Tiger, Dokl.Akad.Nauk SSSR, 178 (3), 661 (1968)
8. D.G.Entelis, O.V.Nesterov, Usp.Khim., 35 (12), 2178 (1966)
9. N.N.Zolotarevskaya, E.Z.Zhuravlev, I.I.Konstantinov, Zh.Fiz. Khim. 43 (6), 1576 (1969)
10. Sato, J.Org.Chem., 27, 819 (1962)
11. N.D.Ghatge, G.D.Khune, Indian Journal of Chemistry, 16 B (6), 534 (1978)
12. D.Bailey, V.Kires, R.Spaunburgh, Ind.Eng.Chem. 48, 794 (1956)
13. J.M.Cunningham, T.G.Martin, J.Org.Chem., 24, 1585 (1959)
14. S.I.Saryma, V.V.Evreinov, E.K.Khodzaeva, S.G.Entelis, Kinet. Katal., 13 (2), 314 (1972)
15. P.R.Brock, J.Phys.Chem., 65, 1638 (1961)
16. R.P.Tiger, L.S.Bekhli, S.G.Entelis, Kinet.Katal. 12 (2), 318 (1971)
17. A.Shkopenko, G.P.Gmitter, E.E.Gruber, Ind.Eng.Chem., 52 (7), 705 (1960)
18. A.Mader, J.Org.Chem., 33 (6), 2253 (1968)
19. R.P.Tiger, L.S.Bekhli, S.G.Entelis, Kinet.Katal., 11(5), 1347 (1970)
20. N.V.Aleksandrova, T.A.Lakosma, Plasticheskii Masy (7), 15 (1965)
21. N.V.Aleksandrova, O.G.Tarakanov, Vysokomol. Soedin., 4 (1), 23 (1972)
22. Willeboordse, J.Phys.Chem., 74(3), 601 (1970)
23. Kaplan, J.Chem.Eng. Data, 6, 272 (1961)
24. J.Burkus, C.F.Eckert, J.Am.Chem.Soc., 80, 5948 (1958)
25. J.A.Saunders, J.B.Noldsworth, J.Am.Chem.Soc., 713 (1947)
26. R.P.Tiger, L.S.Bekhli, S.P.Bondarenko, S.G.Entelis, Zh.Organicchioi Khim., 9(3), 1568 (1973)

- 1 -
27. Tables of Interatomic Distances and Configuration in Molecules and Ions, Special Publ. 11, Chemical Society London (1958)
 28. O.J.Kolodyazhnyi, Kinet.Katal., 13(6), 1395 (1972)
 29. B.I.Levin, Zh.Fiz.Khim., 28, 1399 (1954)
 30. A.E.Oberth, R.S.Bruenner, J.Phys.Chem., 72(3), 845 (1968)
 31. K.G.Flynn, D.R.Nenortas, J.Org.Chem., 28(12), 3527 (1963)
 32. A.Farkas, P.F.Strahm, Ind.Eng.Chem.Fundamentals, 4(1), 32 (1965)
 33. J.Burkus, J.Org.Chem., 26, 779 (1961)
 34. J.Burkus, J.Org.Chem., 27, 474 (1962)
 35. J.F.Smith, E.C.Friedrich, J.Am.Chem.Soc., 81, 161 (1959)
 36. Y.Iwakura, N.Okada, Can.J.Chem., 38, 2418 (1960)
 37. M.Pestemer, D.Lauerer, Angew.Chem., 72, 612 (1960)
 38. K.C.Frisch, S.L.Reegan, W.V.Floutz, J.Polym.Science, A-1, 5, 35 (1967)
 39. Yu.N.Circov, O.V.Nesterov, S.G.Entelis, Kinet.Katal., 14(4), 916 (1973)
 40. I.I.Bădilescu, S.Bădilescu, "Legătura de hidrogen", Ed. Stiintifică și Enciclopedică București (1981)
 41. S.Singh, G,N,Rao, Trans.Farad.Soc., 62, 1056 (1966)
 42. S.L.Reegan, K.C.Frisch, J.Polym.Sci., A-1, 8(10)
 43. S.E.Ephraim, A.E.Woodward, R.B.Mesrobian, J.Am.Chem.Soc., 80, 1926 (1958).
 44. S.G.Entelis, O.V.Nesterov, V.B.Zabrodin, Kinet.Katal., 1, 627 (1967)
 45. O.V.Nesterov, Yu.N.Circov, S.G.Entelis, Kinet.Katal. 8, 1371 (1967)
 46. V.B.Zabrodin, O.V.Nesterov, S.G.Entelis, Kinet.Katal., 10 (3) 663 (1969)
 47. A.Petrus, St.cerc.chem., 18 (11), 1080 (1970)
 48. V.B.Zabrodin, O.V.Nesterov, S.G.Entelis, Kinet.Katal., 11 (1), 114 (1970)
 49. Yu.N.Circov, V.B.Zabrodin, O.V.Nesterov, S.G.Entelis, Kinet. Katal., 13(1), 228 (1972)
 50. S.G.Entelis, O.V.Nesterov, V.B.Zabrodin, Kinet.Katal., 1 (4), 627 (1966)
 51. J.N.Green Shields, R.H.Peters, R.F.T.Stepto, J.Chem.Soc., 979, 5101 (1964)
 52. L.A.Bakala, S.D.Lukas, S.S.Ishchenko, T.E.Lipatova, Vysokomol. Soed., A12(4), 901 (1970)
 53. K.A.Kornev, V.P.Sarzhevskaya, S.E.Lysobyk, Ukr.Khim.Zh., 36(6), 597 (1970)

54. V.A. Grigorieva, S.M. Baturin, S.G. Entelis, *Kinet. Katal.*, 18(6), 1404 (1977)
55. J.E. Leffler, E. Grunwald, "Rates and Equilibria of Organic Reaction", J. Wiley, New York (1963)
56. N.B. Chapman, J. Shorter, "Correlation Analysis in Chemistry", Plenum Press, New York, London (1978)
57. C.D. Johnson, "The Hammett Equation" University Press Cambridge, (1973)
58. Ch. Reichardt, "Lösungsmittel Effekte in der Organischen Chemie", Verlag Chemie Weinheim (1969)
59. D.D. Perrin, "Dissociation Constants of organic Bases in Aqueous Solution", Butterwards, London (1965)
60. M.L. Bender, "Mechanism of Homogeneous Catalysis from Protons to Proteins" Wiley - Interscience, New York (1971)
61. R.F. Hudson, G. Loveday, *J. Che. Soc.*, 1069, (1962)
62. T.L. Cottrell "The Strengths of Chemical Bonds" Butterwords London (1954)
63. I.I. Lemionskii, I.I. Gredstein, E.N. Gurianova, *Dokl. Akad. Nauk. SSSR*, 156, 131 (1964)
64. Houben Weyl, "Methoden der Organischen Chemie", ed. IV-a vol. 3/3, Georg. Thieme Verlag, München, (1962), 55
65. Crail, G., *J. Am. Chem. Soc.*, 74, 1313 (1952)
66. Murray, D.T., Brode, E.R., *J. Am. Soc.*, 63, 2280 (1941)
67. Hoppele Dorf, F., Brevet SUA, 901812, (1978); *Chem. Abstr.* 90, (1980) 116534
68. Hoppele Dorf, F., Brevet SUA 3330782, (1967); *Chem. Abstr.* 68, (1968) 1738
69. Govunzade, M.L., Gurbanov, P.A. Sopryazhen. galogenir. olefinov i ikh proizvodnykh a kialorodsoderz. soedin. 1973, 114, *Chem. Abstr.*, 78, 1975, 113710.
70. Gurbanov, P.A., Sopryazhen. galogenir. olefinov i ikh proizvodnykh kialorodsoderz. soedin. 1973. p. 121; *Chem. Abstr.* 83, 1975, 73489.
71. March J., "Advanced Organic Chemistry. Reactions, Mechanism and Structure", Mc. Graw Hill. New York, (1977), 377
72. Colthup, N.B., Daly, L.H., Wiberley S.E., "Introduction to Infrared and Raman Spectroscopy" ed. II-a, Academic Press, New York, (1975) 325
73. Minz Becker și alții "Organicum", Editura Stiintifică și Enciclopedică, București (1982)
74. I. Delbron, H.L. Dunbury "Dictionary of Organic Compounds", vol III, London (1946)